

(300)

R290

No. 286

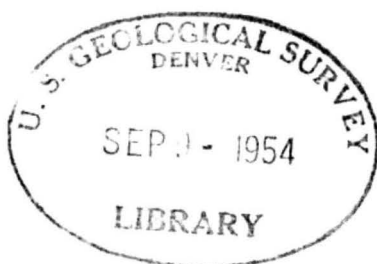
U. S. Geological Survey

Report. Open file series no. 286-1

CONTRIBUTION TO THE STUDY OF THE
PHYSICO-CHEMICAL STRUCTURE OF CLAYS
(A translation, with minor omissions)

by

Remy Hebert



This report and/or map is preliminary and has
not been edited or reviewed for conformity
with Geological Survey standards or nomenclature.

Translated by Mrs. Severine Britt, U. S. Geological Survey, 1951
S4-28

28188

CONTRIBUTION TO THE STUDY OF THE
PHYSICO-CHEMICAL STRUCTURE OF CLAYS
(A translation, with minor omissions)

HEBERT, Remy

Contribution à l'étude de la structure physico-chimique des
argiles, Annales des Mines, no. VI, p. 3-48, bibl., Paris,
1950.

Translated by Mrs. Séverine Britt, U. S. Geological Survey, 1951

Introduction

The Cormeilles-en-Parisis hill shows one of the best geologic sections of the Paris region. The 80 meter high working face of the quarry exposes the complete section of the "Ludian" [the youngest beds of the Eocene] with its alternations of marl and gypsum. Above is the sequence of supra-gypseous marls of the [Lower Oligocene] Sannoisian stage, overlain by a very complex series of alternating brackish-water and lacustrine layers, from blue marl to Brie limestone, up through the white Pantin marls, brown marls containing the pelecypod genus Cyrena, and green marls. These strata are overlain by the [Middle Oligocene] Stampian beds represented by the Fontainebleau sands and Ostrea-bearing marls.

When looking at these layers from a distance (Mr. Soyer / has

/ Soyer, R. Bull. Soc. geol. Fr., 5e serie, t. IX, 1939, nos. 8-9,
p. 653.

published a very detailed geologic study on them) one cannot help being struck by their varied coloration. A closer examination makes it possible to note here and there very clear changes of shades within each bed. These differences are produced by small interbedded layers, in places not more than 1 cm. high, but everywhere perfectly distinct and in some places homogeneous.

The samples collected from these layers show various features: finely bedded green marls which easily disintegrate in water, white marls with a conchoidal fracture and dotted with brown inclusions, brown marls finely foliated and crumbling into thin plates under pressure between the fingers.

These variations in lithology are explained by the various conditions under which these marls were deposited. These variations were corroborated by chemical analysis, either by the quantitative analysis showing differences in the inner structure of the basic clay, or the qualitative analysis revealing the presence of accessory minerals included in the clay.

An elaborate chemical analysis was the primary object of this work.

Since quantitative analysis is sometimes inadequate for the determination of the mineralogic composition of marls, much use was made of physical methods which through comparisons and cross-checking make closer determinations possible. That is how Mr. Riviere was able to disclose unimportant but clear differences in the X-ray diagrams given by the thick beds of the Cormeilles occurrence. This type of physical research gave an opportunity for more precise development of some physical properties of various types of clay.

Spectrographic analysis was the best method to solve the second part of this problem by indicating the presence of unusual elements. It is indeed well known that clays have remarkable absorptive properties and retain numerous substances such as pyrite, opal, zircon, strontia, hematite, ilmenite, etc., and which can be determined by simple mineralogic examination. It was possible to assume the existence of many other components contained as traces which could not be revealed by the most precise chemical or petrographic methods. Because this method as applied to the analysis of crude samples gave poor results, it was necessary to perfect a more detailed method of analysis adapted to gypsum or to marls. Since the more detailed method could be applied to any silicate sample, it was chosen for the examination of various samples to be analysed.

The presence of these rare elements in clays could perhaps be an explanation for the abnormal color they assume when calcined and for the abundance of minor elements in soils resulting from the alteration of such clays.

Finally, samples of clayey materials of various origins were examined with the same physical and chemical methods. A few general remarks are made from these analyses.

The present thesis is divided into three parts:

I. Study of the Cormeilles deposit, including: the determination of the mineralogic composition of the samples by the chemical analysis of the crude samples; the reaction to benzidine; physical methods (differential thermal analysis, thermo-gravimetric analysis, X-ray diffraction analysis, pectographic analysis); chemical analysis of pure clays and their fractional chemical analysis; the spectrographic analysis of marls and gypsum.

II. Study of various clayey or non-clayey samples.

III. General remarks, an attempt to synthesize clays in the cold aqueous state, and conclusion.

In order to facilitate understanding of the following study, it should be recalled that the main clay minerals have been classified into four groups:

Usual approximate formula

I. Kaolinite group:

- a. Kaolinite $\text{Al}_2\text{O}_3 \cdot 2\text{SiO}_2 \cdot 2\text{H}_2\text{O}$
- b. Halloysite $\text{Al}_2\text{O}_3 \cdot 2\text{SiO}_2 \cdot 2\text{H}_2\text{O} + 2\text{H}_2\text{O}$
- c. Metahalloysite $\text{Al}_2\text{O}_3 \cdot 2\text{SiO}_2 \cdot 2\text{H}_2\text{O}$

II. Montmorillonite group:

- a. Pyrophyllite $\text{Al}_2\text{O}_3 \cdot 4\text{SiO}_2 \cdot \text{H}_2\text{O}$
- b. Montmorillonite $(\text{Al}_2, \text{Mg}_3)\text{O}_3 \cdot 4\text{SiO}_2 \cdot \text{H}_2\text{O} + z\text{H}_2\text{O}$
bedellite
c. Series ↑ ↓
 nontronite

III. Micaceous clays

- Illite $\text{K}_2\text{O} \cdot 6\text{SiO}_2 \cdot 3\text{Al}_2\text{O}_3 \cdot 2\text{H}_2\text{O}$
- Potash clays, etc. $(\text{Mg}, \text{Ca}) \text{Al}_2\text{Si}_5\text{O}_{14} \cdot n\text{H}_2\text{O}$

IV. Fibrous clays

- Sepiolites $3\text{SiO}_2 \cdot 2(\text{MgO}) \cdot 4\text{H}_2\text{O}$
↑ ↓
Palygorskites

(P. Munier and A. Riviere. Contribution to the study of clays used in ceramics.)

1st Part: Cormeilles Deposit

Sampling:--The layers are very thick in places (green marls, 5.25 m, blue marls 8.81 m), therefore quantities of the order of about 20 kgs, of material were collected by taking lumps the size of a fist at various heights and all along the investigated layer. These lumps were then crushed at the laboratory and mixed into a heap, a part of which was crushed in a porcelain mortar. Part of the powder thus obtained pulverized to pass a 200 mesh sieve. It may be hoped that the composition of the sample thus obtained is close to the average one of the layer. For very homogeneous layers of small thickness, a few kilograms were sufficient.

Sample designation:--The samples are designated according to the system of numeration adopted by Mr. Soyer. This system of numeration allows no possibility of mistake and has the advantage of showing the position of the samples with respect to each other and to the whole cross-section, sample no. 285 representing the organic top soil, and sample no. 60 representing the fourth mass of gypsum which forms the bottom of the quarry.

The following samples, which seem to be most typical of the deposit, were collected:

Marls

Ostrea-bearing marls

269. Variegated green and gray marls
268. Clayey-sandy marl

Sannois clay

262. Grayish white clay, in alternating crystalline (limestone) and amorphous beds
256. Compact gray clayey marl

Green marls

242. Compact green marls without nodules, does not include the lower part a blackish-blue bed, of which a special sample was taken (242-a)

Cyrena-bearing plastic clay

241. A sample of a pure clayey stringer

White marls

- 236 to 233. White clayey marl, compact, slightly greenish from two beds called "La Blanche"
- 232 and 230. White marl, so-called "Marne Amerique"

Blue marls

- 233 to 207. An average sample of the whole layer
217. A sample of a dark blue layer, finely bedded, particularly homogeneous

Marls from "Entre-deux-masses"

153. Compact green clayey marl, so-called "La Savonneuse"
152 to 151-a. Light gray marl, hard, compact, gypsiferous
151-a. This layer is divided into two zones, the upper one, gray,
the lower one, light brown. A sample of both was collected.
151. Hard white marl, compact, green and pink clayey spots, flint
concretions, with dendrites.

Second (lower) mass of gypsum

122. Two samples of this compact, conchoidal marl were collected,
one from the lower yellow section (122), the other from the
top gray section (122-a)

Lucinae-bearing marls

108. Variegated, greenish, bluish, and yellowish white clayey
marls, highly foliated, particularly at the base.
102. Compact bluish marl, with nodules, conchoidal fracture.
101. Fibrous yellow marl (the gypsum crystals were not included)

Gypsum

White marls

240. Saccharoid gypsum, slightly marly, finely foliated, grading in places to white marls, so-called "Le Marabet"

Blue marls

206. Whitish saccharoid gypsum, marly at the base, fairly hard, well crystallized.

Upper gypsum mass

201-183. Forming the soft bed of the first gypsum mass.

Saccharoid gypsum.

182-165. Forming the hard bed of the first gypsum mass and located directly below the preceding bed; saccharoid gypsum

Second gypsum mass

150-123. Composed of saccharoid gypsum and gypsum crystal

92-93-91. Three typical layers of the third mass of gypsum.

Terminated gypsum crystals

In order to know the composition of the pure gypsum crystals, the type of crystal from layer 93 was hand-picked and cleared of traces of clay by washing under running water; it formed sample 93.

I. Determination of the mineralogic composition of clays

A. Chemical analysis of the crude samples

Prior to any thorough study it was necessary to know the bulk composition of the samples and to try to determine their mineralogic composition, which for a deposit of such a diverse origin would surely be extremely variable from one layer to the next.

It was easy to note with the naked eye large proportions of white lime coating small quantities of green and brown clay, and delicate gypsum crystals included in marls of various colors, ranging from light yellow to the darkest black-blue. Are the differences shown in the plastic properties of these marls caused by the presence of larger or smaller quantities of gypsum or of lime, or simply by the nature of the basic clay of these marls?

The analyses were made as follows:

- a. On one part of the sample, quantitative determination of silica, of the sum of alumina + iron oxide + titanium oxide, of the iron oxide, of lime, and of magnesia;
- b. On another part of the sample, quantitative determination of the same components, but of the titanium oxide instead of the iron oxide;
- c. On other parts of the sample, determination of sulphate, alkalies, CO_2 and water.

Translator's note:--Omitted here from translation are several sections dealing with details of analysis: fusion with carbonates and precipitation of silica; determination of silica; precipitation of alumina, iron oxide, titanium oxide; determination of iron oxide, titanium, alumina, lime, magnesia, sulfates, alkalies, and carbon dioxide.

Water content:--Water content was calculated by difference between ignition loss (calcination of the matter to red heat in a platinum crucible) and the percentage of CO_2 . Frequently the marls contain organic matter. The iron included in them, sometimes in the ferrous state, may become oxidized during the calcination. These are causes for errors which make this determination of water content only approximate.

Prior to being analysed, the samples were dried overnight in the oven at 105°C , neglecting the loss of water due to the dehydration of the gypsum generally present in relatively small quantities.

(Table, page 9, French original)

The results of these analyses are given in the table on page 9. The percentages of CaCO_3 and $\text{CaSO}_4 \cdot 2\text{H}_2\text{O}$ were computed, respectively, from the percentages of CO_2 and SO_3 , the sum quartz + clay being determined by the difference.

It is seen that the quantities of gypsum and lime associated with the clays are extremely variable. The proportions of lime are high and it seems more sound to refer to them as clayey limestone rather than as marls, at least for some samples.

It would seem difficult to draw conclusions on the chemical nature of the clays on the ground of the molecular ratios $\text{SiO}_2/\text{Al}_2\text{O}_3$, $\text{H}_2\text{O}/\text{Al}_2\text{O}_3$, for these ratios are not precise when large quantities of limestone and gypsum are present; the errors also become large for high percentages of alumina or magnesia. Besides, the total silica determined in this manner included not only the combined silica but also free silica, as it was shown by subsequent analyses.

However, some analogies are immediately noted, which make it possible to assume that some samples have a common phyllitic component.

Translator's note:--The author's use of phyllite and phyllitic in this paper refers apparently to the general group of platy pseudo-hexagonal minerals such as the micas and clay minerals, not to the rock phyllite of the English language.

These characteristics are as follows:

Presence of a high percentage of alumina, titanium oxide, and alkalies in: samples 242, 233 to 207, 217, 153.

High percentage of magnesia in: samples 151-a, 151, and 108.

These observations led to the preparation of samples of pure clay by removing all traces of calcium carbonate and gypsum from the clay.

Decarbonatizing is easy: the simple treatment of marl with dilute hydrochloric acid is sufficient. Was there any risk, by this method, of partly attacking the clay and modifying the composition of the residue? To check this question, some samples were treated in this manner and the filtrate was analyzed. In the filtrate from sample 241, all the lime stoichiometrically equivalent to the carbonic acid gas was found. It was not so for sample 108:

Attack by 5% HCl [Sample 108]	Fe ₂ O ₃	0.34%
	CaO	5.39%
	MgO	3.42%

When treating with two percent acid the iron, (which was probably due to the dissolving of a small quantity of limonite,) is not found in the filtrate, but the percentage of magnesia and of lime remains approximately the same.

CaO 5.01% (0.089)

MgO 3.42% (0.085) CO₂ 7.74% (0.175)

It is seen that the molecular coefficient of the carbonic acid gas is equal to the sum of the molecular coefficients of lime and magnesia, and consequently all the magnesia of the filtrate is due to the presence of dolomite. Therefore, it may be said that the clay is not attacked, if no account is taken of the slight loss of lime. It was found in the same manner that samples 151 and 151-a contained calcite only, and sample 101 contained both calcite and dolomite.

This confirms the differences previously noted, for it is likely that in marls the presence of magnesium leads to the substitution of hydrated alumino-magnesian silicates for hydrated alumina silicates.

B. Reaction to benzidine

Hendricks noted that by stirring montmorillonite in an aqueous solution of benzidine, clay took a deep blue coloration which would be due to the oxidation of benzidine in its semi-quinonoid form:



Endell and Hoffmann (4) using this reaction on various types of minerals noted that it was not specific, clay such as kaolinite giving a pale blue coloration and on the other hand some montmorillonites giving only a slight bluish coloration. They did not draw any conclusion on the cause of the reaction in which clay becomes blue while the solution remains colorless. Thus it appears that the absorbed benzidine alone becomes oxidized into semi-quinone coloring, or else that the semi-quinonoid colored matter is quantitatively absorbed. Ferric salts color benzidine blue and it could be assumed that the ferric ions bound to clay are able to react and are the cause of this coloration, however, minerals which contain large quantities of these ions do not give the reaction.

Other systematic tests (5) made on many varieties of montmorillonites showed that those containing aluminum did not give the reaction to benzidine or gave it only slightly, whereas the magnesian montmorillonites give it as do some Ca or Na bentonites. In short the reaction occurs with montmorillonites.

It seemed interesting to make this very rapid test on the Cormeilles marls to see if the results were identical for all of them or if, on the other hand, some divergences occurred, thus showing differences of type which would be explained later.

The procedure is as follows: One g. of clay is placed in a porcelain dish. After adding three percent hydrogen peroxide, evaporate to dryness in water-bath in order to destroy the organic matter (never exceed 100° C.). The dry residue is then shaken in a test tube with five cc. of a benzidine solution (saturated cold) and allowed to settle for a few hours.

<u>Sample designation</u>	<u>Observed coloration</u>
262	Pale green
242	Indigo blue
241	Green verging on blue
240	Slight bluish coloration
236 to 233	Pale blue
232 to 230	Pale blue
233 to 207	Dark blue (violet in places)
217	Pale blue
153	Pale blue
151-a	Pale blue
151	Very distinct green
122 (upper part of the layer)	Pale blue
122 (lower part)	Pale blue
108	Very distinct green
102	No coloration
101	Dark green

All these samples except sample 102 give a coloration. The color reaction of sample 240, suggests that it is possible to detect the presence of a small quantity of marl coated with much gypsum, inasmuch as a sample of pure gypsum gives no reaction.

The intensity of the coloration can be explained by the percentage of calcite, although the coloration given by sample 242, verging on violet and close to that given by a pure montmorillonite, is far from the pale blue given in the other tests and does not seem to be caused by a difference of concentration. It is a remarkable fact that samples 101, 108 and 151 assume a very pronounced green color, whereas all the others are more or less tinged with blue. It will be noted that all the marls (except sample 102) that are naturally gray, blue or green give a blue coloration and nearly all the light brown marls give a green color.

C. Physical methods

1. Differential thermal analysis

Description of the apparatus:--The material is tamped in a platinum crucible provided with a lid in order to avoid any decrepitation which commonly accompanies the heating of very hydrous clays. An electrode of a Pt-Ir differential couple, protected by a silica tube, is set in the middle of the sample whereas the other electrode is placed in a platinum crucible containing calcined alumina which serves as reference material. A thermocouple is placed in a third crucible also containing alumina, and a fourth crucible, which is likewise full and placed side by side with the former, fills in the remaining free space and controls the temperature. The four crucibles are kept against each other in a large platinum crucible, which is insulated by an alumina sleeve of a porcelain vessel placed in the center of an electric furnace. Temperatures and differential temperatures are recorded directly on a plate without any driving mechanism (système d'entrainement) thanks to the Le Chatelier and Saladin device. The electric furnace heated by a 10 amp. current makes it possible to reach 1000° C within one hour; the rise of temperature does not follow a linear law as can be seen from the curves reproduced.

The experimental conditions were naturally the same for all the samples and it was noted that the successive curves for one and the same sample were in all respects identical and that the maxima and minima shown by the same peaks recurred exactly at the same temperature. This condition allows a more precise determination of some of the peaks which are otherwise difficult to define because they extend over several hundred degrees.

(Fig. 1, p. 11, French original) (On fig. 1, curve no. 1,
instead of 24 read 242)

First tests:--As it is seen on fig. 1, the interpretation of curves obtained for a crude sample such as 242 (curve no. 1) is not easy and conclusions are difficult to draw from these curves. Indeed the dehydration or other phenomena in clay is masked by other very pronounced phenomena such as the dehydration of gypsum, calcining of calcium carbonate, and dolomite, and reaction of silica with calcium carbonate (curve no. 2). It is necessary to get rid of gypsum, for as curve no. 3 shows, gypsum gives a very important endothermic peak between 100° and 350° C that overlaps the first peaks of dehydration of any clays which might be present. Note the slight double in the first peak, caused probably by the temporary formation of a semi-hydrate. On the other hand, the curve for a mixture of the same material with silica does not show any anomaly which would be caused by the presence of silica.

These observations and those resulting from the chemical analysis and the reaction to benzidine led to the preparation of samples of pure clay, whose properties would be easy to study without fear of confusion from anomalies produced by contaminating minerals.

Preparation of pure clay samples:--It is easy to get rid of calcium carbonate: 100 gr. of the crushed crude sample is placed in a 10 liter jar; hydrochloric acid is added until effervescence ceases, the liquor being discarded by decantation and siphoning. The remaining acid is then diluted with water and the suspension is washed several times until calcium chloride is completely removed. On the first washing, only the finest fraction which remain in suspension for a few minutes are kept; the other coarser fractions which contain most of the gypsum and quartz are discarded.

It is more difficult to remove gypsum than CaCO_3 . Its solubility being slight, large quantities of water were required to eliminate it. The following method was first used. A water-clay suspension was stirred continuously for 12 hours, it was then allowed to settle for a few hours. After settling, the supernatant clear liquid was discarded. This cycle had to be repeated many times, the operations becoming longer and longer as the elimination of gypsum progressed and as the suspensions became more stable and required a longer decantation period. The prolonged use of one percent hydrochloric acid, in which gypsum is more soluble, was not advisable, because a partial solubility of the iron could occur through a prolonged contact. After a while, it was deemed simpler to use the reaction of gypsum with concentrated ammonium carbonate. This reaction is all the more rapid as the grain size of gypsum is smaller, the carbonate concentration stronger and the stirring more vigorous. (6)

As confirmed by chemical analysis, almost all the sulphate ion was removed in the following manner. One hundred gr. of material that passed the 300 mesh sieve was decarbonated and brought into suspension ^{liters} in ~~ten~~^{one} of ten percent ammonium carbonate. This suspension was stirred continuously for five hours. Elimination of the sulphate ion is practically complete when the operation is repeated. Washing with one percent hydrochloric acid eliminates the carbonate which could have adhered to the clay. Washing with water is repeated until a fairly stable suspension is obtained. The upper half of the suspension in the washing jar is passed through a Buchner filter, whereas the remainder, which contains the larger proportion of quartz is discarded. The addition of a small quantity of ammonium nitrate solution is sometimes necessary to aid filtration when the suspensions are too stable. This is followed by filtration once more on a Buchner filter, and air drying. The dried cake, which may be very hard, is finally pulverized in a mortar and stored in a tube.

Most of the clays in the marls collected were prepared in this manner and the samples were immediately submitted to the differential thermal analysis.

Results:--All the samples that were collected and treated were submitted to thermal analysis after being air-dried. From common characteristics of the resulting curves they were classified into five groups, the three main ones being represented by the samples a. 242, b. 108, c. 151, which give the most typical curves (Plate I, p. 12, French original).

a. Sample 242--The curve for this sample is characterized by two large endothermic peaks, the first one between 115° and 415° C, the peak itself being at 195° C, the second peak at about 650° C; a very slight endothermic peak at 820° C, and another one, more pronounced, at 880° C, and an exothermic peak at 930° C.

The large peaks can only be attributed to the loss of water which occurs in two stages. To check if the first peak was not caused by a very high proportion of moisture water, a thin layer of a very finely pulverized sample was exposed to free air; after drying for six months the material gave an identical curve.

b. Sample 108--The curve for this group shows a large endothermic peak at 195° C corresponding with a loss of hygroscopic water, followed by a second peak at 320° C; another large endothermic peak is present between 470° and 700° C, the peak itself being at about 600° C; the rest of the curve shows a slight endothermic peak at about 875° C followed by a slight exothermic peak at 880° C.

The large central and fairly flat peak cannot be mistaken for the peak given by group a., (sample No. 242), which is more pronounced and increases at about 600° C. At that temperature, sample 108 passes through a slight maximum.

This curve has the same appearance as those published in the literature related to clays of the "palygorskite-attapulgite" family. It is in every way identical to the curve of the typical attapulgite of Attapulgus, Georgia (USA) published by S. Henin and J. Dupuis (7).

c. Sample 151--The irregularities of this curve are considerably less distinct. After noticing the presence of a large endothermic peak caused by a loss of hygroscopic water, the other less pronounced peaks can be observed more easily by making the thermal analysis of the same material dried in the oven at 105° C. After this procedure the curve obtained shows a loss of water between 192° and 350° C, a slight endothermic peak between 550° and 600° C, a more pronounced endothermic peak from 665° to 819° C with maximum at 790° C, and a slight exothermic peak at 822° C. This curve slightly resembles that of sepiolite.

Two other groups are associated with the previous ones:

d. Samples 223 to 207.

217.

The curve for these clays are similar to that of group a., (Sample No. 242), although the large endothermic peak at 650° C is much more rounded, and the slight endothermic peak at 880° C shown by the curve for group a., is not present in this type. Another difference in the two types of curves is the considerable increase of the very small endothermic peak at 820° C of group a., which in group d., is replaced by another strongly marked peak starting at about 765° C. This endothermic peak cannot be ascribed to the presence of organic matter which would emit heat upon burning. There is a slight endothermic peak at 930° C. in the curve for group d. (Mr. Riviere (13) has obtained a similar curve for a sample collected in the blue marls of Cormeilles).

e. Samples 236 to 233, 153, 151a (lower part).

The curves of samples 232 to 230 offer at the same time the characteristics of groups b. and d.; the curves show a very distinct change of slope at 300° C indicating a second loss of water similar to that of b. Most of the Cormeilles marls give curves of that type.

Another characteristic of the curves of group e. is the large exothermic peak between 875° and 927° C with maximum clearly displaced toward the high temperatures in comparison to that of sample 108.

(Plate II, page 13, French original)

The curves of the various groups are shown on plate II. Except for a few samples that have well-defined curves, such as 101 and 102 (attapulgites), they all belong to group e. with occasionally more pronounced predominances for the attapulgite type such as sample 262 than for the bravaisite type, (sample 256 for instance). It is believed that these clays are ill-defined intermediate types between the two extremes, bravaisite and attapulgite.

A special characteristic common to the curves of the four samples 256, 151a (upper part), 122a and 102 is found. This characteristic is a small supplementary peak which overlaps the large endothermic peak at about 640° C. All of these samples are bluish in color and the last three are located over white layers which by the thermal analysis give the same curve. As will be seen later, sample 102 has the same chemical composition as sample 101, but in addition contains pyrite. There is no doubt that this distinctive small supplementary peak is caused by the combustion of pyrite. The dark green coloration of sample 262 is also to be ascribed to pyrite.

Miss Caillere and Mr. Henin (8) wondered if the differential thermal analysis could be applied to the determination of the nature of soil clays, which upon their removal from the soil are subjected to treatments capable of altering them and of modifying their chemical properties. A study of the curves of typical samples which they submitted to various chemical treatments showed that these treatments may modify some peaks and even produce new ones.

There was reason to suspect that treatment with five percent $(\text{NH}_4)_2 \text{CO}_3$ would cause changes that would effect determinations.

To answer this possible objection to the clay determinations, sample 242 was purified by washing the decarbonated sample with distilled water until gypsum completely disappeared. This is the sample that gave the curve (a) of plate I (curve I).

(Figure 2, page 14, French original)

After stirring in the presence of the five percent ammonium carbonate, filtering, and treating with dilute HCl, the same curve is obtained but the endothermic peak at about 820°C is clearly increased (curve 2, figure 2). In addition a change in the slope occurs between 415° and 480°C , and an exothermic peak appears between 820° and 875°C .

It could have been assumed that the peak of group d., was also merely the result of this treatment but a purified sample of 153, prepared by washing with distilled water gave the same curve, with the peak at 820°C as pronounced as that of the treated sample.

By analogous comparison of curves, it is noted that the treatment with $(\text{NH}_4)_2 \text{CO}_3$ also had no influence on the thermal behavior of samples 108 and 151.

Analysis of artificially treated samples:--Some chemical agents modify the properties of clay. This is shown by anomalies in the thermal analyses curves. Although a significant value cannot be attributed to a negative result, this procedure makes it possible to remove doubts in case of a positive result because the intensity of the effect produced depends upon the state of the mineral at the time it is subjected to the action of the chemical reagents.

With that end in view a few samples were treated with a cold solution of ten percent aluminum nitrate or with five percent ammonium carbonate. It was sufficient to keep the clay in suspension in the reagent for a few days, to filter and to wash with water (there was no subsequent treatment with dilute HCl). The same characteristics of the thermal curves as previously shown reappeared when treated with ammonium carbonate.

The aluminum nitrate treatment has no influence on sample 242, even after a time of contact of three months, and there is no duplication of the peak at 550°C which was observed in a bravaisite by Miss Caillere and Mr. Henin (8).

(Plate III, page 14, French original)

On the other hand aluminum nitrate almost completely eliminates the peak at 320°C of Sample 108 as has been observed for various attapulgites and accentuates the peak $470-700^\circ \text{C}$, but has no effect on the small exothermic peak at high temperature (plate III).

The effect of aluminum nitrate on sample 153 is very clear. It weakens the rate of curvature due to the peak at 320° C., which seems to prove that this sample has a characteristic that relates it to the palygorskites, and also completely eliminated the exothermic peak between 875° C. and 927° C.

Ammonium carbonate also increases the endothermic peak at 820° C. of sample 153. It has the same effect as aluminum nitrate on the peak 470-700° C. of sample 108, but on the other hand, it has no influence on the peak at 320° C.

The treatment of sample 151 by four successive effervescences with one-fourth N sulphuric acid destroys all the inflexions in the curve except the exothermic peak, which is very distinctly increased. Because the same result was observed on sepiolites, it can be assumed that this sample is likely to belong to that category of minerals.

(Figure 3, page 15, French original)

Conclusions--The studied curves are curves for minerals distinctly related to bravaisites and palygorskites and to minerals apparently intermediate between these two types. It seems to be confirmed by the simple observation that the intermediate samples examined by eye are of an indeterminant gray color whereas the well characterized extremes are distinctly green (bravaisite) or distinctly light brown (attapulgite). It is thought that sample 151 is composed of sepiolite.

It has not been possible to obtain curves similar to those of the intermediate materials by blending samples 242 and 108 in various proportions, either dry or by the wet method of simultaneous precipitation of colloidal suspensions.

Distinct characteristics that were observed on some samples may be artificially reinforced on other samples which showed these same phenomena to a smaller degree by a treatment with ammonium carbonate. It may be assumed that the ionization conditions (pH) prevailed during which the formation of these marls were different and resulted in several variations derived from the same type.

2. Thermogravimetric analysis

The study of the loss of weight of a body as a function of the temperature gives valuable information; it makes it possible to disclose numerous reactions of oxidation, dehydration, decarbonation. Consequently this study is greatly used in mineralogy and applies particularly well to clays, which are hydrous minerals that give appreciable loss of weight upon dehydration. These curves, obtained with various apparatus, the most classical one being the continuous-recording chemical balance of Mr. Guichard, give very significant data on the mechanism of dehydration of these materials and consequently make their identification possible. They supplement the knowledge acquired from the examination of the differential thermal analysis curves because, by making comparisons, it can be determined whether certain peaks are related to reactions or to phenomena which are or are not accompanied by a loss of weight. Finally, they give strict quantitative measurements.

Apparatus--The entirely automatic thermobalance of Mr. Chevenard is the ideal instrument for this type of research. It is composed of an arm moving around an axis which is provided with a mirror on which a light beam is reflected. This light beam is projected onto a cylinder lined with photographic paper which rotates continuously around its axis. The material under investigation is placed in a platinum vessel at the end of a glass rod which is connected to the arm by Tungsten wires. The platinum vessel is dipped into an electrical induction furnace and the variations of weight of the material are immediately reproduced on the photographic paper. The photographic record shows a curve having the loss of weight as a function of time, and consequently of temperature. If special attention is given to the determination of the setting of the scale for any given charge, and to weighing the material placed in the vessel, precise quantitative results may be obtained by simple measurement of the amplitude of the peaks with the double decimator.

Study of the samples:--The size of the sample taken is between 0.5 g. to 1 g. according to the amount of ignition loss. All samples are brought from room temperature to 1,000° C within three hours. Consequently the results are valid only under these conditions of procedure. It will be noted, however, that with this relatively slow increase of temperature, a fair approach to natural conditions is attained and equilibria may thus be much better established in this procedure where only a small quantity of material is used and where the exchange surface with free air is large, in contrast with the differential analysis procedure. In the latter procedure the very rapid heating speed necessary to obtain pronounced peaks is undesirable, as is the use of a narrow crucible in which the material is tamped preventing free discharge of the emitted water vapour. Consequently the results should be somewhat different for different heating speeds.

Results

a. Crude samples:--Samples 223 to 207 shows a loss of water starting at 51° C which is inclosed at 100° C by the dehydration of gypsum. At 140° C the loss of water slows down and continues very smoothly up to 480° C at which temperature it accelerates suddenly; a slight change of slope between 560° and 640° C leads to the assumption that a loss of weight due to the loss of CO₂ from CaCO₃, accompanies the loss of water; at 800° C no further loss occurs and the light spot describes a straight line (curve 1).

For 101 (crude) the phenomena of dehydration are also masked by the loss of CO_2 from dolomite which ends finally by 844° C , making it possible to differentiate it at once from calcium carbonate which is completely dissociated 40° C lower. [44° lower according to the curves.]

(Curve I, p. 16, French original)

b. Decarbonated sample:--Sample 242 (special sample coming from a section of the large bed of green plastic clay rich in white threads of gypsum) has been treated with hydrochloric acid. The peak between 228° and 318° C is very clear; and is due to the gypsum which, in this procedure, dehydrates more slowly than the clay (curve II)

(Curve II, p. 16, French original)

c. Samples of pure clay (curve III, p. 17, French original):--Three large groups are also found as in the differential thermal analysis studies.

a. Sample 242 decarbonated has been washed with pure water until total disappearance of gypsum. This sample, which did not contain any quartz (verified by chemical analysis), was exposed to free air for six months. Not knowing the nature of the sample, oven-drying was not desirable because it would have caused the transformation into meta-halloysite if the sample contained halloysite. Too short an exposure to air also was not advisable because it would leave too much moisture water. The loss of water occurs in two stages, first from about 50° C to 350° C ; then it is not entirely completed when a point of inflexion indicates a second stage which extended from that temperature to approximately 900° C .

Because this dehydration behavior recalls somewhat the dehydration behavior of halloysite, a sample of Temniac halloysite of the following composition was heated under the same conditions:

	H ₂ O ⁻	9.8
Let Al ₂ O ₃ , 2.01SiO ₂ , 1.82 H ₂ O + 1.58H ₂ O consequently partly altered into meta- halloysite	H ₂ O ⁺	11.3
	SiO ₂	41.7
	Al ₂ O ₃	35.1
	Fe ₂ O ₃	0.7
	CaO	1.4

The curve is also given for a kaolinite coming from Bunney-Saint-Austell (Cornouaille) of the following composition:

H ₂ O ⁻	0.77
H ₂ O ⁺	11.66
SiO ₂	44.81
Al ₂ O ₃	40.29
Fe ₂ O ₃	1.12
TiO ₂	0.37

(Curve III, p. 17, French original)

The general appearance of the curve is the same as that of the curve of sample 242 although it is interrupted by large peaks the cause of which is not known. However, the dehydration is entirely completed at 800° C.

The kaolinite peak comes at the same place as the second peak in the curve for sample 242.

The measurement of the amplitude of the peaks shows that the sample loses 10.8 percent of water: 5.8 percent between 15° and 350° C., and 5 percent between 350° and 1,000° C.

The first peak is larger than the second and it may be due to the combustion of the organic matter or to the loss of persistent water. It may be assumed that the completely dry and pure sample would have lost 50 percent of its water during the first stage and 50 percent during the second.

In the treatment of this sample with five percent ammonium carbonate no supplementary peak appears, whereas a new peak had occurred in the differential analysis.

(Curves p. 18, 108 (b), French original)

b. Samples 108 and 101--The curve shows a rapid loss between 12° and 200° , modified at that temperature by a second loss which is almost completely finished at 310° C; then the last loss, starting at about 400° C as sample 217, at a much lower temperature at 800° C.

(Curves p. 18, 151 (c), French original)

The phenomena observed are much clearer when working on a sample dried at 110° C for three weeks. They agree entirely with those found by Mr. Longchambon (9), who publishes a dehydration curve similar to the author's for a sample of typical palygorskite of Simferopol.

From the computation it is found that for this last sample, which lost 13.63 percent of water:

approximately 23 percent of water is lost between room temperature and 180° C,

30 percent between 180° C and 370° C,

47 percent between 310° C and 800° C.

c. Sample 151:--Dehydration takes place in several stages: very sudden between 17° and 200° C corresponding to the loss of water of zeolitic character; slower from 200° to 600° C, with a slight change of slope at about 450° C; from 720° to 800° C with sudden loss at approximately 750° C. Although the peaks are only slightly developed they are clear and enable the identification of this curve with that of the sepiolite of Ampandrandava published by Mr. Longchambon (10). Mr. Longchambon's curve showed that the passing of sepiolite I to sepiolite II between 450° and 500° C through loss of molecules of structural water is indicated by a change of slope and that the sudden loss of water at about 750° C is accompanied by the sudden destruction of the mineral lattice.

The following may be added to these three groups:

d. 223 to 207 and 217, curve (d):--p. 19, read on the figure: 223 to 207 and 217 instead of 223 to 207/.

(Curves p. 19, French original)

The dehydration in three stages is the same as for group b., but there is a last supplementary loss between 850° C, and 920° C, related to 10 percent of the 50 percent of the total water which is lost between 320° C and $1,000^{\circ}$ C. This peak is surely related to the endothermic peak at 820° C which occurred in the differential thermal analysis.

(This last peak is not seen in curve 1, p. 16; the dehydration, perhaps accelerated by the formations of lime ends at 800° C).

It is remarkable to see by this method a peak similar to that of group b. at about 200° C, whereas it is not seen on the curves from differential thermal analysis.

a. Remaining samples:

Sample 153 has the peaks of groups a. and b. and, in addition, the peak between 850° C and 920° C of group d.

Sample 241 has mainly the character of group a., but also a very clear peak at 220° C.

Sample 256 derives from both groups a. and d. (without the peak at 220° C) but, in addition, with an abrupt supplementary peak at 400° C, probably caused by the combustion of the pyrite that it contains in large quantity. This peak has appeared 150° C higher in the differential thermal analysis, but it is not surprising because in the thermogravimetric procedure, air can get to the material contained in the crucible more easily than in the tamped sample used in differential thermal analysis.

Conclusion

The thermogravimetric analyses reproduce all the essential phenomena previously observed in the differential thermal analysis and confirm the presence of bravaisite, whose mode of dehydration recalls that of halloysite; very pure attapulgite; sepiolite in the Cormeilles marls and of other clays, which seem to be intermediate forms of both types. With the thermobalance a difference of about 100° is observed, in relation to the curves of the differential thermal method, also the end of a slope and the beginning of a level correlative to the appearance of a maximum or a minimum shifted 100° higher for the differential analysis. This fact was previously observed by Mr. Orcel (11).

3. X-ray spectra

They were obtained by the Deby-Scherrer method and performed on the decarbonated crude sample, washed for a long time with water, then dried and powdered.

At first glance a great similarity can be seen between the spectra of the four most characteristic samples of Cormeilles; however, a few differences appear upon closer examination.

The computations were made according to the Bragg formula, the diameter of the camera being 76 mm. and the wavelength $\lambda = 1.5374 \text{ \AA}$ Cu K α .

The measurement of the diameters of the diffraction circles was made with a transparent scale.

The spacings d, p, q, r, are given in Ångström units and the intensities are expressed according to a conventional scale:

tF	very strong
F	Strong
f	light

(First table, p. 20, French original)

The table of the spacings obtained for sample 108 is given separately with those obtained by J. de Lapparent for the attapulgite of Attapulgus, (Georgia, U.S.A.) (12) in order to show their similarity.

(Second table, p. 20, French original)

Two very strong lines corresponding to the spacings 11.5 Å and 2.57 Å indicated by G. Migeon for the sepiolite of Amprandrandava (Madagascar) (12) will immediately be noted in the spectrum on sample 151, which does not leave any doubt about the mineralogical nature of that sample.

Sample 153 which is poorly crystallized (which is not surprising when one considers the very strong viscosity that it shows in suspension) gives lines common to samples 151 and 108.

poorly understood

Mr. Rivière (13) has incompletely classified known phyllites

into several categories on the basis of unimportant but clear differences shown by them in X-ray diffraction patterns. Among them in group b. are the blue [samples 223 to 207, 217] and white [samples 236 to 233, 232 to 230] "supra-gypseous" marls [white marls lying stratigraphically above gypsum beds] of Cormeilles, and in group C the green supra-gypseous marls [sample 242] and the white "intra-gypseous" marls [marls lying between gypsum beds, the "Entre-deux-masses" beds, sample 151]. He noted that the spectra of this last group showed characteristics common to those given by the palygorskite family. The present author finds approximately the same values and confirms this last observation by the fact that the spectra of the bravaisites of the green marls look very much like those of the samples located lower and which, by that method, again proved to be pure attapulgites. The intermediate marls also show the same common characteristics which are found in the sepiolite of the white marls, also recognizable by comparison with a standard sepiolite.

4. Pectographic method

S. Henin (7) (14) applied to the study of clay a new method of studying colloids, called "pectography" by its inventor P. Bary. This method consists in drying at 50°--60° C a ^{one} or two percent colloidal solution into which a thin glass plate is dipped. A deposit which characterizes the various colloids forms on the plate. At the time the superficial pellicular gel is formed, the micelles associate spontaneously and produce aggregates which match the shape of the crystals of these minerals such as shown by the electron microscope, i.e., thin plates for the kaolinite, illite and montmorillonite, fibres for the attapulgite. The very fine and regular deposits which are given in particular by clays of the attapulgite type match with their natural fibrous facies, but the authors, however, noted a failure for the typical attapulgite of Attapulgus, (Georgia, U.S.A.).

The test was made by the present author on samples 242, 108, and 151. The suspension of clay at a concentration of approximately 1 to 1,000 is stabilized with a small amount of ammonia and placed in a small beaker in which a microscope glass stage is dipped slantwise. After slow evaporation in a dessicator at 60° C the deposit is observed between crossed nicels.

The micelles of sample 108 seem to deposit at random, but no conclusion is drawn in consideration of the reservations made by the authors. It is not so for samples 242 (bravaisite), 217, and 153 which show a succession of fine parallel lines that are easier to see with the naked eye as they produce interference phenomena which make them still more visible. This fact seems to imply that these samples would have a fibrous structure.

D. Chemical analysis of pure clays

The analysis was made only on the clays belonging to beds which by their exterior feature appeared to be homogeneous, and are characterized by a clear differential thermal analysis curve.

Those are the samples 262,

242,

241, 217, 151a, 153

101, 108

151

They were treated by decarbonation and prolonged washing with distilled water and grouped according to the similarities they showed previously in the thermal analysis.

Analysis methods:--They are the same as those applied to the crude samples with, in addition, the study of uncombined silica. The quantity of alumina was determined after the separation of iron and titanium by cupferron [ammonium-nitrosobeta-phenylhydroxylamine, $C_6H_9O_2N_3$] which enables a complete analysis on one sample only.

Quantitative analysis of quartz:--Two g. of well dried and powdered material is weighed and placed in a fairly large platinum dish. Approximately five cc. of water is added, then 40 to 50 cc. of concentrated sulfuric acid. The solution is stirred with a platinum wire, then heated for six to eight hours in a sand-bath; however, it should, not get entirely dry. It is necessary that the evaporation be slow, otherwise the decomposition of silicates would not be complete. After cooling, the solution is diluted with distilled water and filtered. The filter paper and its residue are washed about ten times with boiling water, then two or three times with five percent hydrochloric acid, and finally again with boiling water until there is no more acid reaction. The filter paper and the precipitate are put in a platinum dish, and 75 cc. of water, two g. of pure caustic soda and about 12 g. of anhydrous sodium carbonate are added. The mixture is stirred and heated in a waterbath for an hour, care being taken to replace the water as it evaporates to 100-160 cc. The solution is filtered, and the residue is washed with boiling water about ten times, then three times with five percent hydrochloric acid, and finally it is washed thoroughly with boiling water. It is then calcined and weighed. The weighed residue represents the free silica. The subtraction of this amount from the total silica gives the combined silica.

Direct determination of the amount of alumina (11):--The ammonia precipitate is dissolved again in the beaker which served for the precipitation in five percent hydrochloric acid. Remove the filter paper, rinse thoroughly, and heat slowly to insure complete solution.

Separation of iron and alumina:--To the cold solution, a solution of five percent cupferron is added drop by drop and while stirring, until appearance of a turbidity of nitrosophenylhydroxylamine which dissolves subsequently. (If special care is not taken to keep the cupferron in the ice-box, the cupferron being very unstable even in the presence of carbonate of ammonium, the formation of unfilterable colloidal turbidity could occur). The solution is filtered and washed with cold water, then calcined, taking good care not to lose any material which is very light and easily swept along by currents of warm gases.

Titanium is determined by dissolving the residue with potassium bisulphate and then completing the analysis by colorimetry. The iron is determined by difference.

Alumina:--The hydrochloric acid liquor is transferred in a platinum dish and evaporated to dryness in a waterbath. The residue is allowed to cool, then moistened with water with an admixture of 4 to 5 cc. of concentrated H_2SO_4 covered with a watch-glass, and heated in a waterbath.

The mass becomes black. When there is no more gas released, the small excess of water is evaporated, and then the dish is heated over a small flame in order to completely eliminate the H_2SO_4 . The carbonaceous substance that remains in the sulphate residue is completely burned by playing a Bunsen flame under the dish without going beyond dark red heat. The residue is triturated with a spatula in order to have all its parts in contact with the bottom of the dish. In this way a very white aluminum sulphate is obtained. Heating should not be too strong (it should not reach a bright red color) in order to prevent the decomposition of aluminum sulphate into alumina, which is insoluble in acids. After cooling, the sulphate residue is taken up with approximately 100 cc. of water with an admixture of a few cc. of HNO_3 or HCl . It dissolves completely after approximately 15 to 20 minutes at the temperature of a waterbath. A small residue of flocculent silica which escaped the previous treatments is generally present. It is filtered, weighed and determined by difference after evaporation with concentrated $HF + H_2SO_4$. If at this stage a large residue remains, it is to be feared that it was formed by alumina coming from the decomposition of the aluminum sulphate which was calcined at a too high temperature. It is then fused in a small quantity of Na_2CO_3 , the mass is again taken up with some water acidulated with HCl , and after filtration the filtrate is added to the solution which contains most of the alumina.

Al_2O_3 is precipitated as previously with NH_4OH . It is thoroughly calcined, the weighed.

a. Designation of sample 242 241 217 153

(See table p. 22, French original)

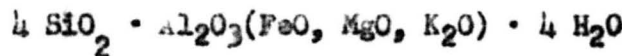
In the computation of the ratio $\frac{\text{Bases}}{\text{Alumina}}$ lime was taken into account and the iron was measured in the state of protoxide as it must have been originally in the clay, and without making any correction due to the high content in titanium which may be present in the state of ilmenite or rutile.

The similarity will be noted which exists in the chemical composition of samples 242 and 217, first in relation to one another, and also with the bravaisite such as given by Mallard (15).

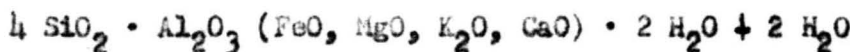
(Table, p. 22, French original)

The two other samples are also very close in spite of the smaller content of silica in sample 241, and of alumina in sample 153.

Mallard formula may be applied to the three first samples:



and even



because some lime is always found in the analysis, and because the quantity of water eliminated after 105°C seems to be equal to that of zeolitic nature lost at a lower temperature. No closer determination is possible owing to the presence of moisture water and organic matter.

b. Samples 151a, 108, and 101 are characterized by a high content of magnesia and alumina; the three have approximately the same composition. Sample 151a is closely related to samples 108 and 101 in chemical composition, whereas it was quite different from them when curves from the differential thermal analyses are compared. It will also be noted that contrary to the later samples, sample 151a is from a clay material that does not contain dolomite.

(Table 1, p. 23, French original)

Although rich in magnesia, these clays also have quite a high content in alumina, so they have a composition entirely similar to that of a palygorskite. Their composition is intermediate between that of an entirely theoretical aluminum palygorskite or paramontmorillonite and that of a purely magnesian sepiolite.

For comparison, the analyses of two palygorskites (16) are given below: (table 2, p. 23, French original)

c. Sample 151 is characterized by a very low content in alumina, a high content in magnesium and the total absence of alkalies.

(table 3, p. 23, French original)

The composition is also given for a brown residue obtained treating sample 262 with hydrochloric acid. Clay is easy to separate from quartz which appears in coarse grains (27.7% percent of the crude sample), but the clay is so disseminated that large quantities of limestone have to be attacked to obtain a few grams.

(table 4, p. 23, French original)

This sample is related to the palygorskites, as was shown by its thermal analysis curve, but it seems to be a mixture.

E. Fractional chemical analysis

J. L. Thiebaut (17) noted the different behavior of various minerals in the presence of some reagents. Hydrochloric acid has no reaction on zircon, rutile, quartz and pyrite. Under certain conditions it reacts very slightly with the orthoclase feldspar, a little more with clays of the kaolinite type, very little on muscovite, and on the other hand attacks montmorillonite very easily and completely destroys biotite and magnetite. Most clays and micas are strongly attacked by sulphuric acid. However, pyrite and ilmenite are not completely destroyed; rutile is still more resistant to that acid; orthoclase is very slightly altered by it; zircon and quartz are not altered at all.

These observations enabled Mr. Thiebaut to develop a method of chemical analysis of the clayey marls, which gives the mineralogic composition of the sample and includes the following operations:

- a. Treatment in the cold state with very dilute hydrochloric acid to eliminate the carbonates.
- b. attack in the heated state with hydrochloric acid to eliminate and destroy the essential parts of the "phyllite" marls.
- c. attack in the heated state with sulphuric acid to destroy and eliminate the micas and "clays".
- d. Attack with hydrofluoric acid to destroy the residue, composed of quartz, feldspars, and some heavy minerals.

The operations permit the calculation of the true mineralogic composition of the clayey rock and led Mr. Thiebaut to consider the "phyllite" of the clayey-calcareous sediments similar to varieties of bravaisite.

This method gave rise to various criticisms. Maurice Dreyfus (18) wonders why all the iron is considered as divalent in the fraction B and trivalent in fraction C, when it is very possible that most of the iron in these marine sediments is ferric iron. The silica rendered insoluble by the acids can be transformed into soluble alkaline silicate by washing the residues with soda or with potash, but washing with concentrated soda may attack the aluminum silicates and modify the gravimetric ratios given by the analysis of the residues. Finally a more serious objection is that the resistance to acids has only moderate value as a specific criterion.

Because the samples of the bravaisite type are not attacked by dilute, cold hydrochloric acid, whereas those of the palygorskite type are easily attacked under the same conditions, and because many marls from Cormeilles contain clays which in the differential thermal analysis present characteristics of both the bravaisites and the palygorskites, it was desirable to see whether the fractional analysis of each of these types would show fractions common to several of them. Assuming, for instance, that the palygorskites are entirely in fraction B and that identical fractions C are found for the bravaisites and the mixed samples, it could be concluded that the latter are mixtures of both varieties or at least of intermediate forms between the two, showing the same reactions in the presence of acids. Also a fraction C common to the three varieties could even have been assumed. In any case these analyses could give significant information of the presence of larger or smaller quantities of iron and of the presence of titanium and alkalis.

Mode of operation

The mode of operation follows the method indicated by Mr. Thiebaut with some slight modifications.

Fraction B, or part which is attacked with hydrochloric acid.

One gram of the substance, placed in a platinum dish which is set in a boiling water bath, is attacked with hydrochloric acid diluted with an equal volume of water until complete desiccation. Repeat this treatment and take up several times in a heated state with very dilute (1 to 20) hydrochloric acid. It is absolutely necessary to filter by decanting, leaving all the residue in the bottom of the dish and not pouring any part on the filter. Afterwards this residue is treated twice during a 5- to 10- minute period with 50 cc. of ten percent soda solution at a temperature of 50° to 60° C. The soda solution will eventually turn brown. The brown coloration is caused by the dissolved organic matter, probably in the state of alkaline humates, contained in the clay. Only a part of this organic matter can be eliminated by filtration. It will be on the same filter paper with silica after the silica is rendered insoluble and it is later easily eliminated by calcination. Next, the residue is washed several times by decantation with warm water, then with very dilute hydrochloric acid. The filtrates obtained in this manner are neutralized by hydrochloric acid, evaporated to dryness in a large porcelain dish and the silica is rendered insoluble. The original hydrochloric acid filtrate is also evaporated to dryness and the silica is made insoluble by the classic method. Filter, wash, and then filter on the same paper as that used for the second silica from the alkaline treatment, which is much more important than the first one. Whereas this second filtrate is rejected, the first one is oxidized

by admixture of one cc. of hydrogen peroxide, and the alumina, iron peroxide and titanium oxide are precipitated in it by ammonia in the presence of bromo-thymol blue. The precipitate is redissolved in hydrochloric acid, precipitated again, and again dissolved, and the alumina, iron and titanium are determined separately in this liquor set aside after precipitation by the cupferron (see p. 22 with French, separation of iron and alumina).

Lime is precipitated from an acetic acid solution medium by the addition of ammonium oxalate. The calcium oxalate formed after filtration and acidification with sulphuric acid is titrated with one-twentieth N permanganate. The ammoniacal filtrates are evaporated in a platinum dish in a sand-bath; then they are slightly calcined with the Bunsen burner in order to eliminate the ammonia salts completely. The residue is moistened with a few drops of Schaffgoth liquor (obtained by dissolving 250 g. of ammonium carbonate in 350 cc. of concentrated ammonia and bring up to one litre with distilled water). Again evaporate to dryness, gently calcine and take up with a few cc. of the same liquor. Filter after 24 hours and wash with this same solution. The magnesium carbonate left on the filter and in the dish is dissolved in five percent hydrochloric acid and the magnesia is determined after precipitation in the form of ammonium magnesium phosphate. The ammoniacal waters from the washing are evaporated in a platinum dish. The potassium is determined in the form of perchlorate and the sodium is determined by difference from the total weight of chlorides.

Fraction C, or part that can be attacked by sulphuric acid alone.

The residue of the hydrochloric treatment is washed with warm water by decantation, then with a slightly acid solution, then again with distilled water. These operations should be repeated in order not to obtain results too high in alkalies which are caused by remnants of sodium chloride from the previous treatment. The residue is then attacked, at a temperature of approximately 100° C. in a sand-bath by sulphuric acid diluted with nine times its volume of water and it is evaporated to dryness in the sand-bath. The residue is not weighed after drying at 100° C. because experience has shown that for the samples studied this drying caused the formation of small and hard scales which afterwards disintegrate in acid with much difficulty. The residue must absolutely not be allowed to get on the filter during the filtration of fraction B or during the washing preceding the sulphuric treatment. These very viscous particles adhere strongly to the pores of the filter paper and cannot be removed by a jet of water. An attempt was made, without great success, to place the paper and its contents in the dish and to treat the whole thing with sulphuric acid; the attack of the paper was incomplete and the analysis became impossible in the blackish filtrates loaded with the organic matter coming from the carbonization of the paper.

Analysis of sample 242*	Sample 241	Sample 217	Sample 153	Sample 108
----------------------------	---------------	---------------	---------------	---------------

(See table p. 25, French original)

* It is very possible that all the iron of fraction B is in the ferrous state because if peroxidition with hydrogen peroxide is omitted, the filtration of the precipitate with ammonia becomes impossible, the ferrous hydroxide passing through the filter and becoming reoxidized afterwards on the funnel walls. On the other hand, it seems to be completely ferric in fraction C.

Sample 151 is totally soluble in hydrochloric acid except for a small percentage of quartz, and it is completely recovered in B. This condition was to be expected because the solubility of sepiolites in hydrochloric acid is a well-known fact.

The mass is then treated in the heated state with half-dilute hydrochloric acid. The residue is taken up with the a solution to extract the liberated silica and to determine it. The operation is then the same as for fraction B. After the silica coming from the two liquors has been rendered insoluble and determined, the alumina, iron and titanium are determined in the sulphuric filtrate, after separation with ammonia, and the lime is precipitated by the ammonium oxalate.

The ammoniacal solutions are evaporated and the residue calcined. Because the determination of K^+ in the state of perchlorate is impossible in the presence of SO_4^{--} , the sulphates are transformed into chlorides. This is done by addition of a few cc. of barium chloride, evaporation to dryness, addition of Schaffgoth liquor, and then the procedure as for fraction B is followed. The excess barium chloride is precipitated by the Schaffgoth liquor and does not affect the determination of magnesium.

Fraction D:--The residue of the sulphuric attack which remained in the dish is taken up and washed with very dilute hydrochloric acid, then dried and weighed. After disintegration with hydrofluoric acid with an admixture of a few drops of sulphuric acid, the determination of alumina, lime and alkalies can be made.

water content of the various residues:--This is determined on the residues obtained by the same treatments on an identical sample after drying at 100° C. and calcining. This slightly defective mode of procedure is surely subject to error. It is the only practical and the only possible one. The water content of fraction B is obtained by difference between that of fraction C and that of the clay dried at 100° C.

Conclusion

These analyses show that:

1. A large part of the alkalies contained in these clays comes from the presence of mica which is again found in fraction C, and the content of which can be estimated at

15 percent for sample 242

11 percent for sample 241

26 percent for sample 217

11 percent for sample 153

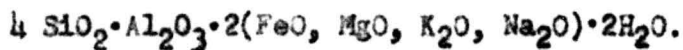
8 percent for sample 108 of the decarbonated
and air-dried samples.

2. The samples are not completely attacked by hydrochloric acid and the remainders found in C (mica disregarded) are different from one group to the other, which is indicative of a difference in alterability.

3. Sample 153 cannot be a mixture of samples 108 and 242.

4. The fractions B of all these samples do not make it possible to relate them to kaolinites nor to halloysites.

5. Samples 242, 241 and 217 belong to the group of bravaisitic clays such as defined by Mr. Thiebaut, and to them may be attributed the following formula:



It will be recalled that the values four of the ratio $\text{SiO}_2/\text{Al}_2\text{O}_3$, and two of the ratio Bases/Alumina were only the averages of quite different figures found for numerous marls, which permits inclusion of sample 153 in that group.

The ratio Bases/Alumina was computed by that method more accurately than by the methods given under D because it does not take into account the mica not belonging to clay.

F. Study of Cormeilles gypsum

Chemical analysis

Because gypsum dehydrates from a temperature of 60°C . after being left for a prolonged time in the oven, the analysis was made for samples simply dried by exposure to air at room temperature.

Combined water:--Weigh five g. in a platinum crucible and tare again after calcination in the electric oven at 500°C . As shown by curve no. 1, no decomposition of the carbonates is shown.

SO_3 :--Transfer 0.5 g. of the sample in a beaker containing 50 cc. of one-fifth HCl; boil, add 100 cc. of boiling water, continue to boil, filter immediately and wash thoroughly with boiling water. Afterwards, it only remains to precipitate the barium sulfate by slow admixture of 20 cc. of a boiling solution of ten percent Ba Cl_2 .

CaO:--Lime is determined by precipitation of calcium oxalate of an aliquot part of the filtrate obtained previously, neutralized and gently acidified with acetic acid. The washed oxalate is either calcined in a platinum crucible or decomposed with sulphuric acid and titrated with potassium permanganate.

SiO₂, Al₂O₃, Fe₂O₃, TiO₂:--These are determined on a sample of 0.500 g. which is attacked by fusion with sodium carbonate and taken up with hydrochloric acid. The procedure is the same as that described above. (See page 22 in the French original).

CO₂:--The CO₂ of the carbonates is displaced by hydrochloric acid and is determined by difference with a calibrated Geissler apparatus on samples of at least five g. to attain sufficient precision.

Following are the results of these analyses:

(See table, p. 27, French original)

The great purity of these layers can immediately be seen. Their content in calcium carbonate seldom exceeds ten percent but it is never zero even in pure crystals. The gypsum content in the lower hard section of the high mass being smaller than in the upper soft section would explain the difference of resistance of two layers of same formation. The computation of the quantity of fixed water calculated in relation to the determined quantity of SO₃ shows that the samples retain a small amount of moisture water.

Thermogravimetric analysis

The thermogravimetric analysis for a crude sample such as 240 gives curve (1) showing two very clear and very marked peaks, one of them related to the dehydration of gypsum ^{to} anhydrite, the other to the dissociation of calcium carbonate. Under the operating conditions (0.7 g. of substance brought from 20° to 1,000° ⁱⁿ with 2½ hours), the dehydration of gypsum starts at approximately 100° C., accelerates quite rapidly, and is about totally completed at 220° C. The rounded shape of the peak at that temperature shows that some traces of water are still adhering and leave slowly and only with difficulty as the temperature rises. This is shown by the curve which reaches a horizontal level only at approximately 350-400° C.

(curves, p. 27, French original)

This shows once more the difficulty with which the transformation of soluble anhydrite into insoluble anhydrite is produced. Messrs. Faivre and Chaudron (20), who again studied this transformation recently, showed that it is never complete below 400° C. whatever the duration of the experiment may be and they thought that this allotrophic transition is correlative to the loss of the last traces of zeolithic water.

Calcium carbonate starts to dissociate at 600° C.; this decomposition accelerates at 700° C. and is about complete at approximately 800° C. The light-spot continues then to describe a perfect straight line up to a temperature of 1,000° C. Sample 201-183 has given an identical curve, the same phenomena appearing at the same temperatures but the heights of the peaks being naturally different.

As Mr. Duval remarked previously, the composition of the sample is easily determined from the photographic recording. The simple measurement of the ordinates with a millimeter rulor enables a quite precise determination of the relative losses of water and of carbonic-acid gas from which the content in gypsum and carbonate of calcium can be calculated without difficulty.

201-183

	Chemical analysis	Photographic recording
Gypsum	94.64 percent	94.55 percent
CaCO_3	4.93 percent	4.90 percent

As it can be seen, the agreement is excellent and shows that the photographic recording is a rapid and reliable method of determination. From the examination of the curve, the following remarks can be made:

In the case of a fairly rapid heating ($1\frac{1}{2}$ hours to reach 470°C) no break is seen in the curve of dehydration of the gypsum related to semi-hydrate.

Neither is any loss of weight observed at the high temperatures, showing the dissociation of the anhydrite formed into sulphurous anhydride, oxygen and lime. The dissociation starts at 960°C . for pure anhydrite and the admixture of silica considerably lowers this temperature (19). It is true that the quantity of silica contained in the samples is small but a curve constructed with a synthetic mixture of precipitated calcium sulphate and quartz powdered into stoichiometric proportions clearly shows this dissociation by a peak starting at about 970°C . (curve 2).

Translator's note: Omitted here is a section on dehydration of gypsum, p. 28-30.

II. Spectrographic analysis (p. 30)

Clays which are formed under most varied conditions retain many accessory elements. Austin and Bassett (24) found in various clays of Tennessee and Florida the following elements: B, Ba, Be, Cd, Cr, Cu, Ga, Li, Mn, Ni, Pb, Pd, Sb, Sn, Sr, and Zn. Bosazza (25) also found vanadium and molybdenum in efflorescences which formed on South African clay bricks.

There exist many methods for the spectrographic analysis of a mineral:

A. de Grammont (26) dissolves the powdered silicates in sodium carbonate on a V-shaped wire and produces the spark from another wire. H. Morritz after oxidizing alkaline fusion in a nickel crucible, re-dissolves in boiling water, evaporates, treats with HCl and places the solution concentrated at ten percent on a Gerlach electrode. A. Preuss (27) studying slates and granites heats one to three g. of the material in a pure carbon tube brought gradually to 2000° C by means of an electric oven. The volatilized elements are carried by a current of nitrogen in the flame of an arc showing the elements which distill gradually in the following order: Hg, Cd, Zn, Bi, As, Tl, Ge, Pb, Te, In, Sn, Ga, Pb.

Other experimenters such as Austin and Bassett simply place the sample in an electrode provided with a hole. This method used on the present samples did not show elements other than those disclosed by the classic chemical method. For sample 242 for instance, only copper and vanadium were shown, the lines of which are lost among many others produced by magnesium, aluminum, silicon, titanium and calcium.

It was consequently necessary to concentrate the impurities in various fractions or precipitates which were to be examined with the spectrograph. The lighter the weigh of these fractions, the greater the concentration of impurities bringing about a greater sensibility of the analysis.

This was the method used by Cl. Hebert (28) who developed a fractionation procedure that enabled him to detect numerous impurities in various natural phosphates. The present author abided by this simple and reliable procedure and adapted it to the analysis of clays.

First tests:--Tests were first made using the volatility of metallic chlorides of lower valence. Clay that has been previously calcined at 800° C is crushed, transferred into a vessel and swept into a tube brought to 500° C by a current of H₂ which is intended to reduce the metallic oxides. Then the vessel, full of a substance, the color of which turned from chestnut to a metallic gray, is introduced into a heated tube through which runs a chlorine current which has been carefully purified. The iron chloride that is produced soon volatilizes, carrying along (as expected) the other chlorides which were produced in smaller quantities. It is not long before it condenses and forms a red deposit. The tube is then washed with distilled water and the chlorides dissolved in that water are evaporated to dryness in an evaporating dish. The residue is then analyzed with the spectrograph. But it has not been possible to detect significant lines among the quantity of lines produced by the iron.

Apparently the impurities were present in the state of very stable compounds disseminated in large quantities of clay, and more powerful methods had to be resorted to in order to bring them into reaction. Consequently the fractionation summed up in table I was used. Following is an outline of the method:

The clay is treated with concentrated boiling hydrochloric acid. Whereas the separation of the classic method of chemical analysis are made on the filtrate, the residue is melted in the mixture of carbonates and the fusion is taken up with cold water. Most of the iron which was converted to the insoluble carbonate is eliminated by filtering. This filtrate when treated with hydrochloric acid gives a precipitate which, when separated and treated with sulphuric and hydrofluoric acids, gives a residue. The sodium chloride of the second filtrate is eliminated by bubbling hydrochloric acid and filtering. The first insoluble, composed mostly of carbonates.....*

* One line or more missing in the French text. (See in the French Original p. 31 sentence starting on line 6 to the right.)

(Table I, p. 31, French original)

Table I shows the interesting elements found in each of the fractions. This method led to interesting results but on the other hand was long and laborious. Besides the elimination of the main components of clay was being made only in several stages, the separations never being quantitative. The treatment with hydrochloric acid of clays that are easily attacked, distributed large quantities of aluminum and magnesium in both the filtrate and the insoluble, without however separating more accurately some components such as Cu and Sb, not to mention iron which remained in appreciable quantity in the clay that was not attacked, as checked by the analysis made by the J. L. Thiebaut method.

For these various reasons, this method was given up and replaced by another one based on the following observations.

Effervescent sulphuric acid decomposes most silicates by turning Al, Ca, and Mg into soluble sulfates; it also decomposes the organic matter present in marls and renders barium insoluble. The liberated silica can easily be eliminated by treatment by hydrofluoric acid.

Metals contained in small quantity in a liquid can easily be precipitated with hydrogen sulfide by adding to the solution a small quantity of mercuric chloride. The mercuric sulfide precipitates and brings down all the sulfides. It is then easily eliminated by volatilization (28).

It is easy to separate aluminum as $\text{AlCl}_3 \cdot 6\text{H}_2\text{O}$ quantitatively in a solution containing Fe^{3+} and Be^{2+} by adding to the solution an equal volume of diethyl ether saturated with HCl and by bubbling gaseous hydrochloric acid in the mixture cooled to 0° C until saturation. Calcium sulphate is also very slightly soluble in this mixture. The separation is not as good in the presence of NH_4Cl , NaCl , KCl and MgCl_2 , and it is advisable to make a previous separation with ammonia. In the presence of an excess of tartaric acid, iron does not precipitate with ammonia. By adding ammonium sulfide to the solution it is possible to separate it from Be and V which do not precipitate.

Calcium nitrate is very soluble in a ether-alcohol mixture in equal parts whereas barium nitrate is very slightly soluble.

Magnesium carbonate is slightly soluble but magnesium can easily be separated from the alkalies by treatment with Schaffgoth liquor in the absence of ammoniacal salts.

Following is the definitive mode of operation (table II, p. 32):

Ten gs. of clay previously decarbonated with five percent hydrochloric acid are transferred into a platinum dish with an admixture of 20 cc. of concentrated sulphuric acid. Mix with a spatula. Add ten cc. of hydrofluoric acid and evaporate in a sani-bath. Repeat this attack, evaporate again until total disappearance of the white fumes without reaching dryness. After addition of ten cc. of concentrated hydrochloric acid and another evaporation, exhaust the contents of the dish with five percent hydrochloric acid. The residue is washed with water, calcined and placed in a tube. It forms the first fraction mainly composed of Ag, Cu, Ba, Pb, Ni and Zr.

(Table II, p. 32, French original)

Hydrogen sulphide is transferred into the filtered solution with an admixture of a few cc. of a saturated solution of mercuric chloride. The sulfide, which is very heavy, can easily be decanted. It is washed, dried and calcined in a porcelain crucible. The few milligrams which remain at the bottom may contain lead, copper, arsenic, molybdenum, chromium, and vanadium.

After prolonged boiling, oxidize with one cc. of concentrated nitric acid, add a few drops of bromo-thymol blue, and ammonia drop by drop until the solution turns green. The solution is filtered and brought to boiling. The gelatinous precipitate is dissolved in a few cc. of concentrated hydrochloric acid. To this solution add an equal volume of ether saturated with hydrochloric acid. The mixture separated in two layers is placed in a washing bottle set in ice which is hand stirred while the hydrochloric acid is made to bubble. After a short while, the liquid becomes homogeneous and aluminum chloride soon precipitates. Withdraw the fritted glass containing the aluminum chloride, maintain the vacuum for a short while in the bottle, the bottom of which is then dipped in warm water in order to expell the ether, add one g. of tartaric acid ammonia and ammonium sulphide to the solution. The precipitate contains iron, vanadium and lead.

The filtrate is evaporated to dryness and calcined; the aluminum which escaped from the separation serves as support to Be. Still warm, the filtrate coming from the ammoniacal separation is treated with ammonium sulphide. Nickel, cobalt, zinc and manganese are found in the calcined sulphides.

The solution is freed from ammonium sulphide by boiling with hydrochloric acid. A filtration eliminates the sulfur formed, and lime, which is in small quantity in clays, is precipitated with ammonium carbonate and ammonia. A few drops of nitric acid are sufficient to dissolve the precipitate transferred in a platinum crucible. After evaporation to dryness in a water-bath and a stay of twelve hours in the oven at 110° C., the residue is triturated with ten cc. of a mixture of alcohol and ether (one part of absolute alcohol for one part of anhydrous ether). Filter and calcine the residue composed of a few milligrams of unseparated lime which contains barium and strontium.

The liquor is evaporated to dryness in a platinum crucible, gently calcined until total elimination of the ammonium salts. The residues are moistened with the Schaffgoth liquor, again evaporated to dryness and taken up with ten cc. of this liquor. After settling for twelve hours, filter. The insoluble is dissolved in hydrochloric acid diluted and precipitated with ammonia after adding a few drops of solution of saturated disodium phosphate. When calcined, the analysis shows the presence of Ag. and Mn.

The filtrate evaporated to dryness contains sodium, potassium, lithium, and vanadium.

Alkalies--Because many alkalies may have gotten lost during the operation, this last fraction was also prepared by treating the sample directly by the Lawrence-Smith method and by analyzing the solution obtained with the Cojan spectrograph.

Translator's note--Omitted here is a short section on preparation of especially pure reagents for the analytical work.

Modes of obtaining spectra

Fery spectrograph:--The Fery spectrograph is a 30° quartz prism instrument, with curved faces and autocollimator. The intensity of the arc between two carbon electrodes, can be adjusted by means of a rheostat. The spectrum is projected on the slit of the spectrograph by means of a fixed lens. The substance to be analyzed is placed in a cylindrical cavity of about one mm. diameter and two mm. depth, in the lower electrode. The electrodes have to be carefully purified beforehand because the commercial electrodes frequently contain boron, iron, silicon, aluminum, magnesium, titanium, copper, calcium and phosphorus.

Electrodes 30 cm. long and 0.6 cm. in diameter are sufficiently purified by a 600 amp. current running through them for three minutes. This purification has to be made prior to each exposure by flashing the arc under 15 to 20 amp. for two minutes. A carriage travelling in front of a reference scale that contains an ultra-sensitive orthochromatic photographic film allows the impression of 11 spectra on the same film.

It was found that one-minute time exposure was quite sufficient. A more prolonged exposure only increases the continuous background. During that time the intensity is raised gradually from five to ten amp. in order to progressively volatilize the various elements. Iron spectra are intercalated between the spectra of the samples, by flashing an arc between two pure iron electrodes under seven amp. for during ten seconds. A comparator fitted with a micrometric screw allows the determination of the spectra with reference to the R. Bessuet and P. Montagne atlas of the iron spectrum. After the line wave-length has been determined in this manner, the nature of these elements is investigated in tables.

The investigation of the ultimate lines then completes the determination. The explored region extends from 2,300 to 5,000 Å.

Cojan spectrograph--This spectrograph enables the search for alkalies which are difficult to detect in the carbon arc of the Fery spectrograph. Their characteristic lines are in a very dark zone (Swana band from 3,500 to 4,000 Å) in which the dispersion is too slight. The Cojan spectrograph of optical glass allows observation of the region included between 3,500 and 6,800 Å on panchromatic plates. Small sticks of magnesium pyrophosphate to serve as support are prepared as follows: Ammonium-magnesium phosphate is precipitated, dried, then energetically washed, and small wood molds are filled up with the paste and dried in the oven at 110° C. After twelve hours, the sticks, which undergo a considerable contraction upon drying, are removed without difficulty. They are calcined in the Meker oven. They then become very hard. Pinched between two pieces of wood charcoal and soaked with the solution to be studied, they are gradually brought near a flame produced by a small oxyacetylene blowpipe which dries them by degrees. They are soaked again and the operation is repeated several times in order to make them a great deal richer in alkaline chlorides.

The flame focused by means of a lens on the slit of the apparatus should show a blue tip approximately one cm. high. Finally the stick is held for one minute immediately over that tip.

A standard spectrum is projected by impregnating the stick with solutions of Li, Cs and Rb chlorides. It is then easy to compare with the naked eye the spectra to be studied by reference to the lines 6,710 and 6,103 for Li, 4,202 and 4,215.7 for Rb, which are very easy to recognize.

Results

These are grouped in table III (p. 35, French original).

It is immediately noted that vanadium, manganese, and lithium are common to all the samples. Copper and molybdenum are also very frequently present. It seems that clays with the most pronounced plastic properties are those which contain the greatest quantity of elements that could have been thus retained. This phenomenon could be due to the marine origin of the layers, into which these components could have been brought by the sea water which is particularly rich in these elements.

Strontium must likely be present in sample 242 in the state of strontianite, previously mentioned by A. de Lapparent (29).

The presence of zirconium is easy to explain. It has frequently been observed in marls in the form of rounded zircon grains or of crystals of very small dimensions.

Nickel is shown in samples 151 and 101 by an abnormal high number of lines. The first one contained sepiolite that was disseminated in its mass. The main ore of nickel, garnierite, is also a sepiolite. Should a similarity be established or should one conclude that this is simply a coincidence?

(Table III, p. 35, French original)

Spectrographic analysis of gypsum

Gypsum being slightly soluble in water, (2.4 g. per litre), a simple solution to remove most of its impurities consists in washing in a jar five g. very finely powdered gypsum (300 mesh sieve) with about ten liters of water stirred by bubbling compressed air. The water is replaced every day after decantation and siphoning by a new quantity until complete exhaustion of the sample. A solution diluted with hydrochloric acid would more easily answer the purpose but there would be a risk of rendering some impurities soluble. The brownish residue is dried and placed between the electrodes of the spectrograph and the analysis is made.

Besides the usual elements (Ca, Si, Ti....) which give many lines, the following elements are found in all the samples: Cu, Mn, Ni, Pb, and more especially Sb and Tl in sample 93.

Translator's note:--Omitted here is a section on the determination of Mn, P, Cl, S, ferrous iron, Mo, Zr, and V.

Part II. - Study of various samples

clay from Dahra region

(East of Mostaganem, Algeria)

Two samples from the BB horizon were studied, one is blue clay (lower section), the other, yellow clay (upper section).

They absorb water very easily and swell greatly, giving a very sticky paste. Consequently they show properties which are characteristic of bentonite. The admixture of a few cc. of a water solution of benzidine to a few grams of clay in a test tube immediately gives a deep indigo coloration. These clays are probably pure montmorillonites.

The chemical analysis showed:

	White part	Blue part
H ₂ O ⁻	11.10	10.39

(etc., see p. 39, French original)

Taking into account the silica contained in the form of quartz, the ratio $\frac{\text{Si O}_2}{\text{Al}_2\text{O}_3}$ is approximately four. This is characteristic of montmorillonites. The two samples show approximately the same composition, but the blue part is richer in iron. This is partly explained by the presence of pyrite, which no doubt gives it the blue coloration.

Fractional chemical analysis

The fractional chemical analysis shows that this clay is soluble in hydrochloric acid, and that the presence of alkalies in fraction C is to be ascribed to mica.

	Percent
Moisture water	11.10
Water lost beyond 110° C	5.39
Part soluble in hydrochloric acid	49.43
Part soluble in sulfuric acid	15.76
Quartz	<u>18.34</u>
	100.02

(see Table, p. 39, upper right, French original)

The ratio silica/alumina of fraction B is that of a montmorillonite. Since all the alumina of fraction C enters the composition of mica for which the ratio silica/alumina is 2.95, it may be assumed that approximately 5.5 percent of the silica of fraction C is quartz, likely in the state of fine particles, which is attacked by sulfuric acid. Quartz had been determined in the crude sample by sulfuric acid attack, by the method previously indicated [p. 21 in the French original] and it is seen how much the mode of computation was defective although an almost similar result is attained.

Differential thermal analysis (Plate I)

- a. The large peak, between room temperature and 420° C is related to the loss of zeolitic water.
- b. Loss of structural water is shown by a second endothermic peak between 500° and 800° C, including two small endothermic peaks at about 600° and 680° C, and a larger one whose minimum is at about 750° C.
- c. A third endothermic peak between 600° and 900° C is correlative to the destruction of the crystal structure which renders the substance amorphous.

(Plate I, page 39, French original)

An entirely similar curve is obtained for the blue part, but a small exothermic peak appears at about 655° C. It can only be caused by the pyrite which previously was seen to be present at the same temperature in the Cormeilles samples

Dehydration (Plate II)

Curve I given by the white sample dried at room temperature shows that the loss of water occurs in three stages: the larger part between room temperature and approximately 200° C, which is correlative to the loss of zeolitic water; the remainder between 300° and 600° C, and between 660° and 880° C. The special shape of the last slope shows the difficulty with which the last molecules of water leave from 700° to 880° C, after a rapid loss between 600° and 700° C. This phenomenon is still more evident on the curve of the sample previously dried at 105° C (curve 2). A comparison of these results with those of the differential analysis shows that the loss of the last molecules of water (880° C) coincides with the destruction of the crystal lattice and it may be assumed that it causes this destruction. (It is no longer necessary to take into account the usual divergence in temperature which cannot take place for such small quantities of water).

(Plate II, p. 40, French original)

The computation shows that of the 5.39 percent of water that remains in the substance after heating to 110° C, 32 percent is expelled between 110 and 350° C, at which temperature a point of inflection is seen; 16 percent is lost between 350° and 560° C, when a second point of inflection appears; and 50 percent is expelled beyond 560° C.

A similar curve was given for a typical montmorillonite from Morocco, composed as follows:

H_2O^-

13.44 etc.

(see page 40)

Spectrographic analysis

When a sample is triturated with water and dried, the filtrate obtained is perfectly limpid. Upon concentration a white precipitate appears which was found to be calcium carbonate. A microscopic examination of the residue shows crystals of NaCl which explain the presence of sodium in fraction B and fine efflorescences.

Bosazza (25) previously noted that fire bricks made from clay from South Africa showed greenish-yellow efflorescences rapidly soluble in warm water. Upon analysing this part soluble in water, he found sodium in large quantity, vanadium and traces of molybdenum.

By treating a sample of clay calcined at 900° C., with distilled water in this manner, and analyzing spectrographically the residue obtained by evaporation (a few mg for 20 g. of clay), sodium, vanadium and molybdenum are found. According to the number of lines given, vanadium was present in much larger quantity than molybdenum.

But the quantitative analysis showed that if vanadium was with sodium, the main component of this residue, its content for the whole clay remained low, 0.06 percent of the sample dried at 110° C. The author, like Mr. Bosazza, thinks that the formation of these efflorescences is to be ascribed to the presence of vanadium.

A more complete analysis of the whole clay showed, in addition, the presence of the following elements: Ag, Ba, Cu, Cl, Mn, Mo, Pb, Sn, Zn, Li. ZrO_2 percent equals 0.007.

Coal ashes

The sample is made of smoke coming from the generating station of Gennevilliers [Paris, France].

Chemical analysis:

Ignition loss 6.61

etc.... (see page 41, French original)

The spectrographic analysis made it possible to detect As, Ba, Bi, Cu, Cl, Mn, Ni, Sn, Pb, V. Glucinium seems to be more abundant than the other elements found, since it appears in the analysis of the sample placed directly between the electrodes without prior concentration.

Samples from the sulfur deposit of

Narbonne, [Aude, France]

Analysis of flotation wastes:

Ignition loss and undetermined

elements (S^{- -}, SO₃) 49.24

etc..... (see page 41, French original)

This sample did not contain any significant impurities. It was not so for the two others, richer in S, which was easy to get rid of by combustion before fractioning.

Concentrate melted in thin plate: Ba, Cu, Mn, Na, P, Sn, Sr, and Ti.

Wet filter concentrates: As, Mn, Pb, Sn, Tl.

Samples from excavations in Asia Minor

These samples come from excavations made in Turkey by Prof.

Gabriel and date back to the third millennium B. C.

They were divided into two lots:

1. Material of bluish-black color that underwent partial fusion;
2. Material that was not melted.

From the great density of these samples, the presence of metallic iron could be assumed, but the fine particles obtained through crushing and pulverising were not attracted by the magnet. A differential thermal analysis did not show any peak nor any phenomenon of recalescence.

The analysis of these two substances showed a great similarity in chemical composition characterized by an extremely high iron content.

Samples	Melted	Not melted
--	--	--
SiO ₂	21.00	20.72

etc..... (see page 41, French original)

Spectrographic analysis of the crude sample: Si, Mg, Al, Fe, Ca.

Research for traces: Ti, Na, Pb, P, Cu, Ni, Zn.

It may be assumed that these substances are not related to a slag from iron making because the composition is so close to that of a good iron ore that the metal output of a metallurgical operation, in which they would have acted as slag, would have been practically nil. However, there is no doubt that these substances have been melted artificially.

The field of hypotheses is quite vast:

1. Failure of a metallurgical operation in which the reducing agent (wood charcoal) was added in insufficient quantity.
2. Manufacture of articles of melted silicate (enamels, jewels, cameos).

As for the traces found, considering their small content, they seem to be simple impurities in the ore.

Rouge' clays

The samples studied came from Rouge' (Loire Inferieure, France).

A₁ "White clay". White but traversed by threads of ochre color; easily pulverized.

C₅ "Compact blue clay" - Gray-blue clay, very plastic and fat.

B₃ "Washed yellow clay" - Occurs in beds; with conchoidal fracture and of ochre color.

V₁ "Green clay" - Seen with the naked eye, seems to be a mixture of B₃ and a green clay.

A sample of the green clay was prepared by crushing V₁ and separating the green grains. The green clay thus prepared still contained small quantities of yellow clay which appeared when even the finest grains were divided. In spite of all the care taken, a pure sample could not be obtained. When pulverized, this clay is pale yellow.

Differential thermal analysis:---The curves given by the four samples have the following similarities (plate I): an endothermic peak between 120° and 300° C; a large endothermic peak between 550° and 700° C; an exothermic peak at the high temperatures.

(Plate I, p. 42, French original)

However the first endothermic peak, which is slightly marked for samples A₁ and C₅, is much more pronounced for samples B₃ and V₁, and is very large for the green clay, of sample V₁. Samples V₁ and B₃ give a large endothermic peak between 300° and 450° C, which is less pronounced for sample V₁. The exothermic peak, which is very pronounced for sample A₁, and is found between 925° and 950° C, is considerably less pronounced for the others. It is distinctly seen at 960° for sample B₃, and is found only at 900° C. At the same temperature it is slightly more pronounced for sample V₁ and still more for the green clay of sample V₁. The endothermic peak 550-700° C is less pronounced for the last two samples than for the first three.

It immediately appears that sample V₁ is a mixture of clay similar to that of sample B₃ and green clay, and that samples A₁ and C₅ have the characteristic curve of kaolinite.

It was first thought that sample B₃, which also has the appearance of a kaolinite and contains much iron, as shown by its physical aspect alone, could be related to faratsihite. This ore, found in Madagascar, was first considered by Lacroix as a ferriferous kaolinite, then as a mixture of montmorillonite and kaolinite, and finally by Miss Caillère and M. Menin (39) as a ferriferous kaolinite associated with some goethite and probably with ten or fifteen percent montmorillonite. The thermal analysis of the ore showed the same characteristics as those of sample B₃; i.e., loss of hygroscopic water and of constitution of 120° and 520°, exothermic peak at 900° C and not between 930 and 1000°, endothermic peak at 330° C showing the presence of goethite.

Chemical analysis:--The chemical analysis confirms the first points:

A ₁	H ₂ O ⁻	1.08
etc.....	(see page 42, French original)	

Assuming that iron is bound to silica, as must be the case for the yellow clay which evidently forms the treads of this sample, the ratio silica/alumina must be close to two, and this clay must be a kaolinite although the ratio water/alumina is quite small.

The chemical analysis of sample C₅ is almost identical

C ₅	H ₂ O ^{-..}	1.41
etc.....	(see page 42, French original)	

The presence of pyrite, which is very evenly disseminated, explains the blue-gray coloration of the sample. The peak that it gives in the thermal analysis is not seen because it comes within the temperature range of the large endothermic peak. Consequently sample C₅ is a mixture of pyrite and kaolinite.

Sample B₃ is characterized by a very high iron content

B₃ H₂O⁻.. 2.16

etc..... (see page 42, French original)

The ratio silica/alumina leaves no doubt on the nature of the sample, i. e., it must be a mixture of kaolinite and iron oxide. Since a part of the water is to be ascribed to this oxide, assumed to be FeO(OH), the ratio water/alumina is taken away by two and lowered to 1.46, a value quite close to that given by sample A₁. The endothermic peak at 330° C is characteristic of goethite or of limonite, this ore being very scattered in clay makes the discrimination between the two minerals impossible. Ch. Dosogne (34) has published thermal analysis curves for kaolinite-goethite and kaolinite-limonite mixtures, but the peaks caused by these oxides start at definitely lower temperatures. This divergence may be ascribed to conditions which are not alike because that author studied artificial mixtures.

Sample V₁, the green clay, although air-dried for as long a time as the other samples, had a higher water content, half of which is eliminated by heating at 105° C, and a remarkably high content in titanium oxide.

H₂O⁻ 6.33

etc..... (see page 43, French original)

It is likely that this green clay is a mixture of kaolinite and much bravaisite, which would explain the ratio silica/alumina close to four. It could also be assumed that it contained montmorillonite. Like the latter, it gives an indigo-blue color with benzidine, which moreover is not specific, but its thermal analysis curve does not recall in any respect the numerous curves published in the literature on montmorillonite-kaolinite mixtures. Bravaisite would explain this two-stage loss of water and its second endothermic peak overlaps very well that of kaolinite. The small endothermic peak between 350° and 415° C shows that there is still a small quantity of goethite-limonite coming from material similar to sample B₃.

The water loss is greater above 105° C than below this temperature; This difference (due to kaolinite), as well as the silica-alumina ratio enable one to estimate the molecular proportion of bravaisite and kaolinite as seven to one.

The analysis of sample V₁, made on a sample as homogeneous as possible, confirms the simultaneous presence of material similar to that of sample B₃ and green clay.

H₂O--.. 4.51

etc..... (See page 43, French original)

Thermogravimetric analysis (Plate II):--This analysis does not provide much information

(Plate II, p. 43, French original)

Samples A₁ and C₅ give a curve identical to that of kaolinite of Bunney Saint-Austel (p. 17, 35 in the French original), pyrite not being shown on the curve of sample C₅ by an unexplained anomaly.

Goethite-limonite is shown in the curve of sample B₃ by a peak starting at about 200° C and ending at about 350° C. It will be noted that this curve could be confounded with that of an attapulgite, which shows the same two peaks. This shows the inferiority of the thermo-balance with regard to the thermal analysis which differentiates both perfectly.

Spectrographic analysis

A₁ - Co - Cu - Mn - Ni - Sn - V - Li - Zr - (the latter not being determinable) V % = 0.016

C₅ - Ba - Co - Cu - Mn - Pb - Li

B₃ - Cu - Mn - Ni - V - Zr - Li - V % = 0.023 ZrO₂ % = 0.047

V₁ - As - Ba - Cu - Mn - Ni - Pb - Sn - V - Zn - Li - V % = 0.025,
ZrO₂ % = 0.047

Part III - General remarks

Reaction to benzidine

Almost all the samples of clay or marl that were studied contain more or less vanadium, and almost all give a green, blue or indigo coloration in an aqueous solution of benzidine. These colorations are not specific to families of clay. The sepiolite and palygorskites of Cormeilles give a green coloration, which is also acquired by the plastic Cyrena-bearing clay with which is nearly pure bravaisite in composition. Some of the bravaisites give a dark blue coloration very close to the indigo obtained by the montmorillonites. Benzidine is oxidized by vanadic anion into a blue meriquinonoid compound, which may turn green in strong concentrations. Would this reaction be the explanation of all these divergences? The following table was established to answer that question:

<u>Sample</u>	<u>Content in V</u>	<u>Coloration</u>
Clay from Dahra	0.063	indigo
Montmorillonite from Morocco		indigo
Green clay in the Rouge clay	0.025	indigo
242	0.058	blue
223-207	0.074	blue
217	0.054	blue
151	0.025	dark green
108	0.0	green
102	0.0	no coloration
101	0.0	green
A ₁ (Rouge ¹)	0.016	light green
B ₃	0.023	no coloration
C ₅	0.016	no coloration
V ₁	0.025	dark green, indigo in places

This table shows that the green coloration should not be attributed to a high content in vanadium since that coloration is given by some samples that do not contain vanadium. The indigo coloration is not related to the vanadium content, as is shown for instance by the green clay from Rouge¹, which contains considerably less vanadium than sample 217 which turns blue. It is unquestionable that the more pasty the state of the sample (which enhances the phenomena of absorption) the stronger the coloration.

The color is much more pronounced in the decarbonated samples from Cormeilles than in the crude samples, although the vanadium concentration remains about the same before and after decarbonitization because of the small content in carbonate of some samples, 242 for instance.

Samples 102, C₅, and V₁ do not give any coloration, probably because all the clayey grains of the first two are covered with pyrite, and those of the last one are coated with iron oxide, elements that prevent any fixation.

By adding ammonium metavanadate to a suspension of sample 108 in benzidine, a dark blue coloration is obtained instead of green. This coloration is considerably less strong than that of sample 151, a clay that is less plastic than that of sample 108, to which the same quantity of vanadium has been added.

The last experiment probably gives the solution of the problem. It is the water-soluble vanadium which provides with benzidine the indigo coloration which later is absorbed by the clay and produces a sort of lacquer. It was seen that the montmorillonite from Dahra, treated with water, gave a solution that contained much of that element, much more than the Cormeilles marls which are subjected to the same treatment. The same fact was noted for a typical montmorillonite from Morocco. The indigo colorations obtained are almost the same as that obtained by adding ammonium metavanadate to a suspension of sample 242, the difference of intensity being also explainable by a lesser plasticity of the bravaisite.

It is therefore probable that the benzidine color test of montmorillonite is based on the presence of a fairly large quantity of water-soluble vanadium capable of reacting with benzidine, giving a coloring matter which fixes rapidly at the surface of the clay layers. An experiment would make it possible to confirm this assertion. The montmorillonites that do not give the color reaction do not contain water-soluble vanadium, but that they immediately give the coloration upon addition of some vanadate of NH_4 .

Simultaneous flocculation of pure colloidal solutions
of alumina and of silica

Rocks which are slowly attacked by water and a little more rapidly by the water charged with carbonic acid give colloidal solutions of alumina and of silica. For a long time, it has been considered as the mechanism of the formation of clays which would result from the flocculation of these two solutions into a gel that crystallizes afterwards, either slowly at room temperature, or rapidly at a high temperature and under steam pressure. This synthesis of clays has tempted many researchers.

Schwarz and Brenner (35) mixed solutions of sodium silicate and aluminum chloride and found that the stronger the concentration of silica in the precipitating solutions, the higher the silica content of the precipitate. By operating on diluted solution, in neutral medium, and leaving the precipitate a long time in contact with the liquid, they found that this precipitate got richer in silica and that after sufficient time it reaches the composition of kaolinite. Dried at 110° C., this material gives an X-ray spectrum similar to that of kaolinite, but is easily decomposed by HCl and has not the same dehydration curve as that given by a natural kaolinite. The precipitate rapidly attains the kaolinite position if the ratio $\text{SiO}_2/\text{Al}_2\text{O}_3$ is equal to six in the solutions. This would lead to the assumption that kaolinite would come from the decomposition of feldspars.

Resuming this research with R. Walcker (36), Schwarz showed that the precipitation can be rapid and total only in a fairly narrow range of pH of 4.8 to 5.0, in which the ratio $\text{SiO}_2/\text{Al}_2\text{O}_3$ remains almost equal to two, whatever the time of contact is. He concluded that feldspars can lead to kaolinite only after decomposition into silica, alumina and potash, and attack with carbonic acid or a mineral acid.

Van Nieuwenburg (37) expressed doubts on the kaolinitic nature of the precipitate of Schwarz, and prepared a mixture of gels by admixture of soda to solutions of AlCl_3 and Na_2SiO_3 in such proportions that the ratio $\text{SiO}_2/\text{Al}_2\text{O}_3$ is equal to two. The treatment of this mixture in the autoclave at 200-260 atm. for 288 hours gave a product which Van Nieuwenburg identified with kaolinite by comparison of the density and the refractive index.

Dittler (38) criticized the work of his predecessors whom he reproaches for operating with electrolytes. He prepared a sol of alumina by the action of aluminum amalgam on a solution of aluminum chloride and consequently containing Cl ions. He made it flocculate with silica solutions and found that for a ratio one-half of the precipitating salts, the precipitate dried at 110° C has the formula Al_2O_3 , 1.93 SiO_2 , 2.72 H_2O , but appeared amorphous by X-rays.

W. Noll (39) mixed solutions of AlCl_3 and Na_2SiO_3 in the proportion one-half; the precipitate remained amorphous even after two years. Heated at 300° C and 90 atm. this precipitate turned into kaolinite within five days, which was identified by its dehydration curve, X-ray diagram, refractive index, and its resistance to hydrochloric acid. In subsequent work, Mr. Noll showed that the synthesis of montmorillonite is also possible, but in alkaline medium. He also prepared separately (40) pure gels of silica and alumina, mixed them afterwards, and treated them in the autoclave. According to the ratios of the components and the steam pressures, he obtained Boehmite, bayerite, pyrophyllite, or kaolin.

The treatment in the cold state did not give any result to Raychaudhuri and Datta (41), nor to Miss Caillere and M. Hanin (42). The latter, however, by electrolysis of solutions of sodium silicate or of a mixed solution of silicate and aluminate on aluminum or magnesium electrodes, have obtained products that may be related to clays.

It was desirable to see what results would be obtained by the precipitation of strictly pure salts of silica and alumina, well diluted and added one to another in such conditions that the ratio $\text{SiO}_2/\text{Al}_2\text{O}_3$ is constantly equal to two.

Preparation of colloidal silica:--It is sufficient to neutralize a dilute solution of sodium silicate with dilute hydrochloric acid, and to dialyze the obtained salt by changing the water until the conductivity of pure water is attained.

Preparation of colloidal alumina:--This preparation is much more difficult. By the Graham method (precipitation of an aqueous solution of AlCl_3 with dilute ammonia, and redissolving the alumina in an excess of AlCl_3), all the alumina passed through the parchment by subsequent dialysis. The Muller method (43) (peptization of alumina with hydrochloric acid) did not give any better results; the aluminum chloride is very difficult to eliminate and the alumina partly passes through the parchment. Finally, the Kutzelnigg-Wagner (44), Miller (45) method was adopted. A plate of very pure aluminum is dipped into a two percent solution of cupric chloride in 95 percent ethyl alcohol. The plate becomes coated with copper, and after a few days is freed from the alcohol and dipped in distilled water. A short time later a couple is formed and the container fills with a milky-white hydrosol of alumina. The plate is removed and mechanically agitated in a beaker, the water of which is frequently changed. After checking (by measurement of the conductivity) that it did not transfer Cl^- ions to the liquid, it is replaced by pure water, and the agitation is maintained until maximum concentration. Using the plate as agitator gives better results than stirring the liquid and leaving the plate still. By maintaining this agitation for 15 days, a concentration of 0.305 g. $\text{Al}_2\text{O}_3/1$ is attained, which has not been possible to exceed. (The purity of alumina is verified by precipitating the salt and checking by spectrographic analysis that it does not contain any Cu).

Remark:--The alcogel of alumina dissolves very rapidly in water, giving a salt perfectly limpid and very rich in alumina; but the chloride elimination by dialysis proves to be impossible. (An attempt was made to obtain a pure alcogel by placing an aluminum plate covered with copper in 95 percent alcohol, but without any result).

Precipitation:--Five litres of silica and of colloidal alumina of such concentrations that the ratio $\text{SiO}_2/\text{Al}_2\text{O}_3$ in these very dilute solutions is equal to two, are blended by means of M. Jolibois (46) mixer. This method consists in pouring the two solutions drop by drop into a third container. A white, flocculent, and finely divided precipitate forms immediately. It is allowed to stand for three weeks in contact with the solution, the pH of which is 4.7; then it is drained and dried in the oven at 110°C .

Its X-ray diagram shows the lines of alumina, and its dehydration curve is that of a pure aluminum oxide obtained by electrolysis.

Anaylsis gives the composition: Al_2O_3 , 1.57 SiO_2 , 3.30 H_2O ; the ratio silica/alumina, smaller than that of the solutions, indicates the possibility that there is something other than a simple physical phenomenon involved in this flocculation.

(Fig. 4, p. 46, French original)

Upon repeating this experiment and allowing the precipitate to remain in contact with the solution for four months, identical results were obtained. The differential thermal analysis curve of this last product gives two large peaks, one related to the dehydration of the silica gel, the second to that of hydrargillite. S. Caillere and J. Hénin (8) got a similar curve in the study of a compound obtained by precipitation in the heated state of a solution of sodium aluminate and potassium silicate in the presence of HCl and NH₄OH, with the appearance, however, of a slight exothermic phenomenon at about 650°C.

Perhaps by allowing the precipitates to age much longer, could products related to kaolinite could be obtained in the cold state.

Conclusion

The result of this research is summarized as follows;

1. The micaceous clays which are components of the calcareous supra-gypseous blue marls [sample 223 to 207, 217] and the white marls of Entre-deux-masses [sample 151] of Cormeilles-en-Parisis, are related to the micaceous clays of the large bed of green plastic clay [sample 242], and those of the Lucina-bearing dolomitic marls [samples 108, 102, 101]. This is shown by the differential thermal analyses, the thermobalance curves, and the X-rays diagrams.

The characteristics of the first are clear and allow its identification with bravaisite, $4\text{SiO}_2, \text{Al}_2\text{O}_3, 2(\text{FeO}, \text{MgO}, \text{K}_2\text{O}, \text{Na}_2\text{O})$, $2\text{H}_2\text{O} + 2\text{H}_2\text{O}$, the dehydration of this clay occurring in two stages and showing a great similarity with that of halloysite.

The clays of the dolomitic marls have properties that are not less distinct and that classify^y these clays in the palygorskite family, of which they are pure samples.

Most of the other marls studied, whether from marine or lacustrine origin, also show characteristics of these two groups and the phyllite component may be classified in the vast category of bravaisites. Their liability to deterioration through chemical agents reveals the complex structure of these clays, at times considered as a combined illite-montmorillonite and even kaolinite-illite-montmorillonite structure, and leads to the assumption that the pH has had a predominant role in their formation.

This confirms the results of the X-ray research of Mr. Riviere, by showing that these clayey sediments must be related to bravaisites and palygorskites, but are not mixtures of both.

The presence of sepiolite in a sample of marls from Entre-deux-masses is an exception and brings to three the number of defined clays which compose the deposit.

2. The published dehydration curves for kaolinite, halloysite and montmorillonite, bravaisite, and attapulgite, show that the thermobalance method gives precise quantitative determinations and thus complete the data of the differential thermal analysis without having its sensitivity.

The thermobalance also enables the distinction of calcite from dolomite, and applied to the study of gypsum, it shows very distinctly the existence of semi-hydrate and of soluble anhydrite. It is also a rapid and sure means for the determination of gypsum.

3. Thanks to a fractionation method which has been perfected, the spectrographic analysis makes it possible to detect a great number of elements in clays.

Among the ones most frequently found are copper, glucinium, manganese, molybdenum, nickel, lead, vanadium, zirconium, lithium, silver, arsenic, barium, cobalt, chromium, tin and strontium. Gold, cadmium, gallium and zinc are more scarce. This partly explains the presence of minor elements in soils.

4. The quantities of these accessory elements are small, of the order of 0.03 percent for MnO, 0.05 percent for ZrO₂, 0.01 to 0.08 percent for V.

The blue coloration of clays is frequently due to some pyrite which can distinctly be identified by an exothermic peak at about 650° C in the differential thermal analysis.

5. The product obtained by simultaneous cold flocculation of very pure sols of silica and alumina does not show any characteristics of kaolinite.

6. Vanadium that is contained in some montmorillonites in a state which is readily soluble in water, would be responsible for the non-specific blue coloration which it gives with benzidine. The vanadium-benzidine reaction gives a coloring matter which is immediately fixed by clay as a sort of a lacquer.

CONTRIBUTION À L'ÉTUDE DE LA STRUCTURE PHYSICO-CHIMIQUE DES ARGILES,

PAR RENY HÉBERT,

INGÉNIEUR-DOCTEUR DE LA FACULTÉ DES SCIENCES DE L'UNIVERSITÉ DE PARIS.

(8 juin 1949.)

SOMMAIRE.

	Pages.		Pages.
INTRODUCTION.	3	II. Analyse spectrographique	30
Première partie : ÉTUDE DU GISEMENT DE CORMEILLES.		Préparation des réactifs.....	33
Ramassage et préparation des échantillons.	5	Mode d'obtention des spectres.....	34
Désignation des échantillons : Marnes...	5	Résultats	34
Gypses...	6	Analyse spectrographique des gypses.....	35
I. Détermination de la composition minéralogique des échantillons :		III. Dosages divers	35
A. Analyse chimique des échantillons bruts.	6	Deuxième partie : ÉTUDE DE DIVERS ÉCHANTILLONS.	
B. Réaction à la benzidine.....	10	Argiles de la région de Dahra (Est de Mostaganem). -- (Montmorillonites).....	39
C. Méthodes physiques :		Cendres de charbon.....	41
1. Analyse thermique différentielle	11	Échantillons provenant du gisement de soufre de Narbonne	41
2. Analyse thermogravimétrique	15	Échantillons provenant de fouilles en Asie	
3. Spectres de rayons X.....	20	Mineure.....	41
4. Méthode pectographique	21	Argiles de Rougé.....	41
D. Analyse chimique des argiles pures.....	21	Troisième partie : REMARQUES GÉNÉRALES.	
E. Analyse chimique fractionnée.....	23	Réaction à la benzidine.....	44
F. Étude des gypses de Cormeilles :		Floculation simultanée de solutions pures colloidales d'alumine et de silice.....	45
Analyse chimique	26	CONCLUSION	46
Analyse thermogravimétrique	27	Bibliographie	47
Déshydratation du gypse.....	28		

INTRODUCTION.

La colline de Cormeilles-en-Parisis montre l'une des plus belles coupes géologiques de la région parisienne; le front de taille de la carrière en exploitation, haut de 80 mètres, présente à découvert toute l'épaisseur du

ludien avec ses alternances de marnes et de gypses; au-dessus vient la succession des marnes supragypseuses, type saumâtre de l'étage sannoisien, série très complexe de couches saumâtres et lacustres alternées,

s'étageant des marnes bleues jusqu'au calcaire de Brie en passant par les marnes blanches de Pantin, brunes à cyrènes et vertes. Enfin, le tout est dominé par le Stampien, représenté par les sables de Fontainebleau et les marnes à huîtres.

En regardant de loin la suite de ces bancs sur lesquels M. SOYER (1) [1] a publié une étude géologique très détaillée, on ne peut qu'être frappé par les colorations diverses prises par les différentes couches de marnes; un examen plus minutieux permet de constater parfois des changements de nuances encore très nets dans l'épaisseur même de ces bancs, produits par d'autres petites couches intermédiaires n'ayant parfois pas plus d'un centimètre de haut mais toujours parfaitement tranchées et souvent homogènes.

Les échantillons que l'on en retire se présentent sous des aspects divers : marnes vertes finement litées se désagrégeant facilement dans l'eau, blanches à cassure conchoïdale mouchetées d'inclusions brunes, brunes finement feuilletées s'effritant en plaquettes sous la pression des doigts.

Les conditions si diverses qui avaient présidé à la formation de ces marnes expliquaient cette variété dont l'analyse chimique devait rendre compte, soit que la composition quantitative traduise des différences dans la structure intime des argiles de base, soit que l'analyse qualitative décèle la présence de minéraux accessoires englobés dans celles-ci.

Cette analyse chimique poussée faisait l'objet primitif de ce travail.

L'analyse quantitative étant parfois impuissante à déterminer la composition minéralogique de certaines marnes, si elle n'est secondée par des méthodes physiques, il a été fait ensuite largement usage de ces dernières qui permettent par comparaisons et recoulements des déterminations plus rigoureuses. C'est ainsi que M. RIVIÈRE avait déjà pu déceler aux rayons X des différences peu importantes mais nettes dans les diagrammes fournis par les gros bancs de Cormeilles. Cette étude physique nous a donné l'occasion de nous étendre et de préciser certaines propriétés physiques de différentes familles d'argiles.

L'analyse spectrographique était la méthode de choix capable de résoudre la deuxième partie de ce problème en signalant la présence d'éléments inhabituels; il est en effet bien connu que les argiles aux propriétés absorbantes remarquables retiennent quantité de corps : citons la pyrite, l'opale, le zircon, la strontiane, l'hémataïte, l'ilménite... décelés par simple examen minéralogique, ce qui laissait supposer l'existence de beaucoup d'autres contenus à l'état de traces, indécelables par les méthodes les plus fines chimiques ou pétrographiques. Cette méthode appliquée à l'analyse des échantillons

bruts ne donnant que des résultats médiocres, il était nécessaire de mettre au point des méthodes d'analyse plus détaillées adaptées soit aux gypses, soit aux marnes; cette dernière pouvant s'appliquer à tout échantillon de nature silicatée, il en a été fait usage dans l'examen d'échantillons divers qui nous ont été remis.

La présence de ces éléments rares dans les argiles pourrait peut être expliquer les colorations anormales qu'elles prennent parfois à la calcination ainsi que l'abondance des oligo-éléments dans les sols qui résultent de leur altération.

Enfin, des échantillons de nature argileuse et de provenances diverses ont été étudiés par les mêmes méthodes physiques et chimiques, ce qui permet de tirer à la fin quelques remarques générales.

Cette thèse est divisée en trois parties :

I. Étude du gisement de Cormeilles comprenant :

La détermination de la composition minéralogique des échantillons par l'analyse chimique des échantillons bruts, la réaction à la benzidine, les méthodes physiques (analyse thermique différentielle, analyse thermogravimétrique, spectres de rayons X, méthode pectographique), l'analyse chimique des argiles pures et leur analyse chimique fractionnée.

L'analyse spectrographique des marnes et des gypses.

II. Étude de divers échantillons argileux ou non.

III. Des remarques générales, un essai de synthèse des argiles par voie humide à froid et la conclusion.

Qu'il me soit permis avant de commencer l'exposé de ce travail d'exprimer ma très vive et respectueuse gratitude à celui qui en fut l'instigateur et ne ménagea jamais les conseils bienveillants et éclairés pour le mener à bien. Monsieur le Professeur Pierre JOLIBOIS, membre de l'Institut.

Ce m'est également un devoir agréable de remercier M. BOUILLE et M. NICOT, qui mirent à mon service avec la plus grande amabilité toute leur compétence, sans oublier non plus tous mes sympathiques camarades du Laboratoire de Chimie qui me déchargèrent souvent avec spontanéité d'une partie du travail et me simplifièrent ainsi singulièrement la tâche.

M. LAMBERT, administrateurs de la plâtrière de Cormeilles, m'ont facilité l'accès de la carrière; qu'ils veuillent bien accepter aussi tous mes remerciements et plus particulièrement M. CHASSEVENT qui m'a guidé et conseillé dans le ramassage des échantillons.

Monsieur l'Inspecteur général FRIEDEL, Directeur de l'École des Mines, m'a permis de travailler dans le Laboratoire de l'École et je suis heureux de lui témoigner ici toute ma reconnaissance.

[1] Les chiffres gras indiqués entre parenthèses dans le texte renvoient à la bibliographie.

Pour faciliter la compréhension de ce qui va suivre, rappelons que les principaux minéraux argileux ont été classés en quatre groupes :

de formules brutes usuelles :

I. Groupe kaolinique :

- a. Kaolinite..... $\text{Al}_2\text{O}_3 \cdot 2\text{SiO}_2 \cdot 2\text{H}_2\text{O}$.
- b. Halloysite..... $\text{Al}_2\text{O}_3 \cdot 2\text{SiO}_2 \cdot 2\text{H}_2\text{O} + 2\text{H}_2\text{O}$.
- c. Métahalloysite..... $\text{Al}_2\text{O}_3 \cdot 2\text{SiO}_2 \cdot 2\text{H}_2\text{O}$.

II. Groupe montmorillonitique :

- a. Pyrophyllite..... $\text{Al}_2\text{O}_3 \cdot 4\text{SiO}_2 \cdot \text{H}_2\text{O}$.
- b. Montmorillonite..... $(\text{Al}_2 \cdot \text{Mg}_3) \text{O}_3 \cdot 4\text{SiO}_2 \cdot \text{H}_2\text{O} + z\text{H}_2\text{O}$.
- c. Série { beidellite.
↑ ↓ montrouite.....

III. Argiles micaées :

- Illite..... $\text{K}_2\text{O} \cdot 6\text{SiO}_2 \cdot 3\text{Al}_2\text{O}_3 \cdot 2\text{H}_2\text{O}$.
- Potash clay, etc..... $(\text{Mg}, \text{Ca}) \cdot \text{Al}_2\text{Si}_3\text{O}_{10} \cdot n\text{H}_2\text{O}$.

IV. Argiles fibreuses :

- Sépiolites..... $3\text{SiO}_2 \cdot 2(\text{MgO}) \cdot 4\text{H}_2\text{O}$.
- ↑ ↓
Palygorskites

(P. MONIER et A. RIVIÈRE. *Contribution à l'étude des argiles utilisées en céramique.*)

PREMIÈRE PARTIE : ÉTUDE DU GISEMENT DE CORMEILLES.

Ramassage et préparation des échantillons.

Les couches sont parfois fort épaisses (marnes vertes 5, 25 m, marnes bleues 8,81 m); aussi, des quantités de l'ordre d'une vingtaine de kilos de matière ont-ils été ramassés en prenant des morceaux de la grosseur du poing à différentes hauteurs et tout le long du banc étudié. En concassant ensuite ces morceaux au laboratoire, les mélangeant en un tas dont une partie était broyée au mortier de porcelaine, prenant à nouveau une partie de la poudre obtenue et la pulvérisant jusqu'à passage intégral à travers le tamis 200, on pouvait espérer obtenir un échantillon dont la composition se rapprocherait de celle de la teneur moyenne du banc. Dans le cas de couches très homogènes et peu épaisses, quelques kilogrammes seulement suffisaient.

Désignation des échantillons

Les échantillons sont désignés suivant la numérotation adoptée par M. SOYER (1); celle-ci ne permet aucune équivoque et elle a l'avantage d'indiquer la position des échantillons les uns par rapport aux autres et par rapport à l'ensemble de la coupe, le n° 285 représentant la terre végétale et le n° 80 la

quatrième masse du gypse qui constitue le fond de la carrière.

Les échantillons suivants qui nous semblaient les plus caractéristiques du gisement ont été ramassés :

Marnes.

Marnes à huîtres.

- 269. Marnes argileuses panachées vertes et grises.
- 268. Marne argilo-sableuse.

Calcaire de Sannois.

- 262. Calcaire blanc grisâtre, en lits alternants cristallins et amorphes.
- 256. Marne argileuse grise, compacte.

Marnes vertes.

- 242. Marnes vertes compactes sans modules, non compris la partie inférieure de ce banc bleu-noirâtre dont il a été pris un échantillon particulier (242 bis).

Glaises à cyrènes.

- 241. Un échantillon d'un filet argileux pur.

Marnes blanches.

- 236 à 233. Marne blanche calcaire, compacte, légèrement verdâtre en deux bancs dits « La Blanche ».
- 232 et 230. Marne blanche dite « Marne Amérique ».

Marnes bleues.

223 à 207. Un échantillon moyen de toute la couche.
217. Un échantillon d'une couche bleu foncé finement litée particulièrement homogène.

Marnes d'Entre-deux-masses.

153. Marne argileuse verte, compacte, dite « La Savonneuse ».

152 à 151 bis. Marne gris clair, dure, compacte, gypseuse.

151 bis. Cette couche est partagée en deux zones l'une supérieure grise, l'autre inférieure beige, qui ont fourni chacune un échantillon.

151. Marne blanche, dure, compacte, mouchetures argileuses, vertes et roses, rognons de silex, à dendrites.

Deuxième masse du gypse.

122. Deux échantillons de cette marne compacte conchoïdale : l'un correspondant à la partie jaune de la base (122), l'autre à la partie grise du sommet (122 bis).

Marnes à lucines.

103. Marnes panachées, argileuses, très feuilletées surtout à la base, blanc verdâtre, bleutées et jaunâtres.

102. Marne bleuâtre compacte, noduleuse, cassure conchoïdale.

101. Marne jaune fibreuse des cristaux de gypse ont été laissés de côté).

*Gypes.**Marnes blanches.*

240. Gypse saccharoïde légèrement marneux, finement feuilleté, passant parfois à des marnes blanches, dit « Le Marabet ».

Marnes bleues.

206. Gypse saccharoïde blanchâtre, marneux à la base, assez dur, bien cristallisé.

Haute masse du gypse.

201-183. Constituant le banc tendre de la première masse du gypse. Gypse saccharoïde.

182-165. Constituant le banc dur de la première masse du gypse et situé immédiatement au-dessous du banc précédent : gypse saccharoïde.

Deuxième masse du gypse.

150-123. Constituée de gypse saccharoïde et de gypse Pied d'Alouette.

92-93-91. Trois couches bien caractéristiques de la troisième masse du gypse. Gypse Pied d'Alouette à cristaux opposés par la pointe.

Afin de connaître la composition des cristaux de gypse Pied d'Alouette purs, des cristaux de cette sorte de la couche 93 ont été triés à la main et débarrassés de toute trace argileuse par lavage à l'eau courante; ils constituent l'échantillon '3.

I. Détermination de la composition minéralogique des échantillons.**A. ANALYSE CHIMIQUE
DES ÉCHANTILLONS BRUTS.**

Il était nécessaire avant toute étude plus approfondie de connaître la composition globale des échantillons rapportés et d'essayer ensuite de déterminer la composition minéralogique de ceux-ci, certainement très variable d'une couche à l'autre pour un gisement de formation aussi diverse.

Il était déjà facile de remarquer à l'œil nu de fortes proportions de calcaire blanc, enrobant de faibles quantités d'argiles décelables à leur couleur verte ou brune, des fins cristaux de gypse inclus dans des marnes d'aspect assez divers par elles-mêmes, passant du jaune clair au noir-bleu le plus foncé. Les différences manifestées dans les propriétés plastiques de celles-ci étaient-elles dues à la présence en plus ou moins grande quantité de gypse ou de calcaire, ou bien, tout simplement, à la nature même de l'argile de base constituant ces marnes ?

Les analyses ont été conduites de la manière suivante :

— sur une même prise, dosage de la silice, de

la somme (alumine + oxyde de fer + oxyde de titane) de l'oxyde de fer, de la chaux et de la magnésie;

— sur une autre, des mêmes constituants mais de l'oxyde de titane à la place de l'oxyde de fer;

— sur d'autres, détermination des sulfates, alcalins, gaz carbonique et eau.

Fusion aux carbonates et insolubilisation de la silice.

On pèse exactement environ 0,5 g de silicate préalablement desséché à poids constant à 110° que l'on mèle intimement dans un creuset de platine à six fois son poids de carbonate de sodium sec, pulvérisé et parfaitement pur. Dans le cas de marnes difficilement attaquables, mélanger intimement au mortier que l'on rincera finalement avec du carbonate pur. Le mélange est tassé au fond du creuset, puis on couvre le tout d'une mince couche de carbonate de sodium pur. Le creuset étant couvert, on chauffe d'abord quelques instants au moyen d'un bœuf Méker avec une petite flamme, puis élève graduellement la température pour amener le mélange à la fusion. Il faut éviter pendant cette opération d'envelopper complètement le creuset avec la flamme, ce qui paralyse la circulation d'air à l'intérieur.

rieur de celui-ci, cet air étant nécessaire pour oxyder certains prélèvements qui peuvent se trouver dans le silicate. On chauffe au rouge pendant encore 10 minutes après la cessation de tout dégagement gazeux puis plonge brusquement le creuset encore rouge dans une capsule contenant un peu d'eau froide de manière à détacher le carbonate des parois. On place ensuite le creuset et le couvercle dans une capsule recouverte d'un verre de montre, reprend par de l'acide chlorhydrique demi-dilué et lave creuset et couvercle à l'eau chaude quand tout dégagement gazeux a cessé. On porte le creuset, lavé, au rouge et le tare. Si l'on présente des traces bleu noir dues à la présence de fer provenant de la réduction d'oxydes de fer par les gaz de la flamme et s'alliant au platine puis s'oxydant ensuite, on fait fondre quelques petits morceaux de bisulfate de potassium à l'intérieur, laisse refroidir, reprend par l'eau chaude et joint à la première solution.

On évapore une première fois à sec au bain-marie avec un excès d'acide chlorhydrique puis dessèche la capsule couverte à 110° C pendant au moins une heure jusqu'à départ complet de toute odeur acide; on reprend ensuite par HCl à 5 % lave une dizaine de fois la silice par décantation avec de l'eau bouillante additionnée d'un peu d'acide, puis avec de l'eau bouillante jusqu'à disparition de toute trace d'acide chlorhydrique, ce que l'on vérifiera par addition de nitrate d'argent à 1 goutte du filtrat. Le liquide filtré est évaporé à sec puis le résidu desséché une seconde fois à 110° C et repris par de l'acide étendu comme précédemment. La quantité de silice ainsi récupérée oscille entre 0,5 et 3 % suivant la nature du silicate; cette silice secondaire retient énergiquement du fer (2).

Silice. On introduit les deux filtres séchés sommairement dans un creuset de platine, chauffe doucement d'abord, puis calcine très fortement. Si la silice était trop desséchée, des pertes seraient à craindre par entraînement de particules légères par la flamme provenant de la combustion trop rapide du papier séché. Il est bon de vérifier la pureté de cette silice en ajoutant au contenu du creuset quelques gouttes d'acide sulfurique demi-dilué (destiné à empêcher la volatilisation des oxydes métalliques à l'état de fluorures) et de l'acide fluorhydrique. On chauffe au bain de sable jusqu'à disparition de toute fumée blanche, puis calcine et tare à nouveau. On obtient par différence la silice éliminée à l'état de tétrafluorure de silicium volatile; une surcharge indique que cette silice retenait des oxydes métalliques que l'on récupérera par fusion au bisulfate de potassium et joindra au filtrat. (On peut pour faire cette opération utiliser le creuset provenant de la fusion, lavé, calciné et taré, et récupérer ainsi les oxydes par une seule fusion.)

Précipitation de l'alumine, de l'oxyde de fer et du

titane. On ajoute au filtrat, dont le volume doit se monter à environ 400 cm³, 20 cm³ de solution de chlorure d'ammonium à 100 g par litre, quelques gouttes de bleu de bromo-thymol et de l'ammoniaque diluée de moitié, goutte à goutte, jusqu'à virage de l'indicateur à teinte verte intermédiaire entre le jaune et le bleu. On fait bouillir lentement pendant 2 à 3 minutes, laisse décanter, filtre et lave une fois. Précipité et filtre sont placés dans un Bécher, de l'acide chlorhydrique demi-dilué bouillant est ajouté jusqu'à totale dissolution du précipité et la liqueur est étendue jusqu'à 200 cm³ après élimination du papier filtre que l'on ne jette qu'une fois lavé à fond. On précipite l'alumine, les oxydes de fer et de titane dans cette solution comme précédemment. La forte proportion de chlorure de sodium retenu par le précipité gélatineux parfois important, rend cette opération absolument indispensable; on filtre et lave avec une solution étendue de nitrate d'ammonium jusqu'à élimination de toute trace de chlorure. On séche le filtre et calcine longtemps en creuset de porcelaine jusqu'à poids constant. L'alumine retenant de l'eau avec une grande énergie. Le poids obtenu donne la somme : Al₂O₃ + Fe₂O₃ + TiO₂.

Oxyde de fer. On introduit le précipité calciné dans un ballon à large ouverture, ajoute 20 cm³ de SO₄H₂ concentré et chauffe au bain de sable jusqu'à complète dissolution. Le fer est ensuite titré dans cette solution par la méthode de Campredon (réduction par le zinc et titration au permanganate).

Oxyde de titane. On dissout le précipité d'oxydes, provenant d'une autre prise dans le bisulfate de potassium liquide. Après refroidissement, le culot est dissous dans l'acide sulfurique à 10 %. La solution concentrée est placée dans une fiole de 200 cm³ additionnée de 1 cm³ d'eau oxygénée puis amenée au trait de repère par de l'eau distillée. Une coloration jaune ne tarde pas à se développer; au bout de 10 minutes, elle a atteint son plein développement et il est possible de faire les mesures colorimétriques.

L'appareil utilisé est l'électrophotomètre de P. MUNSTER, construit par A. JONIX et G. YVON, dont on connaît le principe : un faisceau de lumière monochromatique se partage en deux: une partie, après traversée d'une cuve à faces parallèles contenant le liquide à étudier et d'un système de coins absorbants, équivalent à une lame à faces parallèles d'épaisseur variable, tombe sur une cellule photoélectrique à sélénium; l'autre, sur une autre cellule montée en opposition par rapport à la première. L'appareil étant réglé de telle sorte que la déviation du galvanomètre soit nulle quand le faisceau traverse le solvant, on introduit dans la cuve des solutions de titre connu en titane, de concentrations variables, colorées par de l'eau oxygénée, et ramène le spot du galvanomètre au zéro en agissant

sur le tambour commandant le système de coins. La courbe d'étalonnage est construite en portant en abscisses les divisions du tambour et en ordonnées les concentrations. On obtient la plus grande sensibilité en interposant un écran coloré donnant la radiation de longueur d'onde $0,47 \mu$. La courbe obtenue est une droite. La solution étalon est préparée par attaque d'oxyde de titane par le bisulfate de potassium, reprise par l'acide sulfurique dilué chaud et filtration. On en détermine le titre en précipitant à l'ébullition par l'ammoniaque le bioxyde de titane contenu dans une prise donnée, le séchant, le calcinant longtemps en creuset de platine au bec Meker et le pesant à l'état de TiO_2 .

Nous avons vérifié que la coloration due au sulfate ferrique est négligeable, du moins, dans le cas des marnes de Cormeilles étudiées ici qui n'en contenaient pas plus de 7 %. Dans le cas contraire, l'addition de quelques gouttes d'acide phosphorique concentré masque immédiatement cette coloration sans apporter la moindre perturbation (3).

Alumine. Déterminée par différence entre la somme des oxydes métalliques et la somme de TiO_2 et Fe_2O_3 déterminés séparément.

Chaux. On ajoute 4 cm³ d'acide acétique au filtrat provenant de la précipitation ammoniaque et fait bouillir; l'odeur de la vapeur doit être franchement acétique. On fait bouillir également 50 cm³ d'oxalate d'ammonium à 4 % et les verse d'un seul coup dans l'autre liqueur bouillante retirée du feu. On agite une minute, remet sur le feu 10 minutes, toujours en agitant, laisse décanter 5 minutes, filtre chaud sur entonnoir calibré par décantation. On lave énergiquement et plusieurs fois le précipité resté dans le fond du bêcher à l'eau froide puis le verse sur le filtre et le lave encore une ou deux fois. Filtre et précipité sont introduits dans un bêcher contenant 200 cm³ d'eau; on porte à ébullition après addition de 10 cm³ d'acide sulfurique concentré et titre immédiatement au permanganate N 5 jusqu'à coloration rose persistante.

Magnésie. Après addition de 50 cm³ de solution saturée de phosphate disodique, le filtrat est porté à ébullition. On arrête alors le chauffage et verse goutte à goutte en agitant de l'ammoniaque concentrée jusqu'à virage très net à un bleu très accusé du bleu de bromothymol. Après un repos de 12 heures, on filtre la solution, lave le précipité de phosphate ammoniaque magnésien à l'eau ammoniaque à 3 %, le séche et le calcine fortement en creuset de platine.

Sulfates.

On attaque comme précédemment 0,5 g de substance par le carbonate de sodium et après précipitation des oxydes de fer, d'alumine et de titane, acidification du

filtrat par 1 cm³ d'acide chlorhydrique concentré et ébullition, on précipite les sulfates par addition de 100 cm³ d'une solution bouillante de chlorure de baryum N/10 versés d'un seul coup. On agite sur la flamme pendant cinq minutes, laisse reposer, lave par décantation à l'eau bouillante, entraîne sur le filtre et continue de laver à l'eau bouillante jusqu'à disparition de toute trace de chlorure. Après séjour à l'étuve, le précipité est calciné au Bunsen en creuset de porcelaine et pesé.

Alcalins.

Par la méthode de Lawrence-Smith. On mélange intimement dans un creuset d'agate 0,5 g de substance avec autant de chlorure d'ammonium sublimé, ajoute 3 g de carbonate de calcium dont la pureté aura été vérifiée et introduit le mélange dans un creuset en forme de doigt de gant de Lawrence-Smith en platine; le creuset est rincé avec 1 g de carbonate de calcium. On introduit le creuset muni de son couvercle dans une position oblique dans l'ouverture d'un cylindre en tôle; les 3/4 de la longueur du tube peuvent ainsi pénétrer à l'intérieur et sont chauffés tout doucement d'abord sur bec papillon. Quand tout dégagement d'ammoniac a cessé, on chauffe progressivement jusqu'au rouge que l'on maintient trois quarts d'heure. Après refroidissement, on fait digérer avec de l'eau bouillante le contenu du creuset, porte à ébullition cinq minutes et filtre. Le résidu doit se dissoudre dans l'acide chlorhydrique sans laisser de minerai non décomposé; le contraire signifierait que l'attaque a été incomplète.

On traite le filtrat par l'ammoniaque et le carbonate d'ammonium, chauffe et filtre. Le précipité est redissois dans l'acide chlorhydrique et précipité à nouveau par l'ammoniaque et le carbonate d'ammonium. On évapore à siccité les liqueurs filtrés réunies, chauffe avec soin à feu nu en capsule de platine pour chasser les sels ammoniaqués. Le résidu est dissous dans un peu d'eau et les dernières traces de calcium précipitées par l'oxalate d'ammonium et l'ammoniaque. On filtre et recueille le filtrat dans un creuset de platine taré, l'ajoute d'une goutte d'acide chlorhydrique, de manière à transformer en chlorures les carbonates qui auraient pu se former, évapore à sec au bain de sable, calcine légèrement en portant au rouge et tarie à nouveau. On obtient ainsi la somme des chlorures.

Les chlorures sont dissous dans l'eau chaude et la solution obtenue versée dans une capsule de verre Pyrex de 100 cm³ qui a été tarée après séjour à l'étuve à 110 °C. On ajoute 10 cm³ d'acide perchlorique à 16 % et met au bain de sable, évapore jusqu'à siccité sans que les cristaux formés soient blancs; 15 cm³ de la solution suivante (100 cm³ alcool à 95 % quelques gouttes d'acide perchlorique concentré) sont ensuite

sujoutés au contenu refroidi de la capsule et laissés en contact 10 minutes. On écrase les aiguilles cristallines au moyen d'un agitateur plat à bout et filtre sur un petit entonnoir en prenant bien soin de ne pas entraîner de cristal. L'opération est renouvelée avec 15 cm³ d'alcool perchlorique et on lave avec 10 cm³ d'alcool non perchlorique en dernier. On redissout le précipité contenu sur le filtre dans l'eau bouillante et reçoit le filtrat dans la capsule contenant la majeure partie du précipité. On ajoute quelques gouttes d'acide perchlorique concentré, évapore au bain de sable avec ménagement, met le produit sec à l'étuve puis tare quand il n'y a plus de dégagement de vapeurs blanches. Le poids de perchlorate de potassium déterminé permet de connaître la teneur en potasse d'où celle en soude par différence.

Gaz carbonique.

On le détermine en opérant dans le calcimètre de GEISSLER; le CO₂ est chassé des carbonates par de l'acide chlorhydrique demi-dilué et on le dose par différence. L'appareil contenant l'acide est taré, taré à nouveau après introduction de la substance; on soulève le pointeau libérant l'acide qui tombe sur le minéral,

le gaz carbonique se dégage et est expulsé à l'air après passage dans un tube à boules contenant de l'acide sulfurique qui en retient l'humidité. (S'il se forme lors de l'attaque des grumeaux qui interdisent toute pénétration de l'acide, introduire un peu d'eau dans l'appareil avant de verser celui-ci et former en agitant une bouillie avec l'argile déjà contenue à l'intérieur; tarer à nouveau ensuite.) On augmente la précision de la mesure en faisant barboter dans l'appareil un courant d'air sec, qui chasse la totalité du CO₂. La différence de poids donne ensuite le poids de CO₂ dégagé.

Teneur en eau.

Par différence entre la perte au feu (calcination de la substance au rouge en creuset de Pt) et la teneur en CO₂. Les marnes contiennent souvent des matières organiques, le fer qui y est contenu, parfois à l'état ferreux, peut s'oxyder lors de la calcination; toutes causes d'erreurs qui rendent cette teneur en eau tout ce qu'il y a de plus approximative.

Avant d'être analysés, les échantillons ont été séchés une nuit à l'étuve à 105° C en négligeant la perte d'eau due à la déshydratation du gypse qui s'y trouve du reste en quantités relativement faibles.

ÉCHANTILLONS.	262.	242.	236 à 233.	232 à 230.	223 à 207.	217.	153.	152 a 151 (bis).	151 bis.	151.	108.	191.
H ₂ O %.	2,50	6,99	2,33	2,56	6,60	4,13	5,78	11,06	6,27	3,20	7,74	6,34
CO ₂	28,27	3,99	34,14	31,27	12,30	25,00	24,10	17,74	12,68	31,98	7,74	32,21
SO ₃ .		0,15	0,01	0,00	5,00	1,61	2,23	18,70	21,50	0,00	0,00	0,10
CaO.	35,90	8,59	45,47	41,68	19,20	34,35	32,56	36,38	31,55	42,31	6,27	23,80
SiO ₃ .	30,10	51,45	10,26	14,78	36,58	20,00	23,39	11,35	17,66	14,67	52,66	16,66
Al ₂ O ₃ .	0,92	16,16	4,60	3,76	13,53	7,95	7,02	3,02	4,36	1,11	12,40	3,64
Fé ₂ O ₃ .	2,21	5,77	1,55	3,36	2,10	2,05	2,56	1,62	1,13	2,16	2,91	1,41
TiO ₂ .		0,71	10	0,10	0,45	0,20	0,30		0,30		0,29	0,12
MgO.	0,0	1,56	1,62	2,51	Traces.	0,20	2,30	Traces.	4,31	4,80	9,51	16,04
K ₂ O.		3,54			3,07	3,80	0,80				0,16	
Na ₂ O.		0,80			0,75	0 0	0,20					

SO ₄ Ca. + H ₂ O.		0,3	0,02	-	10,8	3,4	4,8	40,4	46,4			
CO ₃ Ca.	64,2	9,1	77,5	71,0	28	56,7	54,7	40,2	28,8	72,6		8,7
CO ₃ Ca. + CO ₃ Mg.											15,6	59,8
Quartz et argile.	35,8	90,6	22,5	29,6	61,2	40	40,5	19,5	24,8	27,4	84,4	31,5

Les résultats de ces analyses sont groupés dans le tableau de la page 9. Les % en CO_3Ca et SO_4Ca , $2\text{H}_2\text{O}$ ont été calculés, respectivement à partir des teneurs en CO_2 et SO_3 , la somme quartz + argile étant déterminée par différence.

On voit que les quantités de gypse et de calcaire associées aux argiles sont très variables. Les proportions du calcaire sont élevées et il paraît plus légitime de parler de calcaires argileux plutôt que de marnes, du moins dans certains cas.

Il serait difficile d'essayer de tirer des conclusions sur la nature chimique des argiles en se fondant sur les rapports moléculaires $\text{SiO}_2/\text{Al}_2\text{O}_3$, $\text{H}_2\text{O}/\text{Al}_2\text{O}_3$, ceux-ci étant assez imprécis quand les quantités de calcaire et de gypse adjacents prédominent et les erreurs devenant fortes pour des % d'alumine ou de magnésie peu élevés. De plus, la silice totale dosée ainsi comprenait la silice combinée mais également de la silice libre comme des analyses ultérieures n'allaien pas tarder à le montrer.

Pourtant, on remarque tout de suite quelques analogies nous autorisant à supposer que certains échantillons possèdent une partie phylliteuse commune :

Ces caractères sont les suivants :

Présence d'une forte teneur en alumine, en oxyde de titane et en alcalins dans :

242, 223 à 207, 217, 153.

Forte teneur en magnésie dans :

151 bis, 151 et 108.

Ceci nous a incité alors à préparer des échantillons de ces argiles, pures cette fois-ci, en les débarrassant de toute trace de carbonate de calcium ou de gypse.

La décarbonatation est facile : il suffit de traiter simplement la marne par de l'acide chlorhydrique dilué. Ne risque-t-on pas ainsi d'attaquer en partie l'argile et de modifier la composition du résidu ? pour vérifier ceci, certains échantillons ont été traités de cette manière et le filtrat analysé ; on retrouve dans celui correspondant à 241 toute la chaux liée au gaz carbonique. Il n'en a pas été de même pour 108 :

Attaque par HCl à 5 %	Fe_2O_3 %	0.34
	CaO %	5,39
	MgO %	3,42

en attaquant par de l'acide à 2 % on ne retrouve plus dans le filtrat l'oxyde de fer qui était probablement dû à la dissolution d'un peu de limonite, mais la teneur en magnésie reste la même et celle de la chaux également, à peu de choses près.

CaO 5,01 % (0,089)

MgO 3,42 % (0,085) CO_2 7,74 % (0,175).

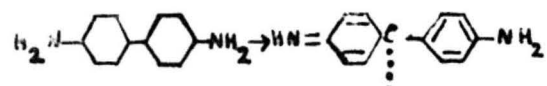
On constate que le coefficient moléculaire du gaz carbonique est égal à la somme des coefficients molé-

culaires de la chaux et de la magnésie, et qu'ainsi toute la magnésie du filtrat est due à la présence de dolomie. On peut dire que l'argile n'est pas attaquée, si l'on ne tient pas compte de la légère perte de chaux. On a trouvé de la même manière que 151 et 151 bis ne contenaient que du calcaire et 101, à la fois, du calcaire et de la dolomie.

Ceci confirmait les différences déjà constatées, car il est probable, que dans les marnes, la présence du magnésium entraîne la substitution de silicates aluminomagnésiens hydratés aux silicates d'alumine hydratés.

B. RÉACTION A LA BENZIDINE.

HENDRICKS remarqua qu'en agitant de la montmorillonite dans une solution aqueuse de benzidine, l'argile prenait une coloration bleue intense qui serait due à l'oxydation de la benzidine en sa forme semi-quinonique :



ENDELL et HOFMANN (4), reprenant cette réaction sur différentes espèces de minéraux, constatèrent que cette réaction n'était pas spécifique, des argiles telles que la kaolinite donnant une coloration bleu pâle et certaines montmorillonites par contre ne donnant qu'une faible coloration bleutée. Ils ne tirèrent aucune conclusion sur la cause de cette réaction : l'argile se colore en bleu alors que la solution reste incolore et il semble donc que seule la benzidine absorbée s'oxyde en semi-quinone colorée, à moins que ce ne soit la matière colorée semi-quinonique qui ne soit absorbée quantitativement. Les sels ferriques colorent la benzidine en bleu et l'on pourrait penser que les ions Fe liés à l'argile sont capables de réagir et sont les causes de cette coloration ; mais des minéraux qui en contiennent de grandes quantités ne donnent pas la réaction.

D'autres essais systématiques (5) effectués sur de nombreuses variétés de montmorillonites montrèrent que celles renfermant de l'aluminium ne donnaient pas ou ne donnaient que faiblement la réaction à la benzidine, celles magnésienne la donnent ainsi que des bentonites Ca ou Na et qu'en définitive la réaction avait lieu dans la pulpart des cas.

Il semblait intéressant d'effectuer cet essai très rapide sur les marnes de Cormeilles et de voir si les résultats étaient identiques pour toutes ou si, au contraire, certaines divergences se manifestaient marquant ainsi des différences de nature qui devraient être expliquées par la suite.

Le mode opératoire est le suivant : 1 g d'argile est placé dans une capsule de porcelaine. Après addition d'eau oxygénée à 3 %, on évapore à sec au bain-marie, de manière à détruire les matières organiques. (Ne jamais dépasser 100° C.) On agite ensuite le résidu sec dans un tube à essais avec 5 cm³ d'une solution saturée à froid de benzidine et laisse reposer quelques heures.

Désignation de l'échantillon.	Coloration observée.
262	Vert pâle.
242	Bleu indigo.
241	Verte tirant sur le bleu.
240	Faible coloration bleutée.
236 à 233	Bleu pâle.
232 à 230	Bleu pâle.
233 à 207	Bleu foncé violette même par endroits).
217	Bleu pâle.
153	Bleu pâle.
151 bis	Bleu pâle.
151	Vert très net.
122 (partie supérieure de la couche).	Bleu pâle.
122 (partie inférieure).	Bleu pâle.
108	Vert très net.
102	Pas de coloration.
101	Vert foncé.

Tous les échantillons donnent une coloration même 240 ce qui permet d'y déceler la présence d'un peu de marne enrobée dans beaucoup de gypse, un échantillon de gypse pur tel que 240 ne donnant aucune réaction.

On peut expliquer la plus ou moins grande intensité de la coloration par la teneur plus ou moins forte en calcaire, quoique la coloration donnée par 242 tirant sur le violet et se rapprochant de celle fournie par une montmorillonite pure soit fort éloignée du bleu plus pâle donnée par les autres essais et ne semble pas devoir être imputée à une différence de concentration. Le fait remarquable consiste en la couleur verte très accusée prise par les échantillons 101, 108 et 151, se différenciant encore ainsi de tous les autres, plus ou moins teintés de bleu. Notons que toutes les marnes grises, bleues ou vertes au naturel donnent une coloration bleue et que presque toutes les beiges donnent une coloration verte.

C. MÉTHODES PHYSIQUES.

1. Analyse thermique différentielle.

Description de l'appareillage. — La substance est tassée dans un creuset de platine muni d'un couvercle qui évite les projections éventuelles lors du chauffage des argiles très hydratées; une des branches d'un couple différentiel Pt-Ir plonge, protégée par une gaine de silice, au milieu de la masse tandis que l'autre branche se trouve dans un creuset de platine garni d'alumine calcinée servant de substance de référence;

un couple thermoélectrique est situé dans un troisième creuset garni également d'alumine, tandis qu'un quatrième placé côté à côté, plein également, remplit l'espace laissé libre et régularise la température; les quatre creusets maintenus les uns contre les autres sont contenus dans un autre plus grand en platine également, isolé par un manchon d'alumine d'une nacelle en porcelaine placée au milieu d'un four électrique. L'enregistrement des températures et différences de températures se fait directement sur la plaque, sans aucun système d'entrainement grâce au dispositif de le CHATELIER et SALADIN. Le four électrique, parcouru par un courant de 10 ampères, permet d'atteindre 1.000° C en 1 heure, la montée de la température ne suivant pas une loi linéaire comme on le voit sur les courbes reproduites.

Les conditions expérimentales étaient naturellement les mêmes pour tous les échantillons et nous avons constaté que les courbes successives du même échantillon étaient en tous points identiques et que les maxima et les minima présentés par les mêmes crochets se reproduisaient exactement à la même température; ceci permet une caractérisation plus précise de certains d'entre eux dont il est difficile de définir autrement le début et la fin qui s'étalent sur plusieurs centaines de degrés.

110 200 275 350 415 480 540 600 655 710 770 822 875 930 980

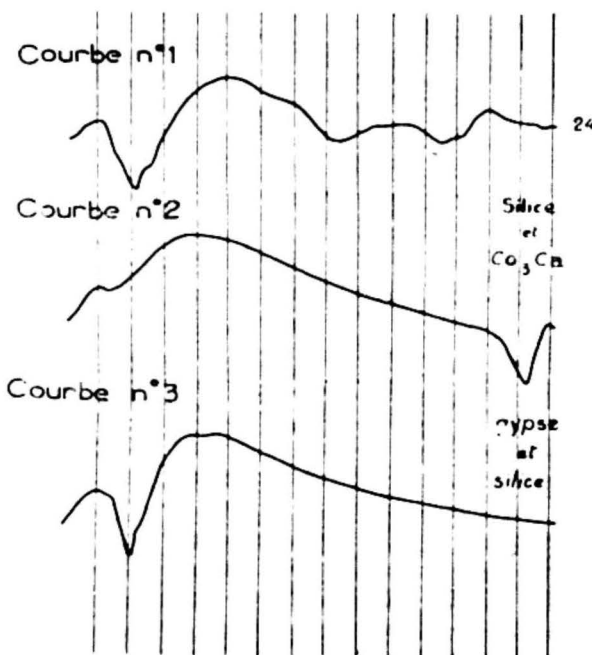


Fig. 1 (1).

Premiers essais. — Comme on le voit sur la figure, l'interprétation des courbes effectuées sur un échantillon brut tel que 242 (courbe n° 1) n'est pas aisée et il est difficile d'en tirer des conclusions; en effet,

(1) Courbe n° 1. Au lieu de : 24, lire : 242.

les phénomènes de déshydratation ou autres des argiles interfèrent avec d'autres très marqués, tels que déshydratation du gypse, décarbonatation du carbonate de calcium et de la dolomie, action de la silice sur le carbonate de calcium (courbe n° 2). Il faut se débarrasser à tout prix du gypse; comme le montre la courbe n° 3, il donne entre 110 et 350° C un crochet endothermique très important qui masquera les premiers crochets de déshydratation de certaines argiles dont la présence serait possible. (Remarquer le petit dédoublement du premier crochet du vraisemblablement à la formation transitoire de semi-hydrate; en faisant la courbe d'un mélange du même produit et de silice on n'observe pas d'anomalies dues à la présence de cette dernière.)

Ces constatations ainsi que celles faites lors de l'analyse chimique et de la réaction à la benzidine nous conduisirent à préparer des échantillons d'argiles pures dont il serait facile d'étudier les propriétés sans crainte d'être troublés par des anomalies apportées par des minéraux parasites.

Préparation d'échantillons d'argiles pures. — Il était simple de se débarrasser du carbonate de calcium: 100 grammes de l'échantillon brut broyé sont placés dans une conserve de 10 litres; on ajoute de l'acide chlorhydrique à 1 % jusqu'à ce qu'il n'y ait plus effervescence, la liqueur étant éliminée par siphonnage après décantation. Puis l'acide est remplacé par de l'eau et la suspension est lavée plusieurs fois jusqu'à totale élimination du chlorure de calcium. Dès le premier lavage, on ne conserve que les portions les plus fines se maintenant en suspension quelques minutes et rejette les autres contenant la majeure partie du gypse et du quartz.

Il n'en est pas de même du gypse: sa solubilité étant assez faible, il fallait utiliser de grandes quantités d'eau pour arriver à l'éliminer péniblement; nous opérions ainsi au début, maintenant l'agitation de la suspension eau-argile pendant 12 heures, puis laissant reposer quelques heures et éliminant le liquide clair surrigeant. Même en n'opérant que sur les portions se déposant au bout d'un certain temps plus pauvres en gypse dont les grains sont assez lourds que celles à sédimentation rapide, il était nécessaires de renouveler ce cycle de nombreuses fois, les opérations devenant de plus en plus longues au fur et à mesure que le gypse s'éliminait et que les suspensions devenant plus stables nécessitaient un plus long temps de décantation. L'emploi prolongé d'acide chlorhydrique à 1 % dans lequel le gypse est plus soluble n'était pas recommandable, une solubilisation partielle du fer pouvant avoir lieu par contact prolongé. Il nous a paru plus simple, au bout de quelque temps, d'utiliser la réaction de double conversion du gypse au contact de solution concentrée de carbonate d'ammonium: cette réac-

tion est d'autant plus rapide que la finesse de grain du gypse est plus grande, la concentration du carbonate plus forte et l'agitation plus énergique (6).

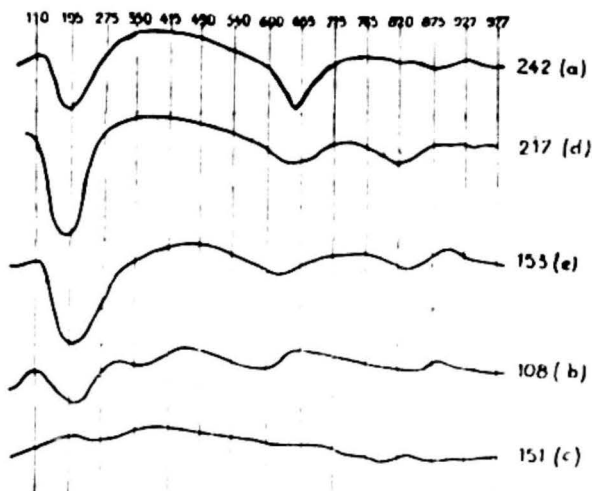
En opérant sur 100 g de matière passés au tamis 300, décarbonatés et mis en suspension dans 10 litres de carbonate de NH_4 à 10 % et maintenant l'agitation 5 heures, on aboutit à une élimination presque totale de l'ion SO_4^{2-} comme nous l'avons constaté par analyse chimique; elle est pratiquement totale si l'on renouvelle cette opération. Un lavage à l'acide chlorhydrique à 1 % élimine le carbonate qui aurait pu se fixer sur l'argile puis l'on multiplie les lavages à l'eau jusqu'à obtenir une suspension à peu près stable. La moitié supérieure environ de la conserve est essorée sur Büchner tandis que le restant contenant la plus grosse proportion de quartz est rejetée; l'addition d'un peu de solution de nitrate d'ammonium est parfois nécessaire dans le cas de suspensions trop stables. Il n'y a plus ensuite qu'à essorer encore une fois sur Büchner, laisser sécher à l'air, briser le gâteau, parfois très dur qui se forme par dessication au mortier et mettre en tube après broyage.

Nous avons préparé de la sorte la plupart des argiles correspondant aux marnes ramassées et avons soumis immédiatement ces échantillons à l'analyse thermique différentielle.

Résultats.

Tous les échantillons ramassés et traités ont été soumis à l'analyse thermique, après séchage à l'air libre; des caractères communs permettent de les classer en cinq groupes dont trois groupes principaux représentés par les échantillons :

- a. 242;
- b. 108;
- c. 151 qui donnent les courbes les plus typiques.
(Planche I.)



Planchette I

a. 242 est caractérisé par : deux grands crochets endothermiques, le premier situé entre 115 et 415° C, passant par un minimum à 195° C, le second vers 650° C; un très faible endothermique à 820° C, et un autre plus accentué à 880° C; un crochet exothermique à 930° C.

Les grands crochets ne peuvent être attribués qu'au départ d'eau se manifestant en deux étapes; pour voir si le premier crochet n'était pas dû à une très forte proportion d'eau d'humidité, nous avons laissé exposé à l'air libre un échantillon très finement pulvérisé et disposé en couche très mince; après six mois de séchage le produit donnait une courbe identique.

b. 108. Un grand crochet endothermique à 195° C, correspondant à un départ d'eau hygroscopique suivi d'un second à 320° C; un autre crochet endothermique important de 470 à 700° C passant par un minimum vers 600° C; faible crochet endothermique vers 875° C suivi d'un faible exothermique à 880° C.

On ne peut confondre le grand crochet central assez aplati avec celui donné par a, plus accentué et s'accentuant vers 600° C alors qu'à cette température il passe par un minimum peu marqué.

Cette courbe a l'allure de celles publiées dans la littérature se rapportant aux argiles de la famille palygorskite-attapulgite. Elle est identique en tous points à celle de l'attapulgite typique d'Attapulgus, publiée par S. HÉNIN et J. DUPUIS (7).

c. 151. Celle-ci présente des accidents beaucoup moins nets; ayant constaté la présence d'un fort crochet endothermique dû à un départ d'eau hygroscopique, on peut observer plus facilement les autres crochets moins marqués en faisant l'analyse thermique du même produit séché à l'étuve à 105° C : départ d'eau entre 192 et 350° C, faible endothermique entre 550 et 600° C, crochet endothermique plus marqué de 655 à 810° C avec maximum à 790° C, léger crochet exothermique à 822° C.

L'allure rappelle de loin celle d'une sépiolite.

A ces deux groupes viennent s'en adjoindre deux autres :

d. 223 à 207,
217.

Courbe analogue à celle de a, quoique le grand crochet endothermique à 650° C soit beaucoup plus arrondi; mais, disparition totale du faible crochet endothermique à 880° C et surtout renforcement considérable du tout petit crochet endothermique à 820° C qui est remplacé par un autre très marqué débutant vers 765° C (ce crochet endothermique ne peut être attribué à la présence de matières organiques qui dégageraient de la chaleur en brûlant). Faible crochet endothermique à 920° C.

(M. RIVIÈRE (13) a obtenu une courbe analogue pour un échantillon tiré des marnes bleues de Cormeilles.)

e. 236 à 233, 153, 151 bis (partie inférieure).

232 à 230 présentent à la fois les caractéristiques des groupes b et d; un changement de pente très net à 300° C traduit un second départ d'eau analogue à celui de b; la plupart des marnes de Cormeilles donnent des courbes de ce genre.

Fort crochet exothermique entre 875 et 927° C à maximum nettement décalé vers les hautes températures par rapport à celui de 108.

108 192 275 320 415 460 540 600 775 790 875 927 927

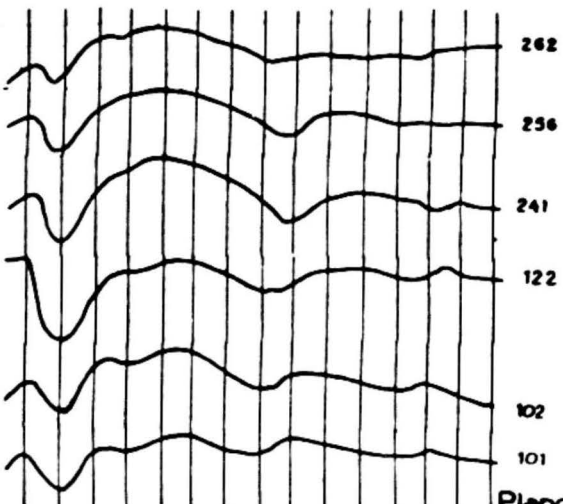


Planche II

Nous publions maintenant sur la planche II l'ensemble de toutes les courbes : à part quelques échantillons qui ont des courbes bien définies tels 101 et 102 (attapulgites), tous appartiennent au groupe e avec parfois des prédominances plus marquées pour le type attapulgite comme 262 que pour le type bravaisite (256 par exemple). Nous pensons qu'ils sont des types intermédiaires mal définis entre les deux extrêmes, bravaisite et attapulgite.

On retrouve un caractère commun spécial aux quatre échantillons 256, 151 bis (partie supérieure), 122 bis et 102, tous de coloration bleue et situés pour les trois derniers au-dessus de couches blanches qui donnent à l'analyse thermique la même courbe; c'est un petit crochet supplémentaire qui vient se superposer au grand crochet endothermique vers 640° C. Comme nous le verrons par la suite, 102 a la même composition chimique que 101 mais contient en plus de la pyrite, il n'y a nul doute que c'est la combustion de cette pyrite qui provoque cette particularité. Il faut attribuer aussi à cette même pyrite la coloration vert sombre très marquée de 262.

M^{me} CAILLÈRE et M. HENIN (8) s'étant demandé si l'analyse thermique différentielle pouvait être appliquée à la détermination de la nature des argiles des sols qui subissent lors de leur extraction des traitements capables de les altérer et de modifier leurs propriétés chimiques, montrèrent en étudiant les courbes d'échantillons types auxquels ils firent subir des traitements chimiques variés que ceux-ci peuvent modifier certains crochets et même en faire apparaître de nouveaux.

Il était légitime de se demander si le traitement à $\text{CO}_3(\text{NH}_4)_2$ à 5 % n'apportait pas de perturbations capables de fausser les déterminations.

Pour répondre à cette objection, nous avons préparé l'échantillon 242 très pur en épousant par l'eau distillée l'échantillon décarbonaté jusqu'à totale disparition du gypse; c'est ce même échantillon qui nous avait donné la courbe *a* planche I (courbe 1).

110 195 275 350 415 480 540 600 655 715 765 820 875 927 977

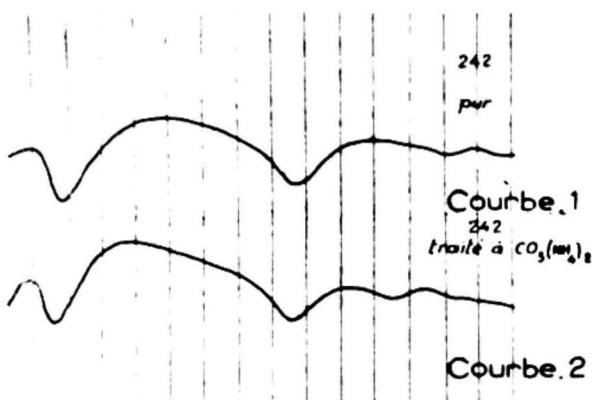


Fig. 2.

Après agitation en présence de carbonate de NH_4 à 5 %, filtration et traitement à HCl dilué, on obtient la même courbe mais le crochet endothermique vers 820°C est nettement renforcé (courbe 2); de plus, un changement de pente se manifeste entre 415° et 480°C et un crochet exothermique apparaît entre 820° et 875°C .

On aurait pu penser alors que le crochet du groupe *d* n'était, lui aussi, que le résultat de ce traitement mais un échantillon de 153 pur, préparé par épuisement à l'eau distillée, donna la même courbe avec le même crochet aussi marqué à 820°C que celui de l'échantillon traité.

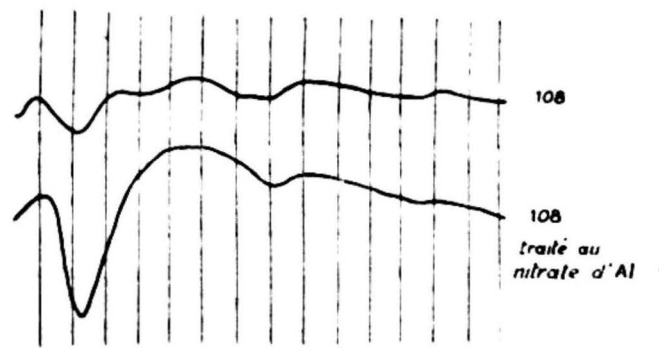
Par comparaison analogue de courbes, nous constatâmes que le traitement à $\text{CO}_3(\text{NH}_4)_2$ n'avait également aucune influence sur le comportement thermique de 108 et 151.

Analyse des échantillons artificiellement traités. — Certains réactifs chimiques modifient les propriétés des argiles ce qui se traduit sur les courbes d'analyse

thermiques par des anomalies; quoiqu'on ne puisse attribuer à un résultat négatif une valeur significative, l'intensité de l'effet produit dépendant de l'état du minéral au moment où on le soumet à l'action des agents chimiques, cette manière de procéder permet de lever des hésitations en cas de résultat positif.

C'est dans ce but que nous avons traité quelques échantillons au nitrate d'aluminium à 10 % à froid ou au carbonate d'ammonium à 5 %; il suffisait de maintenir l'argile quelques jours en suspension dans le réactif, de filtrer et de laver à l'eau (pas de traitement à HCl dilué ensuite). Les mêmes phénomènes déjà manifestés ont été retrouvés pour le carbonate d'ammonium.

Le nitrate d'aluminium n'a pas d'influence sur 242, même après un temps de contact de trois mois, et l'on ne remarque pas le dédoublement du crochet à 550°C observé sur une bravaisite par M^{me} CAILLÈRE et M. HENIN (8).



Échelle de température comme à la fig. 2.

Planche III

Par contre, il fait disparaître presque entièrement le crochet à 320°C de 108 comme cela a été constaté pour différentes attapulgites, accentue le crochet $470-700^\circ\text{C}$ et reste sans action sur le petit crochet exothermique à haute température (planche III).

Son action est très nette sur 153; il affaiblit le changement de courbure dû au crochet à 320°C , ce qui semble bien prouver que cet échantillon possède bien un caractère l'apparentant aux palygorskites et fait également totalement disparaître le crochet exothermique entre 875° et 927°C .

Le carbonate d'ammonium renforce encore le crochet endothermique à 820°C de 153; il a la même action sur le crochet $470-700^\circ\text{C}$ de 108 que le nitrate d'aluminium mais par contre n'a aucune influence sur le crochet à 320°C .

Le traitement de 151 par quatre ébullitions successives à l'acide sulfurique détruit les inflexions à l'exception du crochet exothermique qui est très

nettement renforcé; le même fait ayant été observé sur des sépiolites, nous pensons qu'il y a de bonnes chances pour que cet échantillon appartienne à cette catégorie.

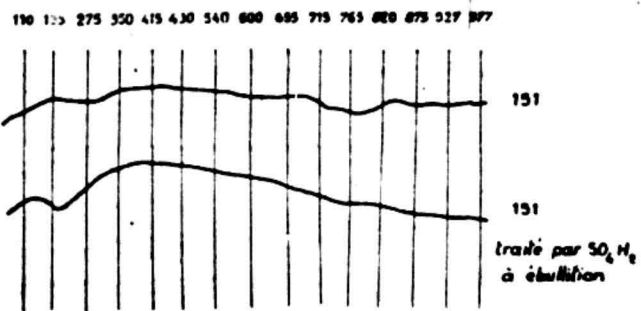


Fig. 3.

Conclusion.

Les courbes étudiées sont des courbes de minéraux s'apparentant très nettement aux bravaisites et palygorskites et à des minéraux qui semblent intermédiaires entre ces deux types. Remarquons que ceci semble être confirmé par la simple remarque que les échantillons intermédiaires examinés à vue sont de couleur gris verdâtre toujours incertaine alors que les extrêmes bien caractérisés sont franchement verts (bravaisite) ou franchement beiges (attapulgites). Nous pensons que l'échantillon 151 est constitué par de la sépiolite.

Nous n'avons pu obtenir des courbes analogues à celles des produits intermédiaires en mélangeant en différentes proportions à sec ou par voie humide par précipitation simultanée de suspensions colloïdales, les échantillons 242 et 108.

Des phénomènes très nets constatés sur certains échantillons peuvent être artificiellement renforcés, par un traitement au carbonate d'ammoniaque, sur d'autres, qui présentaient ces mêmes phénomènes à un moindre degré. Ceci peut laisser supposer que les conditions de pH qui ont présidé à la formation de ces marnes étaient différentes et ont conduit à plusieurs formes dérivant d'un même type.

2. Analyse Thermogravimétrique.

L'étude de la perte de poids d'un corps en fonction de la température donne de précieux renseignements; elle permet de déceler quantité de réactions d'oxydation, déshydratation, décarbonatation... Aussi, a-t-elle déjà été largement utilisée en minéralogie et s'applique-t-elle en particulier parfaitement bien au cas des argiles, minéraux constitués d'eau qui se déshydratent en donnant des pertes de poids appréciables. Ces courbes obtenues avec divers appareils dont le plus classique est la balance-laboratoire à enregistrement continu de M. GUICHARD fournissent des données très intéressantes

sur le mécanisme de déshydratation de ces corps et permettent par suite de caractériser ces derniers; elles complètent les connaissances acquises par l'examen des courbes d'analyse thermique différentielle puisque l'on peut savoir en procédant par comparaison si certains crochets correspondent à des réactions ou à des phénomènes s'accompagnant d'une perte de poids ou non; enfin, elles permettent les mesures quantitatives d'une manière rigoureuse.

Appareillage. La thermobalance de M. CHEVENARD entièrement automatique est l'instrument idéal pour ce genre de recherches; on sait qu'elle est constituée principalement d'un fléau mobile autour d'un axe muni d'un miroir sur lequel un pinceau lumineux vient se réfléchir et se projette ensuite sur un cylindre garni de papier photographique mobile autour de son axe d'un mouvement continu; ce fléau est en relations par l'intermédiaire de fils de tungstène avec une tige en silice qui supporte la nacelle de platine contenant la substance étudiée. Cette nacelle de platine est plongée dans un four électrique à cycle imposé et ses variations de poids sont reproduites immédiatement sur le papier. Le déroulement de ce papier fournit ensuite une courbe traduisant fidèlement les pertes de poids en fonction du temps c'est-à-dire de la température; si l'on a pris soin de déterminer quelle était la variation d'ordonnées pour une surcharge déterminée et de peser la substance que l'on introduit dans la nacelle, on peut en tirer des résultats quantitatifs précis par simple mesure de l'amplitude des crochets au double décimètre qui précisent encore mieux la nature des phénomènes enregistrés.

Étude des échantillons. Tous les échantillons d'un poids de 0,5 g à 1 g suivant l'importance de leur perte au feu sont portés de la température ordinaire à 1.000° C en l'espace de trois heures; les résultats ne sont donc valables que pour ces conditions opératoires; remarquons toutefois qu'avec cette augmentation relativement lente de la température, nous nous rapprochons assez des conditions naturelles et que les équilibres peuvent ainsi facilement s'établir pour des substances employées en faible quantité dont la surface d'échange avec l'air libre est assez grande, beaucoup mieux que dans le cas de l'analyse thermique différentielle à laquelle on peut reprocher une vitesse de chauffe très rapide, nécessaire à l'obtention de crochets marqués et l'emploi d'un creuset étroit dans lequel la substance est tassée ce qui ne facilite pas le départ de la vapeur d'eau dégagée. Les résultats ne seraient donc probablement que très peu modifiés pour des allures de chauffe différentes.

Résultats.

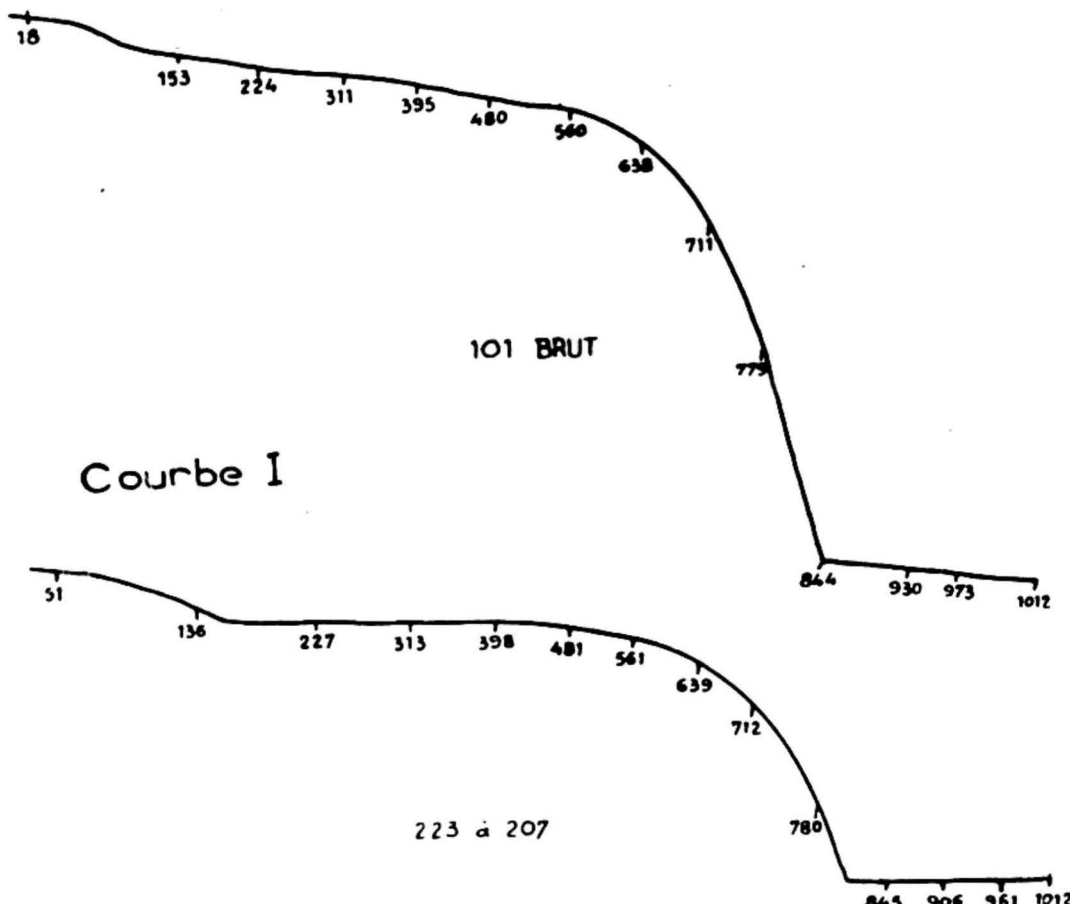
a. Échantillons bruts.

L'échantillon 223 à 207 accuse un départ d'eau à

partir de 51° C troublé à 100° C par la déshydratation du gypse; à 140° C ce départ se ralentit et se poursuit tout doucement jusqu'à 480° C, température à laquelle il s'accélère brusquement; un léger changement de pente entre 560 et 640° C nous fait supposer qu'à cette perte due au départ d'eau vient se superposer celle due à la décarbonatation de CO_3Ca ; à

800° C, tout est fini et le spot décrit une droite (courbe I).

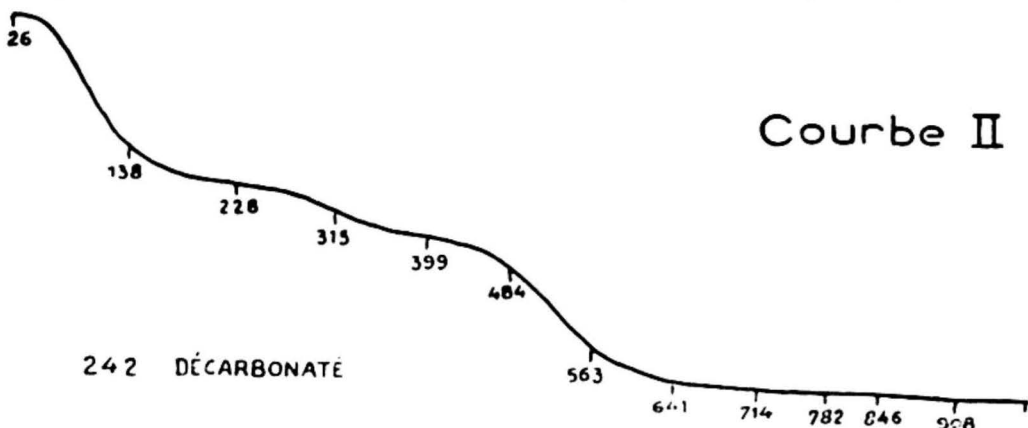
Les phénomènes de déshydratation sont également masqués pour 101 brut par la décarbonatation de la dolomie, qui n'est terminée qu'à 844° C ce qui permet de la différencier immédiatement du carbonate de calcium, complètement dissocié 40° C plus bas.



b. Échantillon décarbonaté.

242 (échantillon particulier provenant d'une partie du gros banc de glaise verte riche en filets blancs de

gypse) a été simplement traité à l'acide chlorhydrique. On voit très bien le crochet entre 228° et 318° dû au gypse qui dans les conditions opératoires doit se déshydrater plus lentement que l'argile (courbe II).



c. Échantillons d'argiles pures (courbes III).

On retrouve encore trois grands groupes comme pour l'analyse thermique :

a. 242 décarbonaté, a été lavé à l'eau pure jusqu'à disparition totale du gypse. Cet échantillon qui ne contenait pas de quartz (vérification par analyse) est resté exposé à l'air libre pendant six mois; ignorant la nature de l'échantillon, nous ne voulions pas de séchage à l'étuve qui aurait provoqué la transformation en métalloysite dans le cas de l'halloysite ni d'une exposition trop brève à l'air qui laisserait trop d'eau d'humidité. Le départ de l'eau se fait en deux temps, d'environ 50° C jusqu'à 350° C environ d'abord, puis il n'est pas complètement terminé qu'un point d'inflexion en annonce un second qui s'étale de cette température jusqu'à 900° C environ.

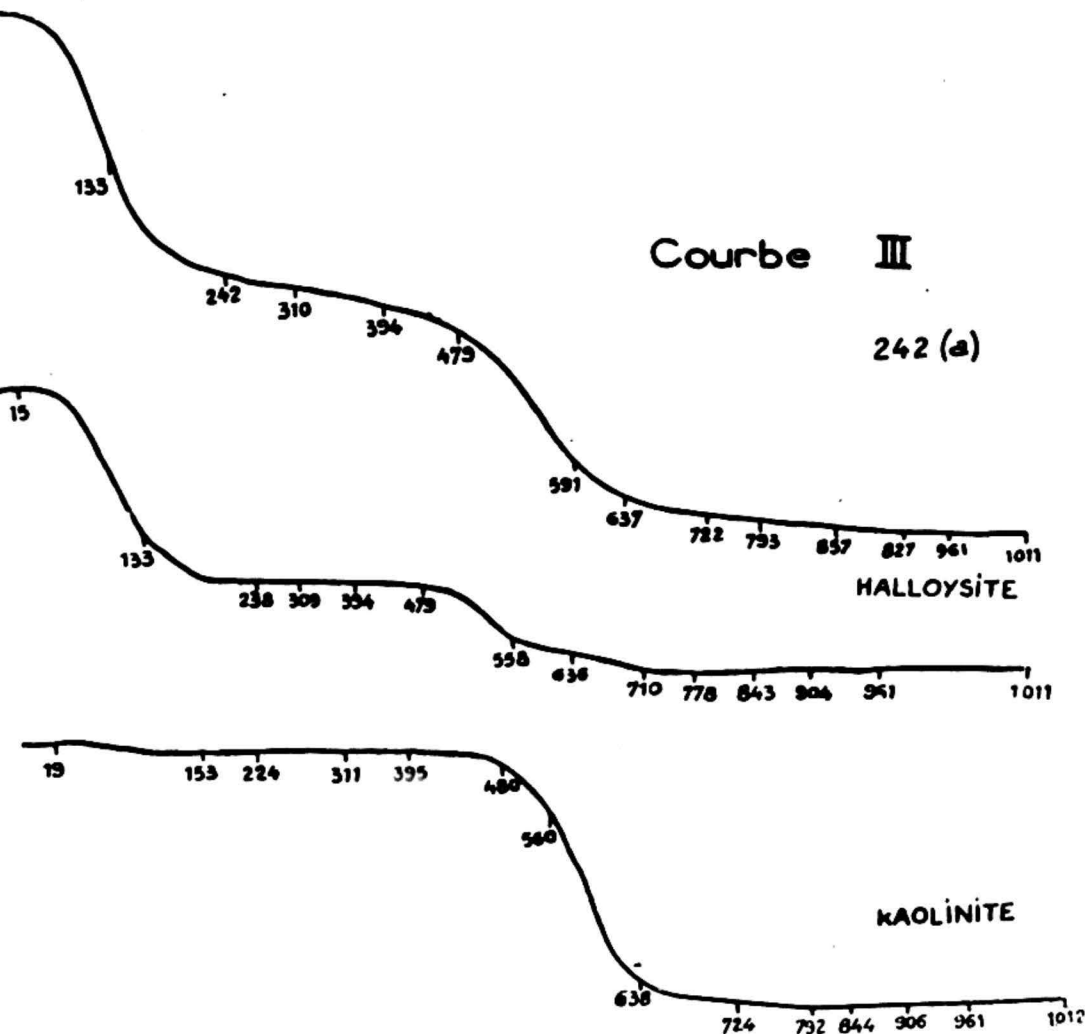
Cette déshydratation rappelant assez celle de l'halloysite, nous avons chauffé dans les mêmes conditions un échantillon d'halloysite de Temniac de composition suivante :

H_2O^-	9,8
H_2O^+	11,3
SiO_4	41,7
Al_2O_3	35,1
Fe_2O_3	0,7
CaO	1,4

Soit Al_2O_3 , 2,01 SiO_4 , 1,82 H_2O^- + 1,58 H_2O^+ donc partiellement transformé en métahalloysite.

Nous publions également la courbe fournie par une kaolinite provenant de Bunney-Saint-Austell (Cornouaille) de composition :

H_2O^-	0,77
H_2O^+	11,66
SiO_4	44,81
Al_2O_3	40,29
Fe_2O_3	1,12
TiO_2	0,37



L'allure générale de la courbe est la même que celle de 242, quoique perturbée par des crochets importants dont nous ignorons la cause; pourtant la déshydra-

tation est complètement terminée à 800° C.

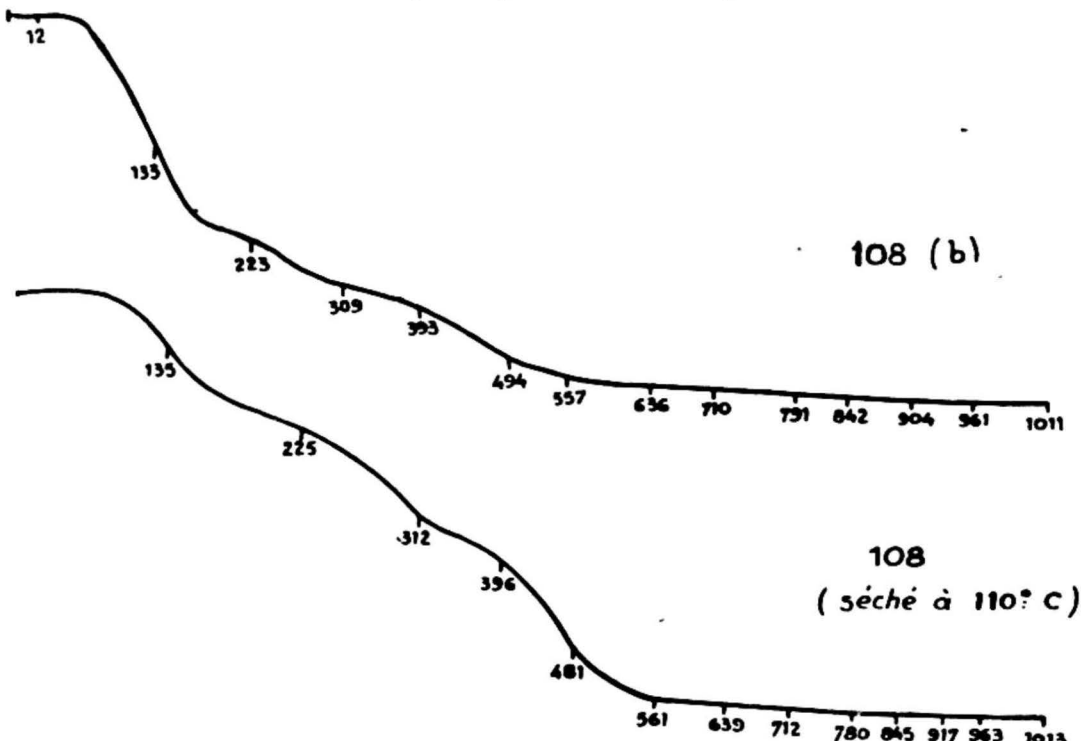
Le crochet de la kaolinite se superpose exactement au deuxième de 242.

En mesurant l'amplitude des crochets, on constate que l'échantillon perd 10,8 % d'eau dont :
5,8 % entre 15 et 350° C
et 5,0 % entre 350 et 1.000° C.

Le premier est plus grand que le second et ceci peut être dû à la combustion des matières organiques ou au départ d'eau d'humidité persistante et l'on peut sup-

poser que complètement sec et pur, il aurait perdu 50 % de son eau durant la première étape et 50 % pendant la seconde.

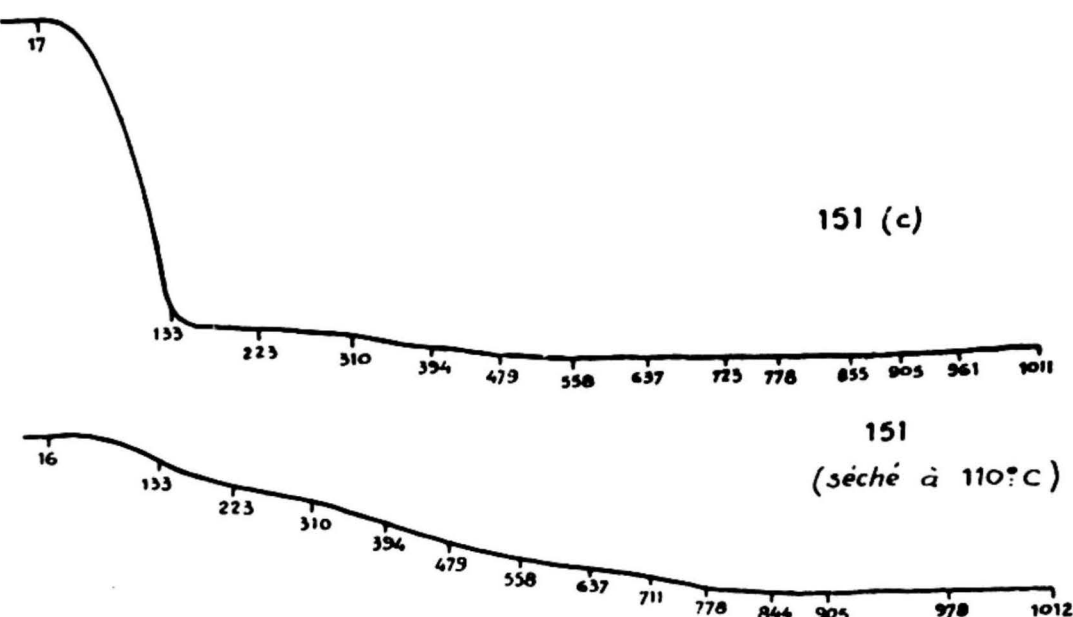
En traitant cet échantillon au carbonate d'ammonium à 5 % on ne voit pas l'apparition de crochet supplémentaire alors qu'un nouveau crochet s'était manifesté à l'analyse différentielle.



β. Échantillons 108 et 101.

Départ rapide entre 12° et 200°, modifié à cette température par un second départ qui est presque com-

plètement terminé à 310° C; puis dernier départ, commençant vers 400° C comme pour 217 mais terminé beaucoup plus tôt, à 800° C.



Les phénomènes observés sont beaucoup plus nets si l'on opère sur l'échantillon séché à 110° C pendant trois semaines. Ils sont en parfait accord avec ceux trouvés par M. LONGCHAMON, qui publie une courbe de déshydratation analogue à la nôtre pour un échantillon de palygorskite typique de Simféropol (9).

D'après le calcul, on trouve que pour ce dernier échantillon qui perd 13.63 % d'eau :

23 % d'eau environ partent entre la température ordinaire et 180° C;

30 % entre 180° et 370° C;

47 % entre 310° et 800° C.

γ. Échantillon 151.

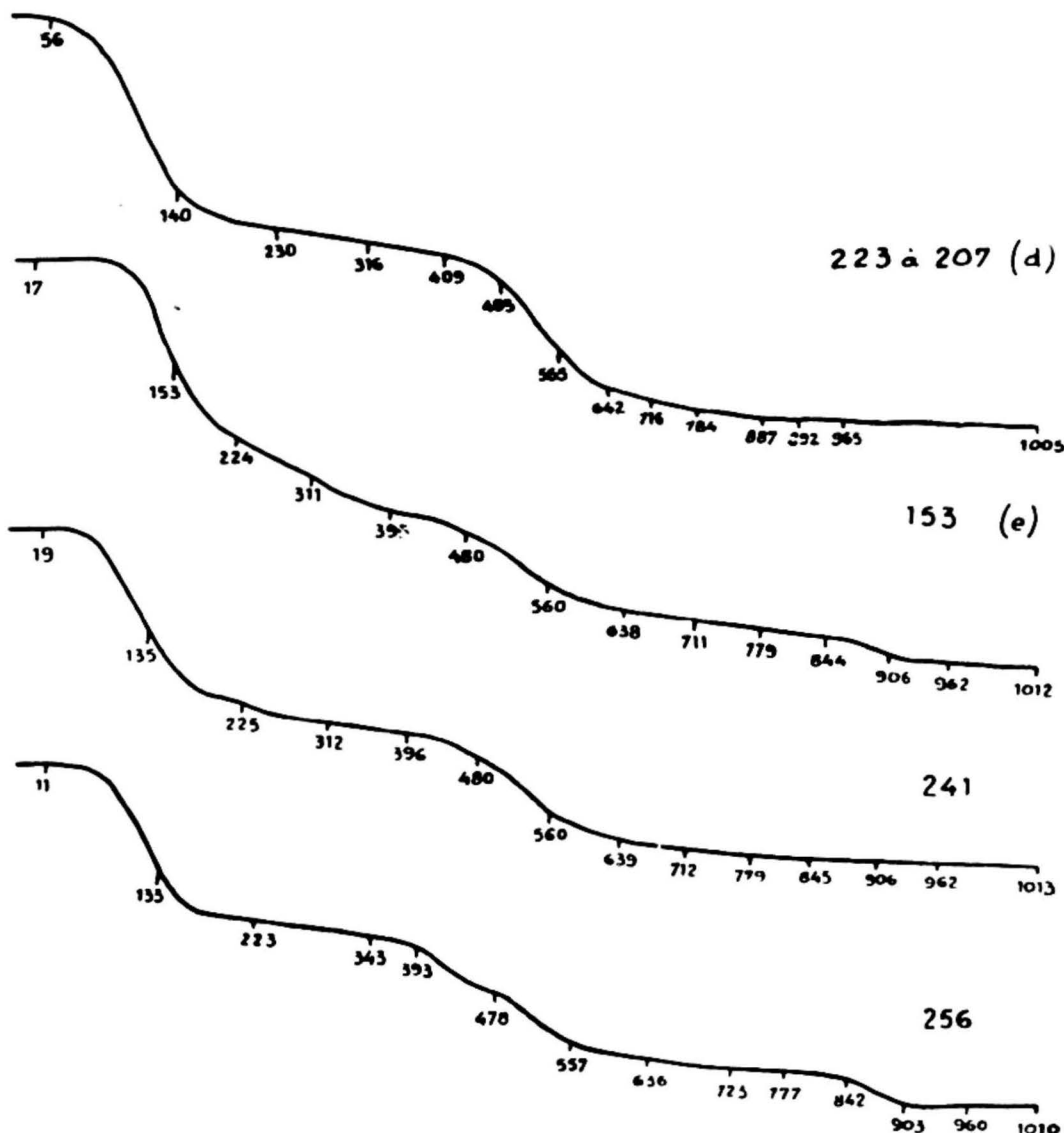
Déshydratation en quatre étapes : très brusque entre 17° et 200° C correspondant au départ d'eau de caractère zéolithique; plus lente de 200° à 600° C avec un

changement de pente peu marqué vers 450° C; de 720° à 800° C avec départ brusque vers 750° C. Quoique peu marqués les crâches sont nets et permettent d'identifier cette courbe avec celle de la sépiolite d'Ampan-drandava, publiée par M. LONGCHAMON (10) qui montra que le passage de la sépiolite I à la sépiolite II entre 450° et 500° C par perte de molécules d'eau structurale se traduit par un changement de pente et que le départ d'eau brutal vers 750° C s'accompagne de la destruction brusque du réseau du minéral.

A ces trois groupes, on peut adjoindre :

8. 223 à 207 et 217, courbe (d) [lire sur la fig. 223 à 207 et 217 au lieu de 223 à 207].

La déshydratation en trois étapes est la même que pour b, mais, dernier départ supplémentaire entre 850 et 920° C, correspondant à 10 % des 50 % de l'eau



totale qui s'échappent entre 320° et 1.000° C. Ce crochet correspond certainement au crochet endothermique à 820° C manifesté à l'analyse thermique différentielle.

(On ne voit pas ce dernier crochet courbe I, p. 16; la déshydratation, peut-être accélérée par la chaux formée, se termine à 800° C).

Il est remarquable de voir par ce moyen le crochet analogue à celui de *b* vers 200° C, alors qu'on ne le voit pas sur les courbes d'analyse thermique différentielle.

s. Le reste des échantillons.

153 présente les crochets de *a* et *b* et, en plus, le crochet entre 850° et 920° C du groupe *d*.

241 a surtout le caractère du groupe *a*, mais encore crochet très net à 220° C.

256 tient à la fois de *a* et *d* (sans avoir le crochet à 220° C) mais présent, en plus, un crochet supplémentaire brusque à 400° C, probablement dû à la combustion de la pyrite qu'il renferme en grande quantité; ce crochet s'était produit 150° C plus haut à l'analyse thermique différentielle, mais ceci n'a rien d'étonnant car, dans ce cas, la substance enfermée dans le creuset est très mal soumise à l'action de l'air.

Conclusion.

Les analyses thermogravimétriques reproduisent tous les phénomènes essentiels déjà observés à l'analyse thermique différentielle et confirment la présence de bravaïsite, dont le mode de déshydratation rappelle celui de l'halloysite, d'attapulgite très pure, de sépiolite dans les marnes de Cormeilles et d'autres échantillons qui semblent être des formes intermédiaires des deux types. On observe un décalage d'une centaine de degrés, la fin d'une pente et le commencement d'un palier à la thermobalance correspondant à l'apparition d'un maximum ou d'un minimum décalé de 100 degrés plus haut pour l'analyse différentielle. Ce fait a déjà été observé par M. ORCEL (11). On ne retrouve pas certains phénomènes accessoires, ce qui peut être imputé au mode de chauffage différent.

3. Spectres de rayons X.

Ils sont obtenus par la méthode de DEBY-SCHERRER et effectués sur l'échantillon brut décarbonaté, lavé à l'eau très longtemps, séché et pulvérisé.

Un simple coup d'œil permet de constater une grande ressemblance entre les spectres des quatre échantillons les plus caractéristiques de Cormeilles étudiés; quelques différences pourtant apparaissent par examen plus approfondi.

Les calculs ont été faits d'après la formule de

BRAGG, le diamètre de la chambre étant de 76 mm et la longueur d'onde du rayonnement employé :

$$\lambda = 1,5374 \text{ \AA}.$$

Kα Cu.

La mesure des diamètres des cercles de diffraction a été effectuée au moyen d'une règle transparente divisée.

Les équidistances *d*, *p*, *q*, *r*, sont données en unités Ångström et les intensités exprimées suivant une échelle conventionnelle :

tF très fort.

F forte.

f faible.

242	151	113	242	151
tF 10,16	tF 11,5		F 1,52	F 1,52
F 4,42	(4,42	f 30,16	f 1,50	f 1,50
F 4,27	(4,22	f 4,42	f 1,37	F 1,30
		f 3,73	f 1,19	
		f 3,36 quartz 3,36	f 1,18	
		f 3,18		
	tF 2,57	f 2,57		
F 2,44				
F 2,37	tF 2,42	f 2,44		
	F 2,24			
f 2,09	tF 2,09	f 1,50		
		f 2,03		
f 1,96				
f 1,80				
f 1,64				

Nous disposons à part le tableau des équidistances obtenues pour 108 de manière à pouvoir placer en regard ceux obtenus par J. DE LAPPARENT pour l'attapulgite d'Attapulgus (12) et constater l'identité entre les deux.

108.	Attapulgus.
tF 10,16	10,20
t 6,50	6,40
t 5,33	5,30
F 4,42	
F 4,27	4,30
t 3,67	
3,36 quartz	3,60
F 3,27	
t 3,14	3,25
t 2,57	2,55
t 2,24	
t 2,14	2,15
t 2,02	1,80
t 1,82	1,67
t 1,51	1,49
t 1,30	1,37
	1,29
	1,25

On remarquera immédiatement dans le spectre de 151 les deux raies très fortes 11,5 et 2,57 indiquées par G. MIEUX pour la sépiolite d'Ampandrandava (Madagascar) (12) ce qui ne laisse plus subsister de

doute sur la nature minéralogique de cet échantillon.

153 mal cristallisé, ce qui n'a rien d'étonnant étant donné la viscosité très forte qu'il manifeste en suspension, donne les raies communes à 242 et 108.

M. RIVIÈRE (13) avait classé des phyllites mal conservées en plusieurs catégories en se basant sur des différences peu importantes, mais nettes, présentées par elles dans des diagrammes de rayons X; parmi celles-ci figuraient, dans le groupe B, les marnes bleues et blanches supra-gypseuses de Cormeilles et, dans le groupe C, les marnes vertes supra-gypseuses et les marnes blanches intra-gypseuses. Il avait remarqué que les spectres de ce dernier groupe présentaient des caractères communs avec ceux que donne la famille des palygorskites. Nous retrouvons, à peu de choses près, les mêmes valeurs et confirmons cette dernière remarque par le fait que les spectres des bravaisites des marnes vertes ressemblent très fortement à ceux des échantillons situés plus bas qui se sont révélés encore par cette méthode être des attapulgites pures; les marnes intermédiaires présentent aussi les mêmes caractères communs qui se retrouvent également dans la sépiolite des marnes blanches, identifiable elle aussi par comparaison avec une sépiolite type.

4. Méthode Pectographique.

S. HENIN (7) (14) étendit à l'étude des argiles une nouvelle méthode d'étude des colloïdes nommée pectographie, par son inventeur P. BARY. Cette méthode consiste à dessécher une solution colloïdale à 1 ou 2 % à 50-60° C contenue dans un bêcher dans lequel est plongé une lame de verre, et à provoquer ainsi, sur la plaque, un dépôt caractérisant les divers colloïdes. Lors de la formation du gel pelliculaire superficiel, les micelles s'associent d'une manière spontanée et donnent des dépôts correspondant à la forme des particules de ces minéraux telle que le révèle le microscope électronique : plaquettes pour la kaolinite, l'illite et la montmorillonite; fibres pour l'attapulgite. Les dépôts très fins et réguliers donnés notamment par les argiles du type attapulgite correspondent bien à leurs faciès fibreux naturel, mais les auteurs enregistrent cependant un échec avec l'attapulgite typique d'Attapulgus (U.S.A.).

Nous avons tenté l'expérience sur les trois échantillons types : 242, 108 et 151. La suspension de l'argile, à une concentration d'environ 1 pour 1.000, stabilisée par un peu d'ammoniaque, est mise dans un petit bêcher dans lequel plonge obliquement une lame porte-objet de microscope. On évapore doucement à l'étuve à 60° C et observe le dépôt entre nicols croisés.

Les micelles de l'échantillon 108 semblent se déposer au hasard, mais nous ne tirons aucune conclusion étant donné les réserves formulées par les auteurs; il n'en est pas de même pour les échantillons 242 (bra-

vaisite), 217 et 153 qui présentent une suite de fines lignes parallèles d'autant plus facilement observables à l'œil nu qu'elles donnent lieu à des phénomènes d'interférences qui les rendent encore plus visibles; ceci semblerait impliquer une structure fibreuse pour ces échantillons.

D. ANALYSE CHIMIQUE DES ARGILES PURES.

N'ont été analysées que celles appartenant à des couches donnant des garanties d'homogénéité par leur simple aspect extérieur et caractérisées par une courbe d'analyse thermique différentielle bien nette.

Ce sont les échantillons :

- 262,
- 242,
- 241, 217, 151 bis, 153,
- 101, 108,
- 151.

préparés par décarbonatation et lavage prolongé à l'eau distillée et groupés suivant les ressemblances qu'ils ont déjà manifesté à l'analyse thermique.

Méthodes d'analyse. — Ce sont les mêmes que celles qui ont servi à l'analyse des échantillons bruts auxquelles il faut ajouter la recherche de la silice non combinée; l'alumine a été dosée d'une manière plus précise après séparation du fer et du titane par le cupferon, ce qui permet de faire une analyse complète sur une seule prise.

Dosage du quartz. — On pèse 2 g de matière bien séchée et pulvérisée, les introduit dans une capsule de platine assez grande, ajoute environ 5 cm³ d'eau puis 40 à 50 cm³ d'acide sulfurique concentré; on remue avec un fil de platine et chauffe au bain de sable six à huit heures; il ne faut, cependant, pas aller complètement à sec. Il est indispensable que cette évaporation soit lente, sinon la décomposition des silicates ne serait pas complète. Après refroidissement, on étend avec de l'eau distillée et filtre; on lave le filtre et son résidu une dizaine de fois à l'eau bouillante, puis à deux ou trois reprises à l'acide chlorhydrique à 5 %, et enfin encore à l'eau bouillante jusqu'à fin de réaction acide. Le filtre et le précipité sont introduits dans une capsule de platine, on ajoute environ 75 cm³ d'eau, 2 g de soude caustique pure et 12 à 12 g de carbonate de soude sec. On remue et place au bain-marie. On chauffe une heure en ayant soin de remplacer l'eau au fur et à mesure de son évaporation étend vers 100-160 cm³, filtre, lave à l'eau bouillante une dizaine de fois, trois fois à l'acide chlorhydrique à 5 %, enfin à fond à l'eau bouillante. On calcine et pèse. Le résidu pesé représente la silice libre. En soustrayant cette quantité de la silice totale, on obtient la silice combinée.

Dosage directe de l'alumine (11). — Le précipité à l'ammoniaque est redissous dans le bêcher ayant servi à la précipitation dans HCl à 5 %; on enlève le papier, le rince à fond et chauffe doucement pour avoir une dissolution totale.

Separation du fer et de l'alumine. — On ajoute à la solution froide, goutte à goutte et en agitant, une solution de cupferron à 5 % jusqu'à l'apparition d'un trouble de nitrosophényldroxylamine qui se dissout ensuite. (Si l'on ne prend soin de conserver à la glace le cupferron très instable même en présence de carbonate d'ammonium, on risque la formation de troubles colloïdaux infiltrables.) On filtre et lave à l'eau froide, puis calcine en ayant bien soin de ne pas perdre du produit très léger, facilement entraînable par le courant de gaz chauds.

On titre le titane en reprenant le résidu par le bisulfate de potassium et en opérant ensuite par colorimétrie. Le fer est déterminé par différence.

Alumine. — On évapore à sec au bain-marie en capsule de platine la liqueur chlorhydrique, laisse refroidir le résidu et l'humecte d'eau additionnée de 1 à 5 cm³ de SO₄H₂ concentré, porte au bain-marie en couvrant d'un verre de montre. La masse devient noire. Quand tout dégagement gazeux a cessé, le petit excès d'eau est évaporé puis on chauffe la capsule sur une petite flamme de manière à chasser complètement SO₄H₂. Pour brûler complètement la matière charbonneuse qui reste dans le résidu des sulfates, on promène la flamme de Bunsen sous la capsule sans dépasser le rouge sombre et triture le résidu avec une spatule pour mettre en contact toutes ses parties avec le fond de la capsule. On obtient ainsi un résidu de sulfate d'alumine bien blanc. Il ne faut pas chauffer trop fort (par exemple atteindre le rouge vif) pour ne pas décomposer le sulfate d'alumine en alumine insoluble dans les acides. Le résidu des sulfates est repris, après refroidissement, par environ 100 cm³ d'eau additionnée de quelques cm³ d'NO₃H ou HCl. Il se dissout complètement au bout de 15 à 20 minutes environ à la température du bain-marie; il reste toujours un très faible résidu de silice floconneuse qui a échappé aux insolubilisations précédentes; on le filtre, le pèse et le dose par différence après évaporation avec FH + SO₄H₂ concentré. Si, à ce moment, il reste un fort résidu, on peut craindre qu'il ne soit constitué par de l'alumine provenant de la décomposition du sulfate d'alumine calciné à une température trop élevée. On le dissout alors dans un peu de CaO₂Na₂, reprend la masse par un peu d'eau acidulée par HCl et, après filtration, la liqueur est jointe à la solution renfermant la majeure partie de l'alumine.

On précipite Al₂O₃ par NH₄OH comme précédemment. Calciner à fond avant de peser.

n. Désignation de l'échantillon.	242	241	217	153
H ₂ O	6,75	5,45	7,54	10,82
H ₂ O*	6,44	5,08	8,05	9,20
SiO ₂	53,72	58,55	50,55	54,83
Al ₂ O ₃	17,84	20,11	20,71	13,60
Fe ₂ O ₃	6,40	3,85	2,85	4,18
TiO ₂	0,86	0,84	0,67	0,80
MgO	2,70	2,23	2,79	3,42
CaO	1,00	0,80	0,81	0,78
K ₂ O	3,71	2,30	4,07	2,12
Na ₂ O	1,01	0,69	1,72	0,45
Quartz	8,35	16,60	0,00	1,30
SiO ₂	4,33	3,53	4,14	6,70
Al ₂ O ₃				
Bases	1,26	0,77	0,92	1,35
Al ₂ O ₃				
H ₂ O	2,05	1,43	2,20	3,84
Al ₂ O ₃				

Bases

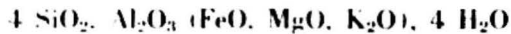
Dans le calcul du rapport nous avons tenu compte de la chaux et compté le fer à l'état de protoxyde tel qu'il devait être primitivement dans l'argile et sans introduire de correction due à la teneur élevée en titane qui peut être présent à l'état d'ilménite ou de rutile.

Notons l'analogie dans la composition chimique des deux échantillons 242 et 217 entre eux d'abord et avec la bravaisite telle qu'elle est donnée par MALLARD (15).

H ₂ O	13,30
SiO ₂	51,40
Al ₂ O ₃	18,90
Fe ₂ O ₃	4,00
CaO	2,00
MgO	3,30
K ₂ O	6,50

Les deux autres échantillons s'en rapprochent aussi malgré leur teneur plus faible en silice pour 241, en alumine pour 153.

On peut attribuer aux trois premiers la formule de MALLARD, soit :



et même :

4 SiO₂ · Al₂O₃ · (FeO, MgO, K₂O, CaO), 2 H₂O + 2 H₂O, puisque la quantité d'eau éliminée après 105° C semble être égale à celle partant à température plus basse, de nature zéolithique (aucune détermination plus rigoureuse n'est possible par suite de la présence d'eau d'humidité et de matières organiques) et que l'on trouve toujours un peu de chaux à l'analyse.

• Les échantillons 151 bis, 108 et 101 sont caractérisés par une forte teneur en magnésie et en alumine; ils présentent à peu près tous les trois la même composition; 151 bis se rapproche ainsi de 108 et 101 alors qu'il s'en différenciait assez fortement par sa courbe d'analyse thermique différentielle; remarquons aussi

qu'à l'inverse de ces derniers, il se trouvait dans un calcaire qui ne contenait pas de dolomie.

	151 bis	153	101
H ₂ O ⁻	8,56	9,08	7,43
H ₂ O ⁺	13,50	9,66	11,60
SiO ₃	49,02	55,10	54,35
Al ₂ O ₃	12,13	13,42	12,11
Fe ₂ O ₃	3,14	2,04	4,58
MgO	12,06	8,05	8,88
TiO ₂	0,35	0,41	0,40
CaO	1,14	0,65	0,80
K ₂ O		1,22	
Na ₂ O		0,66	
Quartz		6,08	2,66
H ₂ O			
(MgO, Al ₂ O ₃)	= 1,81	1,62	1,89
SiO ₃			
(MgO, Al ₂ O ₃)	= 1,95	2,47	2,52

Quoique riches en magnésie, ces argiles possèdent encore une teneur en alumine assez élevée; elles présentent ainsi une composition tout à fait analogue à celle d'une palygorskite, intermédiaire entre celle d'une palygorskite alumineuse toute théorique ou paramontmorillonite et celle d'une sépiolite purement magnésienne.

Citons, à titre d'exemple, les analyses de deux palygorskites (16) :

H ₂ O ⁻	10,64	9,27
H ₂ O ⁺	14,10	15,73
SiO ₃	51,00	51,60
Al ₂ O ₃	12,88	16,30
Fe ₂ O ₃	2,97	3,00
MgO	7,54	10,81
CaO		1,11

c. L'échantillon 151 se caractérise par une teneur très faible en alumine, forte en magnésium et par l'absence totale d'alkalins.

H ₂ O ⁻	29,64	
H ₂ O ⁺	6,89	
SiO ₃	50,32	
Al ₂ O ₃	2,35	SiO ₃
Fe ₂ O ₃	2,49	(MgO, Al ₂ O ₃) = 3,71
TiO ₂	0,13	
MgO	7,26	H ₂ O
CaO	0,90	(MgO, Al ₂ O ₃) = 1,88
Quartz	4,92	

Nous donnons également l'analyse du résidu brun obtenu par attaque de l'échantillon 262 à l'acide chlorhydrique; il est facile de séparer l'argile du quartz qui se présente en gros grains (27,78 % de l'échantillon brut) mais elle est tellement disséminée qu'il faut attaquer des quantités assez fortes de calcaire pour en avoir quelques grammes.

H ₂ O ⁻	7,80
H ₂ O ⁺	9,10
SiO ₃	57,38
Al ₂ O ₃	16,10
Fe ₂ O ₃	2,82
CaO	0,00
MgO	0,70

Cet échantillon s'apparente aux palygorskites, comme le montre sa courbe d'analyse thermique, mais il semble être un mélange.

E. ANALYSE CHIMIQUE FRACTIONNÉE.

J. L. THIÉBAUT (17) remarqua le comportement différent manifesté par divers minéraux vis-à-vis de certains réactifs; l'acide chlorhydrique est sans action sur le zircon, le rutile, le quartz et la pyrite. Il agit fort peu sur le feldspath, l'orthose, un peu plus sur les argiles du type de la kaolinite, très peu sur la muscovite, et attaque au contraire facilement la montmorillonite et détruit complètement la biotite et la magnétite. La plupart des argiles et micas sont entièrement attaqués par l'acide sulfurique. Cependant, la pyrite et l'ilmenite ne sont pas totalement détruites; le rutile résiste mieux encore à l'action de cet acide; l'orthose est fort peu altéré par lui; le zircon et le quartz ne le sont pas du tout. Ces remarques lui permettent de mettre au point une méthode d'analyse chimique des marnes calcaires, rendant compte de la composition minéralogique de l'échantillon et comprenant les opérations suivantes :

a. Traitement à froid par l'acide chlorhydrique très dilué pour éliminer les carbonates;

b. Attaque à chaud par l'acide chlorhydrique pour éliminer et détruire la partie essentielle des marnes ou « phyllite »;

c. Attaque à chaud par l'acide sulfurique pour détruire et éliminer les micas et les « argiles »;

d. Attaque par l'acide fluorhydrique pour détruire le résidu, constitué par du quartz, des feldspaths et quelques minéraux lourds.

Le calcul permet ensuite de reconstituer la composition virtuelle minéralogique de la roche argileuse et conduisit M. THIÉBAUT à assimiler la « phyllite » des sédiments argilo-calcaires à des variétés de bravaisite.

Cette méthode a donné lieu à diverses critiques. Maurice DREYFUSS (18) se demande pourquoi tout le fer est considéré comme divalent dans la portion B et trivalent dans la portion C, alors qu'il est fort possible que la plus grande partie du fer dans ces sédiments marins soit du fer ferrique. La silice insolubilisée par les acides peut être transformée en silicate alcalin soluble par lavage des résidus à la soude ou à la potasse, mais cette lessive de soude concentrée risque d'attaquer les silicates d'alumine et de modifier les rapports pondéraux fournis par l'analyse des résidus. Enfin, objection plus grave, la résistance aux acides n'a qu'une valeur médiocre en tant que critère spécifique.

Comme les échantillons du type bravaisite ne sont pas attaqués par l'acide chlorhydrique dilué à froid,

que ceux du type palygorskite le sont très facilement et que beaucoup de marnes de Cormeilles contiennent des argiles qui présentent à l'analyse thermique différentielle à la fois des caractères des bravaisites et des palygorskites, nous voulions voir si en effectuant l'analyse fractionnée de chacune de ces catégories nous ne retrouverions pas de portions communes à plusieurs d'entre elles; en admettant, par exemple, que les palygorskites passent entièrement dans la portion B et que l'on retrouve des portions C identiques pour les bravaisites et les échantillons mixtes, on pourrait en déduire que ces derniers sont des mélanges des deux variétés ou du moins des formes intermédiaires entre les deux présentant les mêmes réactions vis-à-vis des acides; on aurait même pu supposer également une portion C commune aux trois variétés. De toute façon, ces analyses pouvaient donner des précisions intéressantes sur la présence de plus ou moins grandes quantités de fer, sur la présence du titane et des alcalins.

Mode opératoire.

C'est celui indiqué par M. THIÉBAUT légèrement modifié par endroits :

Portion B ou partie attaquable par l'acide chlorhydrique.

On attaque 1 g de la substance disposée dans une capsule de platine plongeant dans l'eau d'un bain-marie bouillant par de l'acide chlorhydrique étendu de son volume d'eau jusqu'à dessiccation complète. On répète cette attaque et reprend plusieurs fois à chaud par de l'acide chlorhydrique très étendu (à 20 fois son volume d'eau) jusqu'à épuisement complet de la substance; il est absolument indispensable de filtrer par décantation en laissant tout le résidu au fond de la capsule et en n'entrainant aucune partie sur le filtre qui ne sert qu'en cas d'accident. Ce résidu est ensuite traité deux fois pendant 5 à 10 minutes par 50 cm³ de solution sodique à 10 % à la température de 50 à 60° C. Il ne faut pas s'inquiéter si la solution sodique devient brune, ceci est dû à la dissolution des matières organiques, probablement à l'état d'humates alcalins, contenues dans l'argile: on ne peut les éliminer qu'en partie par filtration; incorporées sur le filtre à la silice après insolubilisation, elles en sont ensuite facilement éliminées à la calcination. Il est ensuite lavé plusieurs fois par décantation à l'eau chaude, puis à l'acide chlorhydrique très étendu. Les filtrats ainsi obtenus sont neutralisés par l'acide chlorhydrique, évaporés à sec dans une grande capsule de porcelaine et la silice insolubilisée. De son côté, le filtrat chlorhydrique est évaporé à sec et la silice insolubilisée par la méthode classique: on filtre et, après lavage, filtre sur le même papier la seconde silice provenant de l'attaque alcaline, beaucoup plus importante que la première; tandis

que ce deuxième filtrat est rejeté, le premier est peroxydé par addition de 1 cm³ d'eau oxygénée et l'on y précipite par l'ammoniaque en présence de bleu de bromo-thymol, l'alumine, le peroxyde de fer et l'oxyde de titane. Le précipité est redissous dans l'acide chlorhydrique, reprécipité, dissous à nouveau et on dose séparément l'alumine, le fer et le titane dans cette liqueur mise à part après précipitation par le cupferron (voir page 22, *Séparation du fer et de l'alumine*).

On précipite la chaux en milieu acétique par l'addition d'un peu d'oxalate d'ammoniaque et titre l'oxalate de calcium formé, après filtration et acidification par l'acide sulfurique, par du permanganate N/20. Les filtrats ammoniacaux sont mis à évaporer dans une capsule de platine au bain de sable; on calcine ensuite légèrement au Bunsen de manière à chasser totalement les sels ammoniacaux, humecte le résidu de quelques gouttes de liqueur de Schaffgoth (obtenue en dissolvant 250 g de carbonate d'ammoniaque dans 360 cm³ d'ammoniaque concentrée et complétant à 1 litre avec de l'eau distillée), évapore de nouveau à sec, calcine légèrement et reprend par quelques cm³ de la même liqueur. On filtre au bout de 24 heures et lave avec cette même solution. Le carbonate de magnésie resté sur le filtre et dans la capsule est dissous dans de l'acide chlorhydrique à 5 % et la magnésie dosée après précipitation à l'état de phosphate ammoniacal-magnésien. Les eaux ammoniacales provenant du lavage sont évaporées dans une capsule de platine; le potassium y est dosé à l'état de perchlorate et le sodium par différence avec le poids total de chlorures.

Portion C ou partie attaquable par l'acide sulfurique seul.

Le résidu des attaques chlorhydriques est lavé à l'eau chaude par décantation, puis à l'aide d'une solution légèrement acide, puis de nouveau à l'eau distillée. Il faut renouveler ces opérations si l'on ne veut s'exposer à obtenir des résultats trop élevés en alcalins, causés par des restes de chlorure de sodium provenant de la précédente attaque. On attaque ensuite le résidu à la température de 100° environ, au bain de sable, par l'acide sulfurique étendu de neuf fois son volume d'eau et l'on évapore au bain de sable jusqu'à séchage. Le résidu n'est pas pesé après séchage à 100°, l'expérience nous ayant montré que, pour les échantillons étudiés, ce séchage provoquait la formation de petites écailles dures qui se délitaient ensuite très difficilement dans l'acide. Il ne faut entraîner à aucun prix de résidu sur le filtre lors de la filtration de la portion B ou lors des lavages précédant l'attaque sulfurique: ces particules très visqueuses adhèrent très énergiquement aux pores du papier filtre et on ne peut les en détacher par lavage avec un jet d'eau (nous

*Analyse de l'Échantillon
242.*

H_2O^-	6,75		
B	C	D	
H_2O^+	3,81	2,63	
SiO_4	32,49	12,05	8,00
Al_2O_3	12,06	6,11	
FeO	6,23	Fe_2O_3 0,37	
MgO	2,19	TiO_2 0,70	
CaO	0,80		
K_2O	2,49	1,16	
Na_2O	0,25	0,39	
$\frac{\text{SiO}_2}{\text{Al}_2\text{O}_3}$	4,57	3,33	
Bases	1,56		
Al_2O_3			
MgO	0,45		
Al_2O_3			
$\text{K}_2\text{O}, \text{Na}_2\text{O}$	0,25	0,30	
Al_2O_3			
H_2O	1,80	2,37	
Al_2O_3			

Il est fort possible que tout le fer de la portion B soit à l'état ferreux, car, si l'on omet de peroxyder par l'eau oxygénée, la filtration du précipité à l'ammoniaque devient impossible, l'hydroxyde ferreux passant à travers le filtre et se reoxydant en suite sur les parois de l'entonnoir. Par contre, il semble être complètement à l'état ferrique dans la portion C.

Échantillon 241.

H_2O^-	5,45		
B	C	D	
H_2O^+	2,07	3,01	
SiO_2	18,64	22,98	17,10
Al_2O_3	7,41	12,70	
FeO	2,63	Fe_2O_3 1,20	
MgO			
CaO	2,24	...	
K_2O	...	0,80	
Na_2O	1,20	0,30	
$\frac{\text{SiO}_2}{\text{Al}_2\text{O}_3}$	4,30	3,08	
Bases	1,73		
Al_2O_3			
MgO	0,77		
Al_2O_3			
$\text{K}_2\text{O}, \text{Na}_2\text{O}$	0,25	0,07	
Al_2O_3			
H_2O	1,60	1,34	
Al_2O_3			

Échantillon 247.

H_2O^-	7,54		
B	C	D	
H_2O^+	3,01	5,04	
SiO_2	32,81	19,10	
Al_2O_3	12,11	8,33	
FeO	2,18	Fe_2O_3 0,52	
MgO	2,95	...	
TiO_2	...	0,54	
K_2O	2,19	1,88	
Na_2O	0,96	0,76	
CaO	1,20	...	
SiO_2	4,62	3,93	
Al_2O_3			
Bases	1,37		
Al_2O_3			
MgO	0,61	...	
Al_2O_3			
$\text{K}_2\text{O}, \text{Na}_2\text{O}$	0,32	0,39	
Al_2O_3			
H_2O	1,41	3,45	
Al_2O_3			

Échantillon 153.

H_2O^-	10,72		
B	C	D	
H_2O^+	3,20	7,01	
SiO_2	39,30	14,54	1,33
Al_2O_3	10,31	3,15	
FeO	2,90	Fe_2O_3 1,05	
MgO	3,40	...	
CaO	0,65	...	
Na_2O	0,40	0,30	
SiO_2	6,47	8,06	
Al_2O_3			
MgO	1,8	...	
$\text{K}_2\text{O}, \text{Na}_2\text{O}$	0,13	0,39	
Al_2O_3			
H_2O	0,33	7,51	
Al_2O_3			

Échantillon 165.

H_2O^-	9,98		
B	C	D	
H_2O^+	5,99	3,87	
SiO_2	37,31	11,88	2,28
Al_2O_3	10,64	2,78	
Fe_2O_3	2,77	0,90	
TiO_2	...	0,40	
CaO	0,31	...	
MgO	7,50	...	
Na_2O	0,48	0,18	
SiO_2	5,95	7,25	
Al_2O_3			
MgO	1,8	...	
$\text{K}_2\text{O}, \text{Na}_2\text{O}$	0,13	0,39	
Al_2O_3			
H_2O	0,33	7,51	
Al_2O_3			

L'échantillon 151 est totalement soluble dans l'acide chlorhydrique à l'exception de quelques % de quartz et on le retrouve en entier dans B. Ceci était à prévoir, la solubilité des séries dites dans l'acide chlorhydrique étant un fait bien connu.

avons essayé, sans grand succès, de mettre le papier et son contenu dans la capsule et d'attaquer le tout par l'acide sulfurique; mais l'attaque du papier était incomplète et toute analyse devenait impossible dans les filtrats noirâtres chargés de matières organiques provenant de la carbonisation du papier).

La masse est alors traitée à chaud par l'acide chlorhydrique demi-dilué jusqu'à épuisement complet. On reprend le résidu par la solution sodique pour en extraire la silice mise en liberté et pour doser celle-ci. On opère alors comme pour la portion B; après l'insolubilisation et la détermination de la silice provenant des deux liqueurs, on dose l'alumine, le fer et le titane dans le filtrat sulfurique, après séparation par l'ammoniaque, et précipite la chaux par l'oxalate d'ammonium.

Les solutions ammoniacales sont évaporées et calcinées; comme le dosage K^+ à l'état de perchlorate est impossible en présence de SO_4^{2-} les sulfates sont transformés en chlorures. On y parvient par addition de quelques cm³ de chlorure de baryum, évaporation à sec, addition de liqueur de Schaffgoth et on opère ensuite comme pour la portion B. Le chlorure de baryum en excès est précipité par la liqueur de Schaffgoth et ne perturbe pas le dosage du magnésium.

Portion D. — Le résidu de l'attaque sulfurique resté dans la capsule est repris et lavé à l'acide chlorhydrique très étendu, puis séché et pesé. On désagrége le tout par attaque à l'acide fluorhydrique additionnée de quelques gouttes d'acide sulfurique. On peut en déterminer la teneur en alumine, chaux et alcalins.

Teneur en eau des divers résidus. — Déterminée sur les résidus obtenus en faisant subir à une prise identique les mêmes traitements, que l'on séche à 100° C puis calcine. Cette manière de procéder légèrement défectiveuse est certainement entachée d'erreur. Elle est la seule pratique et la seule possible; la teneur en eau de la portion B est obtenue par différence entre celle de la portion C et celle de l'argile séchée à 100° C.

Conclusion.

Les analyses ci-contre montrent que :

Une grosse partie des alcalins contenus dans ces argiles est due à la présence de mica que l'on retrouve dans la portion C et dont on peut évaluer la teneur à :

15 % pour 242;

11 % pour 241;

26 % pour 217;

11 % pour 153;

8 % pour 108 des échantillons décarbonatés et séchés à l'air.

Les échantillons ne sont pas attaqués en totalité par l'acide chlorhydrique et que les restes que l'on en retrouve en C (abstraction faite du mica) sont différents d'un groupe à l'autre, ce qui dénote une différence d'altérabilité.

L'échantillon 153 ne peut être un mélange de 108 et 242.

Les portions B de tous ces échantillons ne permettent d'appartenir ceux-ci, ni aux kaolinites, ni aux halloysites.

Les échantillons 242, 241 et 217 appartiennent au groupe des argiles bravaisitiques telles que les a définies M. THIÉBAUT et on peut leur attribuer la formule :



Rappelons que les valeurs 4 du rapport SiO_2/Al_2O_3 et 2 du rapport Bases/alumine n'étaient que les moyennes de chiffres assez différents trouvés pour de nombreuses marnes ce qui nous autorise à faire entrer également dans ce groupe l'échantillon 153.

Le rapport Bases/alumine a été calculé par cette méthode d'une manière plus exacte que par les méthodes exposées sous D, puisqu'il ne tient pas compte du mica étranger à l'argile.

F. ÉTUDE DES GYPSSES DE CORMEILLES.

Analyse chimique.

Le gypse se déshydratant dès la température de 60° C en séjour prolongé à l'étuve, l'analyse a porté sur les échantillons séchés simplement par exposition à l'air à la température ambiante.

Eau combinée. — Pesa 5 g dans un creuset de platine et tarer à nouveau après calcination au four électrique à la température de 500° C. Comme on le voit sur la courbe n° 1, on ne risque pas de décomposition des carbonates.

SO₃. — On place 0,5 g de l'échantillon dans un bêcher contenant 50 cm³ d'HCl à 1/5, fait bouillir, ajoute 100 cm³ d'eau bouillante, continue à faire bouillir, filtre immédiatement et lave à fond à l'eau bouillante. Il n'y a plus ensuite qu'à précipiter le sulfate de baryum par addition lente de 20 cm³ d'une solution bouillante de Ba Cl₂ à 10 %.

CaO. — On dose la chaux par précipitation à l'état d'oxalate de Ca d'une partie aliquote du filtrat obtenu précédemment, neutralisée et légèrement acidifiée par l'acide acétique. L'oxalate lavé est soit calciné en creuset de platine, soit décomposé par l'acide sulfurique et titré au permanganate de potassium.

SiO_2 , Al_2O_3 , Fe_2O_3 , TiO_2 . — Déterminés sur une prise de 0,500 g que l'on attaque par fusion au carbonate de sodium et reprend par l'acide chlorhydrique. La marche à suivre est la même que celle décrite plus haut, page 22.

CO_2 . — On déplace le CO_2 des carbonates par de l'acide chlorhydrique et on le dose, par différence dans un appareil de Geissler taré, sur des prises d'au moins 5 g pour obtenir une précision suffisante.

Voici les résultats de ces analyses.

	240	206	201 à 183	182 à 165	150 à 123	93, 92, 91	93
H_2O	19,16	20,33	20,26	20,88	20,36	20,90	21,53
CO_2	4,62	1,35	2,17	0,92	2,10	0,98	0,60
SiO_2	1,70	1,03			1,22	0,66	0,12
SO_3	39,99	44,43	44,02	45,31	43,20	44,13	45,22
CaO	34,14	33,02	33,54	32,86	32,90	32,21	32,50
Al_2O_3						0,12	
Fe_2O_3	0,69				0,08	0,65	
Total.....	100,30	100,16	99,99	99,97	99,86	99,65	99,97
GYPSE....%	86,0	95,5	94,6	97,4	93,0	95,0	97,2

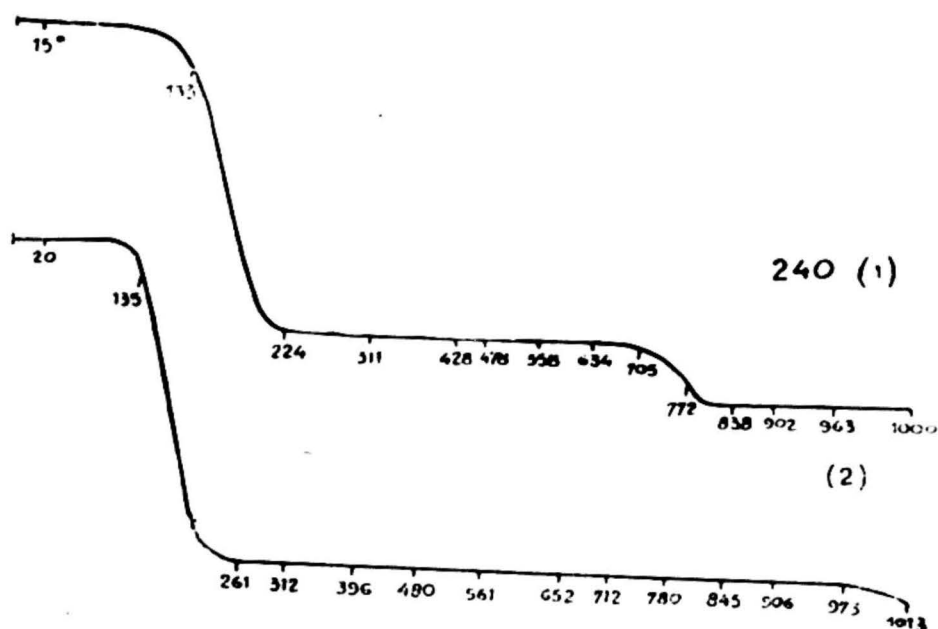
On voit immédiatement la grande pureté de ces bancs dont la teneur en carbonate de calcium dépasse rarement 10 %, mais n'est jamais nulle, même dans les cristaux purs. Il faudrait voir dans la teneur en ce corps plus faible dans la partie inférieure dure de la Haute Masse que dans la partie supérieure tendre l'explication de cette différence de résistance de deux bancs de même formation. Par calcul de la quantité d'eau fixée calculée par rapport à la quantité de SO_3 dosé, on constate que les échantillons retiennent un peu d'eau d'humidité.

Analyse thermogravimétrique.

Si on soumet à l'analyse thermogravimétrique un échantillon brut, tel que l'échantillon 240, on obtient

la courbe 1 présentant deux crochets très nets et très accentués, correspondant l'un à la déshydratation du gypse en anhydrite et l'autre à la dissociation du carbonate de Ca en chaux. Dans les conditions opératoires (0,7 g de substance portés de 20° à 1.000° en 2 h 30), la déshydratation du gypse commence aux environs de 100° C. s'accélère assez rapidement et elle est presque totalement terminée à 220° C; on voit bien en effet, à la forme arrondie du crochet à cette température, que quelques traces d'eau restent toujours fixées et ne partent que lentement et difficilement au fur et à mesure que la température s'élève, comme l'atteste la courbe qui n'atteint un palier horizontal qu'aux environs de 350-400° C.

Ceci montre, une fois de plus, la difficulté avec laquelle se produit la transformation de l'anhydrite



soluble en anhydrite insoluble, transformation encore étudiée récemment par MM. FAIVRE et CHAUDRON (20) qui montrent qu'elle n'est jamais totale au-dessous de 400° C quelle que soit la durée de l'expérience et pensèrent que ce passage allotropique est corrélatif du départ des dernières traces d'eau zéolithique.

Le carbonate de calcium commence à se dissocier dès 600° C; cette décomposition s'accélère à 700° C et elle est totalement terminée aux environs de 800° C. Le spot continue ensuite à décrire une droite parfaite jusqu'à la température de 1.000° C. L'échantillon 201-183 a fourni une courbe identique, les mêmes phénomènes s'observant aux mêmes températures mais les hauteurs des crochets étant naturellement différentes.

Comme l'a déjà remarqué M. DUVAL, il est facile de déterminer la composition de l'échantillon d'après l'enregistrement photographique. Une simple mesure des ordonnées au moyen d'une règle millimétrique permet de déterminer avec une bonne précision les pertes d'eau et de gaz carbonique relatives dont on tire sans difficulté les teneurs en gypse et carbonate de calcium.

201 - 183.

	Par analyse chimique.	Pour enregistrement photographique.
Gypse	94,64	94,55
CaCO ₃	5,93	5,90

Comme on le voit, l'accord est excellent et ceci constitue une méthode rapide et sûre de dosage. En examinant la courbe, on peut faire les remarques suivantes :

Dans le cas d'un chauffage assez rapide (1 h 14 pour atteindre 470° C) on n'observe pas de discontinuité dans la courbe de déshydratation du gypse correspondant au semi-hydrate.

On n'observe pas non plus de perte de poids aux hautes températures, traduisant la dissociation de l'anhydrite formé en anhydrite sulfureux, oxygène et en chaux; cette dissociation commence à 960° C pour l'anhydrite pur et l'addition de silice abaisse notablement cette température (19). Il est vrai que la quantité de silice contenue dans les échantillons est faible mais une courbe construite avec un mélange synthétique de sulfate de calcium précipité et de quartz pulvrisé en proportions stochiométriques traduit nettement cette dissociation par un crochet débutant aux environs de 970° C (courbe 2).

Déshydratation du gypse.

S. PICHON et G. DUVAL (21) ayant observé lors de la déshydratation du gypse un petit palier hori-

zontal que nous n'avions pas observé correspondant à l'apparition du semi-hydrate, il était possible qu'une allure trop rapide de chauffe entraînât une décomposition trop rapide du gypse; aussi la même expérience a-t-elle été reprise avec un échantillon de gypse fer-de-lance, parfaitement pur et transparent de composition chimique correspondant rigoureusement à la formule SO₄Ca, 2H₂O.

L'allure de la courbe est rigoureusement la même que celle de l'échantillon 240 en chauffage rapide; il n'en est plus de même si l'on porte cet échantillon de 15° C à 638° C en l'espace de 5 heures. L'eau commence à s'échapper lentement vers 100° C et le spot décrit une droite jusqu'à environ 125° C, température à laquelle un changement de pente assez net traduit la présence du semi-hydrate. La hauteur de la pente correspondant à cette température montre que c'est bien la forme semi-hydratée qui a produit cet accident (courbe 3).

Il était intéressant de connaître l'allure de la courbe de décomposition de celle-ci; quelques grammes de ce corps ont été préparés facilement en chauffant en pèse-filtre couvert à la température de 130° C du gypse fer-de-lance pur jusqu'à ralentissement de la perte de poids suivie par pesée, correspondant à la déshydratation ménagée. Le semi-hydrate ainsi préparé, porté de 20° C à 600° C rapidement perd également son eau aux environs de 130° C et cette perte est presque totale à 224° C (courbe 4). Cette courbe est exactement superposable à celle du gypse pur, ce qui explique l'absence de discontinuité présentée par la courbe de ce dernier qui fournit un hydrate aussitôt transformé dans ces conditions.

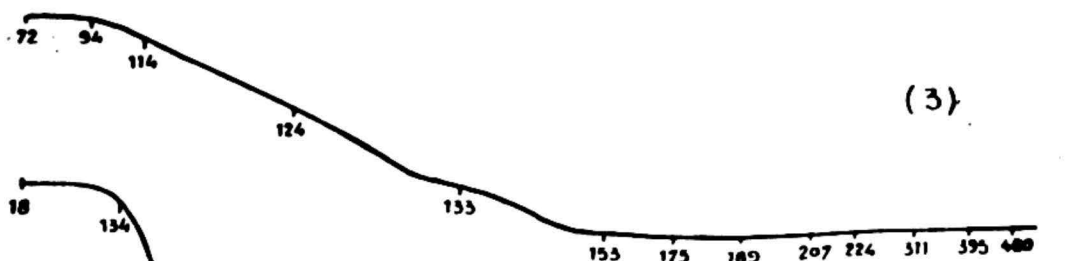
Par contre, les phénomènes observés sont tout à fait différents si l'on opère en creuset couvert; un petit couvercle constitué par une plaquette de platine simplement posée sur la culasse de la thermobalance et rabattue aux quatre bords suffit à créer lors de la déshydratation une atmosphère de vapeur d'eau dont l'action catalytique a pour effet d'abaisser la température de transformation du gypse comme l'a montré M. CHASSEVENT (22). En chauffant rapidement (température de 500° C atteinte en 1 h 30) du gypse dans ces conditions, on observe cette fois-ci un changement de pente brusque et très net aux environs de 170° C, température pour laquelle l'ordonnée ne correspond pas pourtant très exactement à la formation de semi-hydrate et indique qu'à cette température il y a encore du gypse non transformé (courbe 5). L'apparition de ce crochet a été causée par la faible teneur en vapeur d'eau de l'air présent au-dessus de la surface du produit contenu dans la nacelle. Cette surpression a suffi pour produire une légère accélération de la déshydratation du gypse et un petit retard de celle du semi-hydrate. Celui-ci n'est transformé en anhydrite soluble qu'aux environs de 250° C.

alors que le même échantillon chauffé d'une manière identique mais en creuset découvert l'est déjà à 220° C.

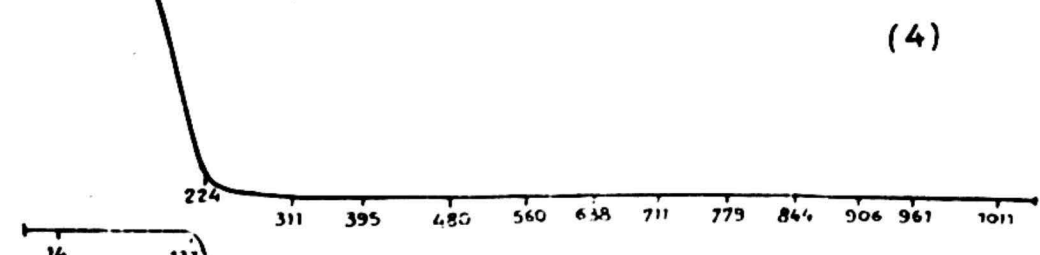
Le phénomène est encore plus net si on laisse les équilibres s'établir en chauffant plus lentement (500° C atteints en 3 h : courbe 6), ce qui a aussi pour effet de rendre moins visible la transformation

de l'anhydrite soluble produit en moins grande quantité que dans un chauffage rapide.

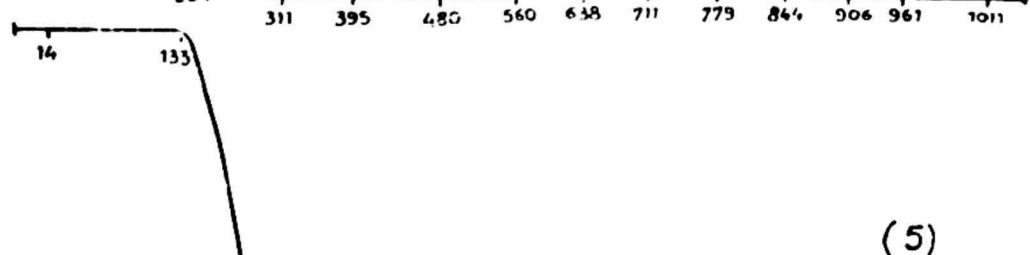
La pente très marquée correspondant à la déshydratation du gypse est prolongée par une pente d'inclinaison moins forte, se raccordant à elle par un point d'infexion situé aux environs de 170° C; une fois le semi-hydrate déshydraté, un troisième crochet



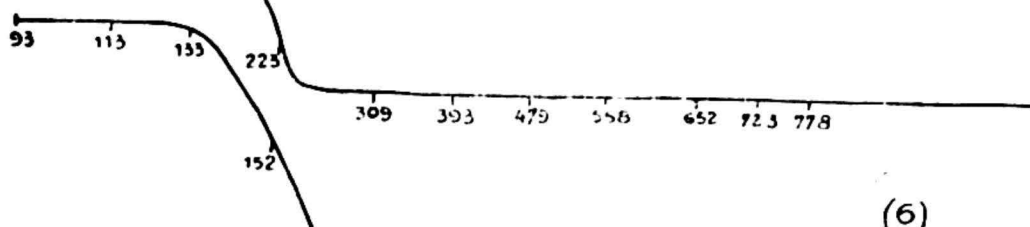
(3)



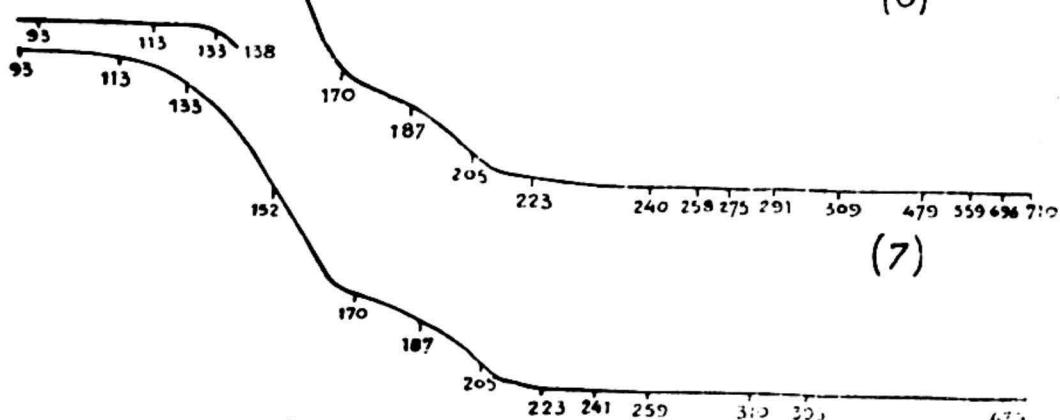
(4)



(5)



(6)



(7)

contre pourtant encore bien la transformation progressive de l'anhydrite soluble en anhydrite insoluble.

En vue d'essayer de préciser le mécanisme de déshydratation du gypse dans l'air humide, l'expérience suivante a été réalisée : du gypse pur (échantillon fer-de-lance) est chauffé en creuset couvert lentement, dans des conditions identiques à celles citées précédemment; alors qu'il a commencé à perdre une partie assez faible de son eau, on le trempe en relevant brusquement le four électrique recouvrant la nacelle; une fois le corps refroidi et le cylindre enregistreur portant le papier photographique ramené à sa position initiale, l'appareil est remis en marche comme auparavant; le spot décrit alors une courbe simplement décalée par rapport à l'autre d'une hau-

teur correspondant à la perte d'un peu d'eau. Puis on constate que la déshydratation reprend à peu de choses près à l'endroit où elle s'était arrêtée et à la même allure (courbe 7).

Le départ des premières molécules d'eau n'a donc modifié en rien l'état cristallin du réseau; si au lieu de n'intéresser que quelques molécules, celui-ci avait bouleversé l'édifice, l'eau ayant libre passage aurait pu s'échapper après trempe à une température bien inférieure à celle observée et beaucoup plus rapidement; la seconde courbe au lieu d'être superposable à la première s'en écarterait notablement dès les basses températures et présenterait ensuite une pente beaucoup plus accusée. C'est ce qui se passe dans le cas du phosphate bicalcique (23).

II. Analyse spectrographique.

Les argiles formées dans les conditions les plus variées retiennent quantité d'éléments accessoires; c'est ainsi qu'AUSTIN et BASSETT (24) trouvèrent dans différentes argiles du Tennessee et de Floride les éléments suivants : B, Ba, Be, Cd, Cr, Cu, Ga, Li, Mn, Ni, Pb, Pd, Sb, Sn, Sr et Zn. BOSAZZA (25) trouva de la même manière du vanadium et du molybdène dans des efflorescences qui se produisaient sur des briques d'argiles sud-africaines.

Il y a de nombreuses méthodes permettant d'analyser spectrographiquement un minéral : A. DE GRAVYON (26) fond les silicates réduits en poudre dans le carbonate de sodium sur un fil en forme de V et fait jaillir l'étincelle d'un autre fil. H. MORITZ après fusion alcaline oxydante en creuset de nickel redissout dans l'eau bouillante, évapore, traite à l'HCl et place sur une électrode de Gerlach la solution concentrée à 10 %. E. PREUSS (27) étudiant des ardoises et des granites, en chauffe 1 à 3 g dans un tube de charbon purifié porté graduellement jusqu'à 2.000° C au moyen d'un four électrique; les éléments volatilisés sont entraînés par un courant d'azote dans la flamme d'un arc décelant les éléments qui distillent peu à peu dans l'ordre suivant : Hg, Cd, Zn, Bi, As, Tl, Ge, Pb, Te, In, Sn, Ga, Pb.

D'autres comme AUSTIN et BASSETT, se contentent plus simplement de placer l'échantillon dans une électrode munie d'une cavité. En opérant de la sorte sur nos échantillons, nous n'avons pas constaté la présence de beaucoup d'autres éléments que ceux déjà signalés par la méthode chimique classique; dans le cas de l'échantillon 242 par exemple, on ne décèle que le cuivre et le vanadium, dont les raies sont perdues au milieu de la foule de celles produites par le magnésium, l'aluminium, le silicium, le titane et le calcium.

Il était donc nécessaire de concentrer les impuretés dans différentes fractions ou précipités que l'on examinerait au spectrographe; plus le poids de ces fractions serait faible et plus la concentration des impuretés y serait grande entraînant une plus grande sensibilité de l'analyse.

Ce fut la méthode employée par Cl. HÉBERT (28) qui mit au point un procédé de fractionnement lui permettant de déceler dans différents phosphates naturels de nombreuses impuretés; nous nous sommes arrêtés à cette manière d'opérer, simple et sûre, la reprenant pour notre compte et l'adaptant à l'analyse des argiles.

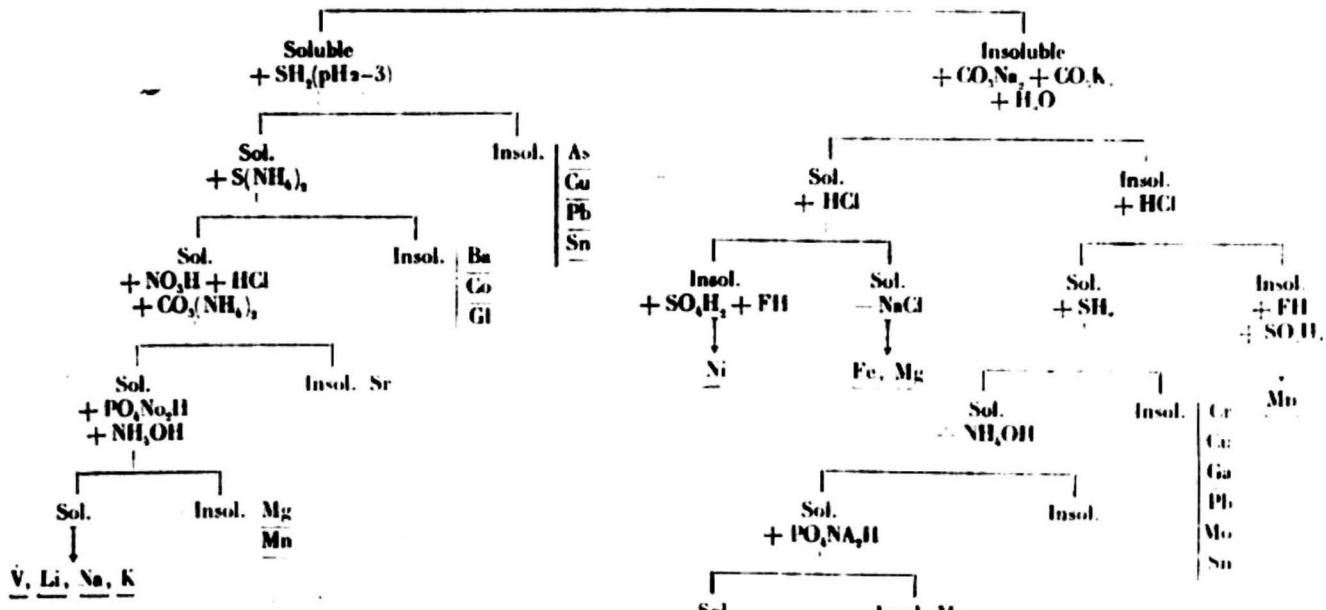
Premiers essais. — Des essais furent d'abord tentés mettant en jeu la volatilité des chlorures métalliques de valence inférieure; de l'argile préalablement calcinée à 800° C est placée après broyage dans une nacelle et balayée dans un tube porté à 500° C par un courant d' H_2 qui a pour but de réduire les oxydes métalliques; puis la nacelle, pleine d'un produit qui, de marron est passé au gris métallique, est introduite dans un tube chauffé parcouru par un courant de chlore soigneusement purifié; le chlorure de fer produit ne tarde pas à se volatiliser, entraînant comme nous le pensions, les autres chlorures produits en quantités plus minimales. Il ne tarde pas à se condenser et à former un dépôt rouge. Le tube est ensuite lavé à l'eau distillée et les chlorures dissous dans cette eau évaporés à sec dans une capsule; le résidu obtenu est ensuite passé au spectrographe: il n'a malheureusement pas été possible de déceler de raies intéressantes parmi la masse de celles fournies par le fer.

Apparemment, les impuretés étaient contenues à l'état de combinaisons très stables, imbriquées dans de grosses quantités d'argile et il fallait avoir recours

à des méthodes plus énergiques pour les faire entrer en réaction. Aussi, le fractionnement résumé dans le tableau I, a-t-il été employé. En voici les grandes lignes : l'argile est épuisée par de l'acide chlorhydrique concentré bouillant; tandis que l'on opère sur le filtrat les séparations de la méthode classique d'analyse chimique, le résidu est fondu au mélange de carbonates et le culot repris par l'eau froide; par filtration, on élimine la plus grosse partie du fer

engagé à l'état de carbonate insoluble; ce filtrat traité par l'acide chlorhydrique donne un précipité qui sépare et traité à l'acide sulfurique et fluorhydrique donne un résidu, tandis que l'on élimine le chlorure de sodium du second filtrat obtenu, par barbotage d'acide chlorhydrique et filtration. Le premier insoluble, composé en grande partie de carbonates insolubles qui y sont contenues recherchées dans le filtrat et l'insoluble.

TABLEAU I.
ARGILE + HCl



Nous indiquons dans le tableau I quels sont les éléments intéressants trouvés dans chacune des fractions. Cette méthode conduisait à des résultats intéressants mais en revanche était longue et laborieuse, de plus, l'élimination des principaux éléments constitutifs de l'argile ne se faisait qu'en plusieurs étapes, les séparations n'étant jamais quantitatives. Le traitement à l'acide chlorhydrique d'argiles facilement attaquables répartissait de grosses quantités d'aluminium et magnésium à la fois dans le filtrat et dans l'insoluble sans pour cela séparer d'une manière beaucoup plus rigoureuse certains éléments tels que le Cu et le Sb... sans parler du fer qui restait en quantité appréciable dans l'argile non attaquée comme le prouvent les analyses effectuées suivant la méthode de J.-L. TRIFAUT.

Pour ces différentes raisons, cette méthode fut abandonnée et remplacée par la suivante, fondée sur les remarques ci-après :

L'acide sulfurique à ébullition décompose la plupart des silicates en faisant passer l'Al, le Ca et le

Mg à l'état de sulfates solubles; il décompose également les matières organiques présentes dans les marines et insolubilise le baryum, la silice libérée peut être facilement éliminée par traitement à l'acide fluorhydrique.

On peut facilement précipiter à l'hydrogène sulfuré des métaux contenus en petite quantité dans un liquide si l'on ajoute à cette solution un peu de chlorure mercurique; le sulfure de mercure précipite, entraînant avec lui tous les sulfures formés; on l'élimine ensuite facilement par volatilisation (28).

On peut facilement séparer quantitativement dans une solution l'aluminium de Fe³⁺ et Be⁺⁺ à l'état d'AlCl₃, 6H₂O, en ajoutant à la solution un volume égal d'éther diéthylique saturé de HCl et en faisant barboter de l'acide chlorhydrique gazeux dans le mélange refroidi à 0° C jusqu'à saturation; le sulfate de calcium est également très peu soluble dans ce mélange, la séparation est moins bonne en présence de NH₄Cl, NaCl, KCl et MgCl₂... et il est bon de faire une séparation préalable à l'ammoniaque; en présence d'un excès d'acide tartrique, le fer ne précipite pas.

pète pas à l'ammoniaque; par addition de sulfure d'ammonium à la solution on peut ainsi le séparer de Be et de V qui ne précipitent pas.

Le nitrate de calcium est très soluble dans le mélange à parties égales éther-alcool tandis que le nitrate de baryum l'est très peu.

Le magnésium dont le carbonate est peu soluble peut être facilement séparé des alcalins par traitement à la liqueur de Schaffgoth en l'absence de sels ammoniacaux.

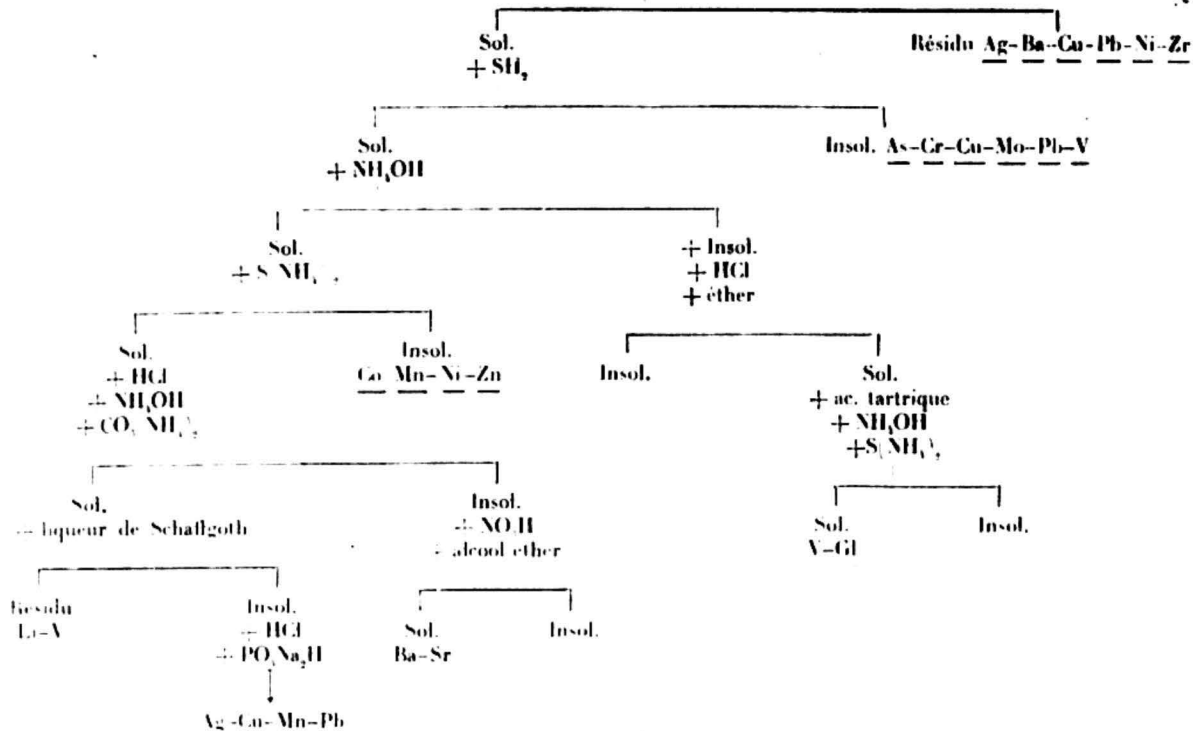
Voici le mode opératoire définitif (tableau II) :

10 g d'argile préalablement décarbonatée à l'acide

chlorhydrique à 5 % sont introduits dans une capsule de platine et additionnés de 20 cm³ d'acide sulfurique concentré; on délaie au moyen d'une spatule, ajoute 10 cm³ d'acide fluorhydrique et évapore au bain de sable; on renouvelle cette attaque, évapore à nouveau jusqu'à la presque totale disparition des fumées blanches sans aller jusqu'à sec. Après addition de 10 cm³ d'acide chlorhydrique concentré et nouvelle évaporation, on épouse par l'acide chlorhydrique à 5 % le contenu de la capsule. Le résidu est lavé à l'eau, calciné et mis en tube; il constitue la première fraction principalement composée de Ag, Cu, Ba, Pb, Ni et Zr.

TABLEAU II.

ARGILE
+ SO₄H₃ + FII



On fait passer de l'hydrogène sulfuré dans la solution filtrée additionnée de quelques centimètres cubes d'une solution saturée de chlorure mercurique; le sulfure très lourd est aisément décanté; on le lave, le séche et le calcine en creuset de porcelaine. Les quelques milligrammes qui restent au fond peuvent contenir du plomb, du cuivre, de l'arsenic, du molybdène, du chrome et du vanadium.

Après ébullition prolongée, peroxydation par 1 cm³ d'acide azotique concentré et addition de quelques gouttes de bleu de bromothymol, de l'ammoniaque

est ajoutée goutte à goutte jusqu'à virage au vert et l'on filtre la solution portée à ébullition.

Le précipité gélatineux est dissous dans quelques centimètres cubes d'acide chlorhydrique concentré; cette solution est additionnée d'un égal volume d'éther saturé d'acide chlorhydrique; le mélange séparé en deux couches est mis dans un flacon laveur plongé dans de la glace que l'on agite à la main pendant que l'on fait barboter de l'acide chlorhydrique; au bout de peu de temps, le liquide devient homogène et le chlorure d'aluminium ne tarde plus à précipiter.

On enlève, retire le verre fritté contenant le chlorure d'Al, maintient le vide quelque temps dans la fiole dont le fond est alors plongé dans de l'eau chaude de manière à chasser l'éther, ajoute 1 g d'acide tartrique à la solution, de l'ammoniaque et du sulfure d'ammonium; le précipité contient le fer, du vanadium et du plomb.

On évapore à sec le filtrat et le calciné; l'aluminium qui a échappé à la séparation sert de support à Be. Encore chaud, le filtrat provenant de la séparation ammoniacale est traité par le sulfure d'ammonium; on trouve dans les sulfures calcinés le nickel, le cobalt, le zinc et le manganèse.

La solution est débarrassée du sulfure d'ammonium par ébullition à l'acide chlorhydrique; une filtration élimine le soufre formé et on précipite la chaux, en faible quantité, dans les argiles, par le carbonate d'ammonium et l'ammoniaque. Quelques gouttes d'acide azotique suffisent à dissoudre le précipité transvasé dans un creuset de platine; après une évaporation à sec au bain-marie et un séjour de 12 h à l'étuve à 110° C on triture le résidu avec 10 cm³ d'un mélange d'alcool et d'éther (1 partie d'alcool absolu pour 1 partie d'éther anhydre). On filtre et calcine le résidu composé de quelques milligrammes de chaux non séparée contenant le baryum et le strontium.

La liqueur est évaporée à sec en capsule de platine, calcinée modérément jusqu'à totale élimination des sels d'ammonium; les résidus sont humectés de liqueur de Schaffgoth, évaporés de nouveau à sec et repris par 10 cm³ de cette liqueur. Après 12 h de repos, on filtre. L'insoluble est dissous dans l'acide chlorhydrique dilué et précipité par l'ammoniaque après addition de quelques gouttes de solution de phosphate disodique saturé. Calciné, on y découvre à l'analyse le Mg et le Mn.

Le filtrat évaporé à sec renferme le sodium, le potassium, le lithium et le vanadium.

Alcalins. — Beaucoup d'alcalins ayant pu se perdre en route nous avons préparé également cette dernière fraction en traitant l'échantillon directement par la méthode de LAWRENCE-SMITH et en passant la solution obtenue au spectrographe Cojan.

Préparation des Réactifs.

CL. HEBERT (28) a insisté sur la nécessité absolue qu'il y avait d'employer des réactifs purs. Les réactifs couramment employés dans les laboratoires et appelés chimiquement purs renferment quantité d'impuretés gênantes et faire des analyses en les utilisant n'aurait aucun sens; nous avons été amenés à préparer des réactifs très purs et nous nous bornons à rappeler les précautions prises pour leur préparation.

A. Eau.

L'eau distillée préparée au laboratoire contient du fer, de l'aluminium, du magnésium, du manganèse, du plomb, du cuivre et du calcium. Pour préparer de l'eau réellement pure, nous avons utilisé un appareil Femel à eau bidistillée, entièrement en Pyrex, composé d'une fiole conique d'un litre comportant un rodage sur lequel vient s'adapter un réfrigérant tronconique. La fiole étant remplie à moitié d'eau distillée, on ne recueille que la fraction moyenne du distillat: les fractions de tête (un quart du volume initial) et de queue (un quart du volume initial) sont rejetées.

B. Acide chlorhydrique.

L'acide chlorhydrique « chimiquement pur » peut contenir de l'aluminium, du fer, du manganèse, du titane, du plomb, du cuivre, de l'arsenic, de l'étain, du magnésium, du zirconium, du calcium et du sodium. Nous avons préparé de l'acide chlorhydrique pur en chauffant de l'acide et faisant barboter le gaz dégagé, après purification dans un laveur à acide sulfurique et deux flacons laveurs à eau bidistillée, dans de l'eau bidistillée jusqu'à saturation.

C. Acide sulfurique.

L'acide sulfurique dit « pur » contient du fer, de l'aluminium, du titane, du cuivre, du plomb, du chrome, du zirconium et du sodium. Nous l'avons distillé dans une cornue chauffée dans une marmite contenant un fond de sable. La marmite est recouverte d'une plaque d'amiante percée d'un trou pour laisser passer le haut de la cornue. Le col est engagé dans une allonge sur laquelle on fait couler de l'eau. On ne recueille que la fraction moyenne du distillat, c'est-à-dire un quart du volume mis dans la cornue (cornue à moitié pleine).

D. Chlorure mercurique.

Le chlorure mercurique « pur » de commerce contient du fer, du plomb, du cuivre, de l'arsenic, du magnésium et du silicium. Nous avons préparé ce corps en faisant barboter un courant de chlore soigneusement lavé dans du mercure fraîchement distillé, surmonté d'une couche d'eau bidistillée, dans laquelle le chlorure vient se dissoudre au fur et à mesure de sa formation.

E. Chlorure d'ammonium.

Le chlorure d'ammonium « pur » du commerce contient du lithium. Nous l'avons purifié par sublimation très lente dans une cornue chauffée au bain de sable.

F. Carbonate de calcium.

Le carbonate de calcium « pur » du commerce contient du potassium. Nous avons préparé du carbonate de calcium en faisant barboter un courant d'acide car-

bonique lavé dans deux flacons à laveurs à eau, dans une solution ammoniacale de chlorure de calcium pur. Le précipité obtenu est essoré, lavé très abondamment à l'eau bouillante séché et pulvérisé.

L'acide fluorhydrique ne donne pas de résidu quand on l'évapore à sec en capsule de platine. L'acide nitrique ne contient pas non plus d'impuretés.

Modes d'obtention des spectres.

Spectrographe Féry.

C'est un spectrographe à prismes de quartz de 30° à faces courbes, auto-collimateur. Le spectre fourni par l'arc jaillissant entre deux électrodes de carbone, d'intensité réglable, grâce à un rhéostat, est projeté au moyen d'une lentille fixe sur la fente du spectrographe. Une cavité cylindrique d'environ 1 mm de diamètre sur 2 mm de profondeur ménagée dans l'électrode inférieure reçoit quelques milligrammes de substance à analyser. Les électrodes doivent être soigneusement purifiées à l'avance, celles fournies dans le commerce contenant fréquemment du bore, du fer, du silicium, de l'aluminium, du magnésium, du titane, du cuivre, du calcium, et du phosphore. On purifie suffisamment des électrodes de 30 cm de longueur et 0,6 cm de diamètre en les faisant parcourir par un courant de 600 ampères pendant 3 minutes. Cette purification doit être achevée avant chaque pose en faisant jaillir l'arc sous quinze à vingt ampères pendant deux minutes. Un chariot déplaçable devant un repère contenant un film photographique orthochromatique ultra-sensible permet l'impression de 11 spectres sur le même film.

Nous avons constaté qu'un temps de pose de 1 minute suffisait largement, une exposition plus prolongée ne faisant qu'augmenter le fond continu; durant ce temps, l'intensité est élevée progressivement de 5 à 10 ampères de manière à volatiliser progressivement les différents éléments. Entre les spectres des échantillons sont intercalés des spectres du fer, produits par le jaillissement de l'arc entre deux électrodes de fer pur sous sept ampères et pendant 10 secondes. Un comparateur muni d'une vis micrométrique permet le dépouillement des spectres en se référant à l'atlas du spectre du fer de R. Bossuet et P. Montagne. Une fois la longueur d'onde des raies ainsi déterminée, on recherche la nature de ces éléments dans des tables. La recherche des raies ultimes,lève ensuite toute indétermination. La région explorée s'étend de 2.300 à 5.000 Å.

Spectrographe Cojan.

Il permettra la recherche des alcalins, difficilement décelables dans l'arc au charbon avec le spectrographe

Féry; leurs raies caractéristiques se trouvent dans une zone trop sombre (bande de Swana de 3.500 à 4.000 Å) dans laquelle la dispersion est trop faible. Le spectrographe Cojan à optique de verre permet l'observation sur des plaques panchromatiques de la région comprise entre 3.500 et 6.800 Å.

Des petits bâtonnets de pyrophosphate de magnésium qui servent de support sont préparés de la manière suivante : on précipite du phosphate amoniacal-magnésien, l'essore, le lave énergiquement et remplit de la pâte obtenue des petits moules en bois qui sont mis à sécher à l'étuve à 110° C. On retire sans difficulté après un séjour de 12 heures les bâtonnets qui ont subi par dessiccation un retrait appréciable et les calcine au four Meker. Ils acquièrent alors une grande dureté; pincés entre deux morceaux de charbon de bois et imbibés de solution à étudier, ils sont approchés progressivement d'une flamme produite par un petit chalumeau oxy-acetylénique qui les dessèche peu à peu; puis on les imbibe à nouveau et recommence plusieurs fois l'opération de manière à bien les enrichir en chlorures alcalins.

La flamme projetée au moyen d'une lentille sur la fente de l'appareil doit présenter un dard bleu d'environ 1 cm de hauteur; c'est finalement immédiatement au-dessus de ce dard que le bâtonnet est placé pendant une durée de 1 minute.

On projette un spectre étalon en imprégnant le bâtonnet de solutions de chlorures de Li, Cs et Rb. Il est ensuite facile de comparer à l'œil nu les spectres à étudier en se référant aux raies 6.710 et 6.103 pour Li 4.202 et 4.215,7 pour Rb, très aisément reconnaissables.

Résultats.

Ils sont groupés dans le tableau III.

On remarque immédiatement que le vanadium, le manganèse, et le lithium sont communs à tous les échantillons; le cuivre se trouve également très fréquemment ainsi que le molybdène. Il semble que ce sont les argiles qui possèdent les propriétés plastiques les plus marquées qui possèdent le plus d'éléments qui auraient pu ainsi être plus facilement retenus, à moins que ce ne soit dû à l'origine marine de ces mêmes bancs à qui ces éléments auraient été apportés par l'eau de mer qui en est particulièrement riche.

Le strontium doit vraisemblablement se trouver dans 242 à l'état de strontianite, déjà signalée par A. DE LAPPARENT (29).

Quant au zirconium, sa présence s'explique facilement; on l'a souvent observé dans les marnes en grains roulés de zircon ou en cristaux de dimensions toujours très réduites.

Le nickel se manifeste dans les échantillons 151 et 101 par un nombre anormalement élevé de raies; le premier contenait disséminé dans sa masse de la

sépiolite; le principal minéral de nickel, la garnierite est également une sépiolite: doit-on faire un rapprochement ou conclure à une simple coïncidence?

TABLEAU III.

	Ag	As	Au	Ba	Cd	Co	Cr	Cu	Ga	Gl	Mn	Mo	Ni	Pb	Sn	Sr	V	Zn	Zr	La
268						+							+				+			
256							+										+			+
242						+	+	+		+	+	+				+	+	+	+	+
242 bis	+	+	+	+						+	+	+								
241																				
217																				
153							+	+												
151								+						+						
108																	+			
101																				

Analyse spectrographique des gypses.

Le gypse étant soluble dans l'eau quoique faiblement (2,4 g par litre), une solution simple pour le débarrasser de la plupart de ses impuretés consistait à en lessiver dans une conserve 5 g très finement pulvérisés (tamis 300) par une dizaine de litres d'eau dont l'agitation était maintenue par simple barbotage d'air comprimé; cette eau est remplacée tous les jours après décantation et siphonnage par une quantité nouvelle jusqu'à total épuisement de l'échantillon. Une solution

diluée d'acide chlorhydrique remplirait plus rapidement ce rôle mais risquerait de solubiliser des impuretés. Il n'y a plus qu'à placer entre les électrodes du spectrographe le résidu brunâtre après séchage et en faire l'analyse.

A côté des éléments habituels (Ca, Si, Ti, ...) fournit de nombreuses raies, on retrouve les éléments suivants présentés dans tous les échantillons : Cu, Mn, Ni, Pb et plus particulièrement : Sb et Tl dans l'échantillon 93.

III. Dosages divers.

Sont groupés ici quelques dosages de cations ou d'anions que l'on pouvait supposer présents dans les marnes et qui nécessitaient parfois, étant donné leur faible teneur, des méthodes spéciales de dosage.

Dosage du manganèse.

En reprenant par l'acide chlorhydrique le produit de la fusion aux carbonates de l'échantillon 217, fortement coloré en vert par le carbonate de fer, on observe sur les parties du culot qui ne plongent pas directement dans le liquide mais sont pourtant exposées aux vapeurs acides des traces violettes dues à la présence de Mn; ceci est, du reste confirmé par l'analyse spectrographique dans laquelle le manganèse se manifeste par une intensité de raies assez forte.

On décompose 1 g de l'échantillon par une attaque répétée en capsule de platine par l'acide fluorhydrique et l'acide sulfurique. On poursuit les attaques si la désintégration n'a pas été totale. L'excès d'acide fluorhy-

drique est chassé par une évaporation à l'acide sulfurique pur au bain de sable jusqu'à cessation de fumées blanches sans calcination. Le résidu est repris par l'acide nitrique dilué et filtré.

20 cm³ de NO₃Ag à 2 g par litre sont ajoutés au filtrat recueilli dans un Erlenmeyer; on filtre s'il se forme un trouble dû à la précipitation de AgCl, ajoute 1 g de persulfate d'ammonium solide et met au bain-marie. Dès que la coloration rose apparaît, on retire la fiole en ayant bien soin de ne pas la remuer et la plonge dans une conserve contenant de l'eau froide; au bout de peu de temps la coloration est totalement développée. Le liquide est transvasé dans une fiole jaugée que l'on ajuste avec de l'eau distillée et on en détermine la concentration au colorimètre de Meunier

étalonné pour les longueurs d'onde $0,52 \mu$ et $0,47 \mu$ avec des solutions de permanganate de potassium très diluées.

Les marnes vertes (242) comme les marnes bleues (217) en ont la même teneur : 0,035 % comptés en MnO , rapportés à l'échantillon brut séché à $110^\circ C$. On trouve une même teneur de 0,035 pour l'échantillon 151 bis : Cet échantillon avait attiré notre attention par le fait remarquable suivant : calciné et épuisé par de l'eau distillée, il fournit une solution limpide mais de coloration violette; en concentrant cette solution et soumettant le résidu à l'analyse spectrographique, on avait trouvé les éléments : Ca-Si-Ti-Mg-Zr-Mn-V-Cu. Cette teneur en Mn n'est pas très forte mais peut tout de même expliquer cette coloration.

Le manganèse contenu dans le gypse pied-d'alouette pur (93) n'est pas dosable ainsi que celui contenu dans 108 et 101.

Dosage des phosphates.

On pouvait supposer également la présence de phosphates apportés par l'eau de mer. Ce dosage s'effectue aisément en attaquant à froid par NO_3H , la marne délitée dans l'eau distillée jusqu'à cessation de formation de bulles dues au dégagement de CO_2 ; l'attaque est poursuivie par un mélange de 1/4 NO_3H et de 3/4 de FH ; on évapore à sec au bain de sable, reprend à chaud par NO_3H dilué, filtre au bout de quelque temps de contact, lave avec de l'acide azotique dilué, et précipite le phosphore après addition de NO_3NH_4 à l'état de phosphomolybdate par la méthode de Woy, filtre sur Gooch taré, calcine à $500^\circ C$ et pèse.

Les teneurs sont faibles :

0,085 % pour les échantillons bruts des marnes vertes et des marnes bleues;

0,098 % pour 108.

Dosage des chlorures.

Les sels solubles contenus dans les argiles étant fixés d'une façon particulièrement énergique sur la molécule argileuse, l'extraction par trituration à l'eau est insuffisante. Il est nécessaire d'opérer la destruction des matières colloïdales par calcination avant de procéder à l'extraction.

On porte 20 g de l'échantillon à $300^\circ C$ en 2 heures au four électrique et on arrête la calcination lorsque cette température est atteinte. Après refroidissement, on place la poudre obtenue dans un tube vertical se terminant en pointe à son extrémité inférieure, du coton de verre tassé en garnissant l'étranglement et on épuise la substance par 500 cm^3 d'eau distillée dont on aura contrôlé la pureté tombant goutte à goutte et très lentement d'un vase de Mariotte. Le tampon de coton de verre devra être suffisamment serré pour que l'écoulement par le bas soit lent et que l'eau imbibé bien

l'argile située au-dessus et qu'il y en ait même une certaine couche surnageante.

Le filtrat est ensuite concentré, additionné de 1 cm^3 de CrO_4K_2 à 1 % et titré par du nitrate d'argent N_{100} .

On trouve ainsi des teneurs variables (rapportées aux échantillons bruts séchés à la température ordinaire :

% $Cl_2 = 0,038$ pour 242-243,

= 0,058 pour 108,

= 0,014 pour 151 bis certainement contenu à l'état de chlorure de sodium.

Dosage des sulfures.

La présence de pyrite a été souvent constatée dans les argiles soit à l'état de gros cristaux remarquables à l'œil nu, soit dispersée dans la masse à laquelle elle confère une couleur bleue pouvant aller jusqu'au noir.

Il était certain qu'il y en avait dans les marnes de Cormeilles; en fondant aux carbonates des échantillons de la marne particulièrement litée et noirâtre, qui forme la base du gros banc de glaise verte (242 bis) et reprenant par l'acide chlorhydrique, il était facile de mettre en évidence le dégagement d' H_2S par barbotage du gaz dans un tube à boules à l'acétate de plomb.

On ne peut doser la pyrite dans les argiles en attaquant celles-ci par un mélange de carbonate et nitrate de potassium au four électrique puis en dosant les sulfates formés. Ces quantités de sulfates étant en général faibles, on ne peut utiliser une pareille méthode pour les marnes de Cormeilles qui contiennent pas mal de gypse; même après traitement au carbonate d'ammonium, le peu qui en resterait risquerait de fausser tout le dosage.

Aussi la méthode suivante a-t-elle été employée :

La pyrite n'étant attaquée qu'en partie par l'acide sulfurique concentré et chaud, on commence par fondre l'argile aux carbonates; il est nécessaire d'en fondre au moins 5 g au four électrique ce qui nécessite l'emploi d'une capsule de platine; une fois la fusion faite, on refroidit brusquement. Le culot se détache facilement et on en introduit les morceaux dans un Erlenmeyer, parcouru par un courant d' H_2 purifié à sa sortie d'un kipp par passage à travers un flacon laveur à eau et un autre à permanganate. On introduit au moyen d'une ampoule à brome de l'acide chlorhydrique; les gaz sortent par une tubulure et vont barboter dans un second Erlenmeyer plein d'eau tiède, destinée à arrêter l' HCl , surmonté d'un réfrigérant à eau qui condense les dernières vapeurs; à la sortie de ce réfrigérant, les gaz traversent une série de deux flacons laveurs à acétate de Cd, le deuxième créant une légère suppression dans le premier facilitant la dissolution. Une fois le culot complètement dissous dans l'acide, on con-

time à chauffer quelques minutes de manière à chasser les gaz dissous. On arrête à ce moment la circulation d'eau dans le réfrigérant de manière que l' H_2S dissous dans les gouttes condensées puisse s'échapper.

Réactif. — Solution à 5 % d'acétate de Cd et 5 % d'acétate de NH_4 .

On ajoute 20 cm³ d'iode $\frac{N}{10}$ titré au contenu du premier flacon laveur et éventuellement du second; quand tout le précipité jaune est dissous et qu'il n'y a plus que du S colloïdal on titre à l'hyposulfite $\frac{N}{10}$ l'excès d'iode.

On trouve ainsi une teneur de 0,12 % en S pour 242 brut séché à 110° C.

On retrouve au moins par deux fois dans le gisement de Cormeilles un banc partagé en deux zones; l'une supérieure gris bleu, l'autre inférieure beige. C'est ainsi que nous avons pris deux échantillons distincts de la couche 122. Les couches 102 (gris-bleu) et 101 (beige) montrent une disposition analogique.

On avait déjà vu que cette différence se traduisait par un crochet sur les courbes d'analyse thermique différentielle qui, en effet, était bien dû à la présence de pyrite, comme le prouvent les analyses.

101 102

H_2O	7,43	5,77
H_2O^+	11,60	14,45
SiO_4	54,35	52,65
Al_2O_3	12,11	13,11
TiO_2	0,40	0,38
Fe_2O_3	4,58	6,11
MgO	8,88	9,07
S^-		0,58

le S trouvé correspond à peu près à l'excès d'oxyde de fer d'un échantillon par rapport à l'autre.

On trouve une teneur semblable de 0,60 % de S pour l'échantillon 122 (partie supérieure).

Signalons à ce propos que les morceaux retirés des marnes blanches (232 et 230, 151 par ex.) présentent parfois sur leurs faces des plaques noires et dures que nous pensions d'abord constituées de pyrite : elles l'étaient en réalité de limonite assez répandue dans ces sortes de marnes.

Dosage du fer ferreux.

Il aurait été intéressant d'en connaître la teneur et de voir si elle correspondait à la totalité du fer contenu dans la portion B. Elle est certainement très importante pour les bravaisites et probablement nulle pour les palygorskites d'après des remarques constatées lors de l'analyse par la méthode fractionnée.

Des essais ont été tentés en attaquant, dans une conserve sacrifiée à chaque opération chauffée au bain

de sable et parcourue par un courant de CO_2 , la substance disposée dans une capsule de platine par de l'acide sulfurique et de l'acide fluorhydrique. Une fois la désagrégation finie et l'acide fluorhydrique entièrement volatilisé, on titre au chlorure titaneux en présence d'acide borique.

Malheureusement les matières organiques contenues dans les argiles plus ou moins attaquées conduisaient aux résultats les plus fantaisistes.

Dosage du molybdène.

Nous avons essayé de le doser par la méthode suivante (36) fondée sur la couleur rouge sang du composé soluble $Mo(SCN)_6(NH_4)_3$, que donne l'anion molybdène avec le sulfocyanure d'ammonium en présence d'un réducteur; fusion de 1 g de marne en creuset de nickel par un mélange de CO_3K_2 et CO_3Na_2 ; après refroidissement et reprise par l'eau et filtration pour éliminer le carbonate de fer insoluble, on neutralise le filtrat par HCl et l'on fait bouillir pour chasser CO_2 . On concentre, ajoute 2 cm³ d'HCl concentré et complète à 100 cm³ avec de l'eau. A 50 cm³ de cette liquide, on ajoute 1 cm³ de solution saturée de SCN (NH_4) puis 1 cm³ de solution de $SnCl_2$ (15 g de $SnCl_2 \cdot 2H_2O$ et 35 cm³ de HCl concentré étendus à 200 cm³ avec de l'eau) et verse immédiatement dans la cuve photométrique.

Malgré la sensibilité très grande de cette réaction qui permet de déceler 20 g à la tonne, nous n'avons pas observé de coloration avec les échantillons de Cormeilles si ce n'est avec l'échantillon 242 bis qui donne une coloration rosée à la limite même de ce qui est visible.

La teneur en Mo de cet échantillon doit être alors d'environ 0,002 %.

Dosage du zirconium.

Fondé sur la mesure de l'intensité de la coloration rose obtenue par la formation du complexe alizarine-sulfonate de zirconium. Ce dosage est applicable pour des teneurs en zircone supérieures à 0,275 mg et donne des résultats exacts à 0,003 mg près (31).

On pèse un échantillon d'argile de 0,5 g dans un creuset de nickel, ajoute environ 4 g de soude en pastilles et effectue la fusion. Une fois la fusion terminée, on fait digérer le résidu à l'eau bouillante, filtre l'insoluble et le lave énergiquement à l'eau distillée. L'insoluble contenant le zirconate de sodium est attaqué par 12 cm³ d'acide chlorhydrique concentré, filtré, lavé à l'eau chaude. Le volume total de la solution ne doit pas dépasser 75 cm³; le papier filtre et son résidu sont conservés.

On laisse la solution se refroidir, ajoute 2 gouttes de phthaléine du phénol et neutralise avec précaution la solution en ne lui permettant pas de s'échauffer au

moyen d'une solution de soude à 50 %. On ajoute 5 cm³ d'acide chlorhydrique N et fait passer le mélange à travers un réducteur de Jones qui est ensuite rincé avec 5 cm³ d'HCl N et 5 cm³ d'eau distillée. La solution réduite est reçue dans une fiole de 100 cm³ et additionnée de 2 cm³ d'alizarine sulfonate de Na à 0,05 % et complétée à 100 cm³ au moyen d'eau distillée. Le pH doit être de 1,1. On laisse reposer 12 heures et fait les mesures colorimétriques sur la solution dont la coloration est alors développée au maximum.

Le papier filtre provenant de la digestion chaude à HCl est calciné et le résidu fondu avec quelque pastilles de soude. On fait alors subir à ce résidu les mêmes traitements que ceux qui viennent d'être vus en négligeant toutefois la réduction du fer qui n'est plus présent qu'en très faible quantité. On peut joindre les deux liquides et faire les mesures.

Les mesures sont effectuées au moyen du colorimètre de Duboscq par comparaison avec une solution étalon d'oxy-chlorure de zirconium obtenue par fusion d'oxyde de zirconium à la soude, filtration, reprise par l'eau et attaque par HCl. Le titre en est déterminé par précipitation à l'ammoniaque, calcination et pesée à l'état de ZrO₂.

Le réducteur de Jones est garni d'argent pulvérulent obtenu en déplaçant une solution de nitrate d'argent par une lame de cuivre tournant très rapidement. On le lave ensuite à l'acide sulfurique dilué jusqu'à disparition des ions cuivre, et le tasse bien dans la colonne de manière à ce qu'il retienne tout le chlorure d'argent.

Les dosages n'ont été exécutés que sur les échantillons qui semblaient manifester une richesse en zirconie appréciable d'après le nombre de raies fournies à l'analyse spectrographique.

Aucune coloration n'a été fournie par les marnes de Cormeilles dont la teneur moyenne en zirconie est ainsi inférieure à 0,0006 %.

Dosage du vanadium.

On retrouve les raies du vanadium dans la plupart des fractions de l'analyse spectrographique et sa présence a été signalée depuis longtemps dans les argiles.

Nous nous sommes inspirés pour en déterminer la teneur de la méthode colorimétrique suivante (32) fondée sur la coloration jaune intense donnée par la benzidine en milieu PO₄H₃ 10N servant d'indicateur d'oxydo-réduction à la réaction :



Cette coloration jaune intense permet de déceler la présence de V à $\frac{1}{5} 10^{-3}$.

On voit que cette réaction n'a pas de rapport avec la coloration bleue utilisée en analyse qualitative qui, elle, dépend de la nature de l'ion vanadium.

Mode opératoire.

Une prise de 0,500 g d'argile est humectée de 10 cm³ d'eau, additionnée de 10 cm³ d'acide sulfurique, 20 cm³ de FH et portée au bain de sable jusqu'à apparition de vapeurs sulfuriques. Après refroidissement, on ajoute 30 cm³ d'eau, porte au bain-marie, laisse refroidir, ajoute du permanganate jusqu'à coloration rose persistante, filtre le léger insoluble et précipite par une solution de cupferron à 3 % que l'on ajoute goutte à goutte jusqu'à apparition de trouble blanc dû à un excès de réactif. On filtre et lave ce qui permet de séparer le Fe, le V et le Ti de Ni et Co. On séche le précipité, le calcine modérément en ayant bien soin de ne pas en perdre et le porte au rouge à 740-800°, 2 à 3 minutes. Après refroidissement, on ajoute quelques cm³ d'eau au contenu du creuset de platine, 10 cm³ de PO₄H₃ très pur ($d = 1,7$) et chauffe au bain de sable jusqu'à dissolution totale des oxydes métalliques. On transvase dans un bêcher le contenu limpide du creuset et lave celui-ci à l'eau chaude. On agite bien l'acide phosphorique très visqueux ne se mélange alors que lentement à l'eau), ajoute quelques gouttes d'une solution de sel de Mohr 0,01 N pour déplacer les chromates, ensuite du MnO₄K jusqu'à apparition de teinte rose pâle (si on obtient la coloration rose dès la première goutte, ceci dénote que l'on a ajouté une quantité insuffisante de sel de Mohr), persistant 3 minutes de manière à peroxyder les sels de fer et de vanadium sans toucher à ceux de Cr. On détruit l'excès de MnO₄K par addition lente de nitrite de sodium à 0,2 % jusqu'à décoloration; l'excès de nitrite qui ne doit pas se monter à plus de 1 ou 2 gouttes est détruit par l'addition de 0,1 g d'urée. On laisse reposer, transvase dans une fiole de 100 cm³, ajoute 5 cm³ de PO₄H₃ concentré, 2 cm³ de solution de benzidine (0,5 g dans 100 cm³ de PO₄H₃ concentré), complète au trait et laisse la coloration se développer.

On fait les mesures au bout de 20 minutes. Celles-ci ont été effectuées au colorimètre de Duboscq par comparaison avec une solution intermédiaire de chromate de potassium qui donne la même coloration jaune que la solution étalon. Cette dernière est préparée en dissolvant un poids connu de métavanadate d'ammonium dans l'eau et colorée par la benzidine en milieu phosphorique 10 N.

Les teneurs trouvées (exprimées en V % de l'échantillon brut) sont pour :

242	0,058,
217	0,054,
223 à 207	0,074,
151	0,0065.

Le vanadium est indosable dans 108 et 101. Il semble que la richesse en vanadium soit liée à celle en fer.

suite

DEUXIÈME PARTIE : ÉTUDE DE DIVERS ÉCHANTILLONS.

ARGILES DE LA RÉGION DE DAHRA.

(A l'est de Mostaganem.)

2 échantillons de la couche BB nous ont été remis, l'un d'argile bleue (partie inférieure) l'autre d'argile jaune (partie supérieure).

Ils absorbent l'eau avec très grande facilité en gonflant fortement et donnant une pâte très adhérente, manifestant ainsi des propriétés marquées de bentonites. En ajoutant quelques cm³ de solution de benzidine à quelques g dans un tube à essais on obtient immédiatement une coloration indigo intense.

Il est probable qu'il s'agit de montmorillonites assez pures.

L'analyse chimique ne tardait pas à le montrer :

Partie blanche. Partie bleue.

H ₂ O ⁻	11,10	10,39
H ₂ O ⁺	5,39	6,02
SiO ₄	59,19	54,48
Al ₂ O ₃	16,00	18,88
Fe ₂ O ₃	1,71	3,04
TiO ₂	0,40	0,40
CaO.....	1,04	1,10
MgO.....	2,42	2,80
K ₂ O.....	1,41	1,50
Na ₂ O.....	1,24	1,10
S ⁻		0,30
Quartz.....	18,20	5,47
Si O ₄ Al ₂ O ₃	4,36	4,41
H ₂ O Al ₂ O ₃	1,91	1,80

En tenant compte de la silice contenue à l'état de quartz, on trouve bien un rapport $\frac{\text{Si O}_4}{\text{Al}_2\text{O}_3}$ voisin de quatre, caractéristique des montmorillonites. On voit que les deux échantillons présentent à peu près la même composition mais la partie bleue est plus riche en fer, ce qui s'explique en partie par la présence de pyrite qui lui confère sans aucun doute sa coloration.

Analyse chimique fractionnée.

Elle montre que la moitié de cette argile est soluble dans l'acide chlorhydrique et qu'il faut attribuer à du mica la présence d'alcalins dans la portion C.

Eau d'humidité.....	11,10 %.
Eau partant au-delà de 110° C.....	5,39
Partie soluble dans l'acide chloridrique.....	49,43
Partie soluble dans l'acide sulfurique.....	15,76
Quartz.....	18,34
	100,02

	B.	C.
H ₂ O.....	3,14	2,25
SiO ₄	31,28	10,10
Al ₂ O ₃	11,84	2,72
Fe ₂ O ₃	1,79	1,78
CaO.....	0,87	
MgO.....	2,42	
TiO ₂	0,0	0,30
K ₂ O.....	0,29	0,70
Na ₂ O.....	0,94	0,16
Si O ₄ Al ₂ O ₃	4,48	$\frac{\text{K}_2\text{O}, \text{Na}_2\text{O}}{\text{Al}_2\text{O}_3} 0,35$

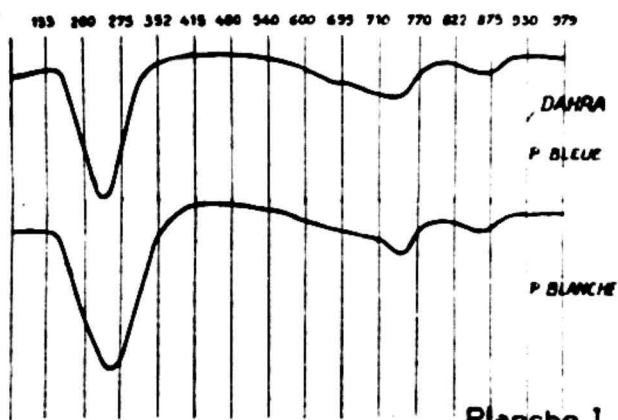
Le rapport silice/alumine de la portion B est celui d'une montmorillonite; toute l'alumine de la portion C entrant dans la composition du mica, pour lequel le rapport $\frac{\text{silice}}{\text{alumine}}$ est 2,95, il faudrait admettre qu'il y a environ 5,5 p. 100 de silice de la portion C qui ne sont que du quartz attaqué par l'aide sulfurique probablement à l'état de fines particules. Le quartz ayant été déterminé dans l'échantillon brut par attaque sulfurique suivant la méthode déjà indiquée page 41 et l'on voit ainsi combien la manière de calculer était déficiente quoique l'on arrive à un résultat à peu près semblable.

Analyse thermique différentielle (planchette 1).

— grand crochet non dédoublé entre la température ordinaire et 420° C correspond au départ de l'eau zéolithique;

— 2^e crochet endothermique entre 500 et 800° C. (*traduisant le départ de l'eau structurale*) comprenant 2 petits crochets endo à environ 600 et 680° C et un plus grand dont le minimum est à environ 750° C;

— un 3^e crochet endothermique entre 800° et 900° accompagné la destruction du réseau cristallin conduisant à l'amorphisation de la substance.



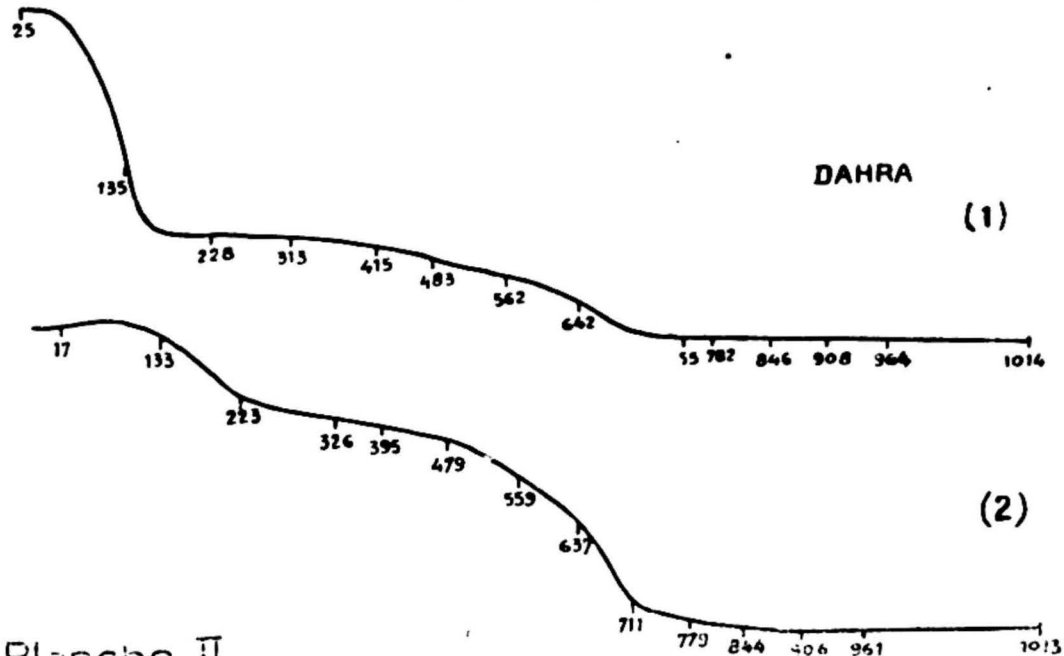
Planchette 1

On obtient une courbe identique en tous points pour la partie bleue mais un léger crochet exothermique apparaît aux environs de 655° C. Il ne peut être dû qu'à la pyrite qui manifestait déjà sa présence à la même température dans les échantillons de Cormeilles.

Déshydratation (planchette II).

L'examen de la courbe (1) obtenue avec l'échantillon blanc, simplement séché à la température ordinaire montre que le départ d'eau se fait en 3 temps; la plus grosse partie entre la température ordinaire et 200° C environ, correspondant au départ de l'eau zéolithique.

Le reste entre 300 et 600 puis entre 660 et 880° C. La forme spéciale de cette dernière pente traduit la difficulté avec laquelle les dernières molécules d'eau s'en vont de 700 à 880° C, après un départ rapide entre 600 et 700. Ce phénomène est encore plus net sur la courbe de l'échantillon préalablement desséché à 105° C (courbe 2). En comparant ces résultats avec ceux de l'analyse différentielle, on constate que ce départ des dernières molécules d'eau (880° C) coïncide avec la destruction du réseau cristallin et il est permis de supposer qu'il en est la cause (il n'y a plus à tenir compte du décalage habituel de température qui ne peut avoir lieu pour d'aussi faibles quantités d'eau).



Planchette II

Le calcul montre que des 5,39 p. 100 d'eau qui restent après séjour à l'étuve à 110° C, 32 p. 100 s'en vont entre 110 et 350°, température à laquelle on observe un point d'inflexion, 18 p. 100 s'en vont entre 350° et 560°, température à laquelle on observe un second point d'inflexion et 50 p. 100 au delà.

Une courbe analogue était donnée par une montmorillonite type du Maroc de composition :

H ₂ O	13,44
H ₂ O ⁺	6,77
SiO ₄	51,66
Al ₂ O ₃	18,68
TiO ₂	2,61
CaO	2,30
MgO	1,69

Analyse spectrographique.

Si l'on triture un échantillon avec de l'eau et que l'on essore, le filtrat obtenu est parfaitement limpide. En le concentrant un précipité blanc apparaît qui s'est révélé être du carbonate de calcium. En examinant le

résidu au microscope, on aperçoit des cristaux de CaNa qui expliquent la présence de sodium dans la portion B et de fines efflorescences.

BOSZAYA (25) avait déjà remarqué que des briques réfractaires fabriquées à partir d'argiles d'Afrique du Sud présentaient des efflorescences jaune-vertâtre rapidement solubles dans l'eau chaude. Avant analysé cette partie soluble dans l'eau, il trouva du sodium en abondance, du vanadium et du molybdène, ce dernier métal n'existant qu'à l'état de traces.

En épousant de la même manière par l'eau distillée un échantillon de cette argile calcinée à la température de 900° C et en soumettant le résidu obtenu par évaporation (quelques Mg pour 20 g d'argile) à l'analyse spectrographique, on trouve également le sodium, le vanadium et le molybdène. D'après le nombre de raies fournies, le vanadium était présent en quantité beaucoup plus grande que le molybdène.

Mais l'analyse quantitative montra que si le vanadium était avec le sodium le principal constituant de

ce résidu, sa teneur pour toute l'argile restait faible; 0,06 p. 100 de l'échantillon séché à 110° C. Comme BOAZZA nous pensons qu'il faut attribuer à la présence du vanadium la formation de ces efflorescences.

Une analyse plus complète de toute l'argile indiquait en plus les éléments suivants : Ag, Ba, Cu, Cl, Mn, Mo, Pb, Sn, Zn, Li. $ZrO_2\% = 0,007$.

CENDRES DE CHARBON.

L'échantillon est constitué par des fumées provenant de la centrale thermique de Gennevilliers.

Analyse chimique :

Perte au feu.	6,61
SiO_2 ...	46,51
Fe_2O_3 ...	4,14
TiO_2 ...	0,75
Al_2O_3 ...	27,55
MgO ...	0,60
CaO ...	13,44

L'analyse spectrographique a permis d'y déceler As, Ba, Bi, Cu, Cl, Mn, Ni, Sn, Pb, V, le glucinium semble y être plus abondant que les autres éléments trouvés car il apparaît dans l'analyse de l'échantillon placé directement entre les électrodes sans concentration préalable.

ÉCHANTILLONS provenant du GISEMENT DE SOUFRE DE NARBONNE.

Analyse du stérile de flottation :

Perte au feu et non dosés.	S^{++} , SO_3 ...	49,24
	SiO_2 ...	12,40
	CaO ...	25,20
	MgO ...	10,03
	Fe_2O_3 ...	0,49
	Al_2O_3 ...	2,62
	TiO_2 ...	0,025

Cet échantillon ne contenait pas d'impuretés intéressantes.

Il n'en était pas de même des deux autres, plus riches en S dont il était facile de se débarrasser par combustion avant le fractionnement.

Concentré fondu en plaque : Ba, Cu, Mn, Na, P, Sn, Sr et Ti.

Concentré humide du filtré : As, Mn, Pb, Sn, Tl.

ÉCHANTILLONS provenant de FOUILLES EN ASIE MINEURE.

Ces échantillons proviennent de fouilles effectuées par M. le Professeur GABRIEL en Turquie et remontent au troisième millénaire avant notre ère.

Ils ont été divisés en 2 lots : 1^e un lot de matières ayant subi un commencement de fusion, de couleur bleu-noir; 2^e un lot de matières non fondues.

La grande densité de ces échantillons pouvait laisser prévoir la présence de fer métallique; mais les fines

particules obtenues par broyage et pulvérisation ne se laissaient pas attirer par l'aimant. Une analyse thermique différentielle ne montrait aucun crochet et ne traduisait aucun phénomène de recrudescence.

L'analyse de ces deux substances a montré une grande analogie de composition chimique caractérisée par une teneur extrêmement élevée en fer.

Échantillons.	Fondu.	Non fondu.
SiO_2 ...	21,00	20,72
Al_2O_3 ...	7,09	6,15
Fe_2O_3 ...	63,16	62,86
CaO ...	8,15	10,35
MnO ...	0,40	0,13

Analyse spectrographique de l'échantillon brut : Si, Mg, Al, Fe, Ca.

Recherche des traces : Ti, Na, Pb, P, Cu, Ni, Zn.

On peut donc penser que ces substances ne correspondent pas à un laitier de fabrication de fer car la composition est tellement voisine de celle d'un bon minéral de fer que le rendement en métal d'une opération métallurgique où elles auraient agi comme laitier aurait été sensiblement nul.

Il est toutefois hors de doute que ces matières ont été fondues d'une manière artificielle.

Le champ des hypothèses est assez vaste :

— essais manqués d'une opération métallurgique dans laquelle le réducteur (charbon de bois) est ajouté en quantité insuffisante;

— fabrication d'objets en silicate fondu (émaux, bijoux, camées).

Quant aux traces retrouvées, elles semblent, étant donné leur faible teneur, être de simples impuretés du minéral.

ARGILES DE ROUGE.

Les échantillons qui nous ont été remis proviennent de Rougé (Loire-Inférieure).

A₁. — « Argile blanche ». — Blanche mais parcourue de veinules couleur ocre, très facilement pulvérisable en donnant un produit farineux.

C₅. — « Argile bleue compacte ». — Argile gris bleu, très plastique et très grasse.

B₃. — « Argile jaune lavée ». — Se présente en lits; à cassure conchoïdale et de couleur ocre.

V₁. — « Argile verte ». — Semble être à l'œil nu un mélange de B₃ et d'une argile verte rassemblée par endroits en quantités importantes.

Il a été préparé un échantillon de cette argile verte en concassant V₁ et séparant les grains verts; cette argile verte ainsi préparée doit contenir encore des petites quantités d'argile jaune qui apparaît quand on sectionne même les plus petits grains; malgré tout le soin pris, on ne peut avoir un échantillon pur. Pulvérisée, cette argile est jaune clair.

Analyse thermique différentielle.

Les courbes fournies par les quatre échantillons présentent de grandes analogies (planche I) :

- crochet endothermique entre 120 et 300° C, fort crochet endothermique entre 550 et 700° C;
- crochet exothermique aux hautes températures.

110 175 225 330 415 450 540 680 695 715 765 820 875 925 975

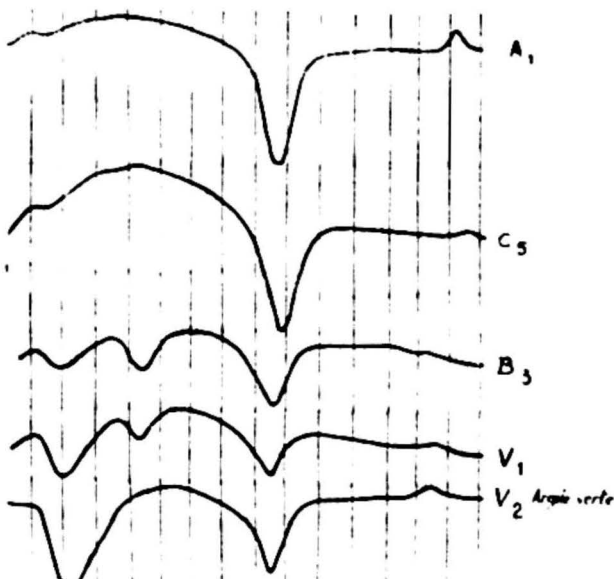


Planche I

Mais :

— le premier crochet endothermique qui est peu marqué pour A_1 et C_5 , l'est beaucoup plus dans B_3 et V_1 et très important dans l'argile verte de V_1 ;

— V_1 et B_3 présentent un crochet endo important entre 300 et 450° C plus légèrement marqué sur V_1 :

— le crochet exothermique qui est très marqué pour A_1 et se situe entre 925 et 950° C est beaucoup moins marqué pour les autres; on le voit nettement à 960° pour C_5 mais il est à peine décelable pour B_3 et ne se situe plus qu'à 900° C; toujours à la même température il est un peu plus marqué pour V_1 et encore plus pour l'argile verte de V_1 :

— le crochet endo 550-700° C est moins marqué pour les deux derniers échantillons que pour les trois premiers.

Il apparaît immédiatement que V_1 est un mélange de B_3 et d'argile verte et que A_1 et C_5 présentent la courbe caractéristique de la kaolinite.

Nous pensions d'abord que B_3 qui a également l'allure d'une kaolinite et qui contient beaucoup de fer comme son seul aspect physique l'indiquait, pouvait s'apparenter à la faratsihite; ce minéral découvert à Madagascar a été considéré d'abord par LACROIX comme une kaolinite ferrière, puis comme un mélange

de nontronite et de kaolinite et finalement par M^{me} CAILLÈRE et M. HÉNIN (39) comme une kaolinite ferrifère associée à un peu de goethite et probablement à 10 ou 15 p. 100 de nontronite; l'analyse thermique du minéral effectuée par ces derniers présente les mêmes caractéristiques que celles de B_3 : départs d'eau hygroscopique et de constitution à 120 et 520° crochet exothermique à 900° C et non entre 930 et 1.000, crochet endothermique à 330° C marquant la présence de goethite.

Analyse chimique.

L'analyse chimique confirme les premiers points :

A_1	H_2O^-	1,08	
	H_2O^+	9,39	
	SiO_4	50,10	
	Al_2O_3	34,01	
	Fe_2O_3	2,44	$SiO_4 / Al_2O_3 = 2,18$
	TiO_2	0,09	
	CaO	1,10	
	K_2O	1,31	$H_2O / Al_2O_3 = 1,56$
	Na_2O	0,47	
	quartz	6,36	

En admettant que le fer soit lié à la silice comme ce doit être le cas dans l'argile jaune qui manifestement constitue les veinules de cet échantillon, le rapport silice/alumine doit être voisin de 2 et nous avons bien affaire à une kaolinite quoique le rapport eau alumine soit assez faible.

Celle de C_5 est à peu près identique.

H_2O^-	1,41	
H_2O^+	8,34	
SiO_4	51,26	
Al_2O_3	34,06	
Fe_2O_3	1,41	$S = 0,30$
CaO	1,16	

La présence de pyrite très uniformément répandue explique la coloration gris-bleu de l'échantillon; le crochet qu'elle doit fournir à l'analyse thermique n'apparaît pas car il doit être complètement englobé dans le grand crochet endothermique; C_5 est donc un mélange de pyrite et kaolinite.

B_3 se caractérise par une teneur très élevée en fer :

H_2O^-	2,16	
H_2O^+	8,45	
SiO_4	46,21	
Al_2O_3	26,56	
Fe_2O_3	14,27	$SiO_4 / Al_2O_3 = 1,98$
CaO	1,50	H_2O
TiO_2	0,12	$Al_2O_3 = 1,80$
Alcalins	traces	
Quartz	15,26	

Le rapport silice/alumine ne laisse aucun doute sur la nature de l'échantillon qui doit être un mélange de kaolinite et d'oxyde de fer; une partie de l'eau devant

être attribuée à cet oxyde, supposé $\text{FeO}(\text{OH})$ ceci éloigne encore de 2 le rapport eau/alumine et l'abaisse à 1,46, valeur assez rapprochée de celle de A_1 . Le crochet endothermique à 330°C est caractéristique de la goethite ou de la limonite, l'état très dispersé de ce minéral dans l'argile rendant toute discrimination impossible entre ces deux minéraux. Ch. DOSOGNE (34) a publié des courbes d'analyse thermique de mélanges kaolinites-goethite et kaolinite-limonite, mais les crochets dus à ces oxydes commencent à des températures nettement plus basses; cette différence peut être attribuée aux conditions qui ne sont pas les mêmes puisque cet auteur étudie des mélanges artificiels.

L'argile verte de V_1 , quoique séchée aussi longtemps à l'air que les autres échantillons a une plus forte teneur en eau dont environ la moitié s'élimine par chauffage à 105°C et une teneur remarquable en oxyde de titane.

H_2O^-	6,33
H_2O^+	7,16
SiO_4	53,78
Al_2O_3	19,15
FeO	4,65
Fe_2O_3	3,63
TiO_2	1,20
MgO	0,76
K_2O	1,10
Na_2O	1,00
Quartz	10,08

Il est probable que cette argile verte est un mélange de kaolinite et de beaucoup de bravaisite qui explique-

rait le rapport silice/alumine voisin de 4; on aurait pu penser aussi qu'elle contenait de la montmorillonite; comme cette dernière, elle donne une coloration bleu-indigo à la benzidine qui n'est du reste pas spécifique mais sa courbe d'analyse thermique ne rappelle en rien les nombreuses courbes publiées dans la littérature de mélanges montmorillonite-kaolinite. La bravaisite explique ce départ de l'eau en 2 temps et son second crochet endothermique se superpose bien à celui de la kaolinite. Le petit crochet endo entre 350 et 415 montre qu'il y a encore un petit peu de goethite-limonite provenant de B_3 .

La perte en eau est plus forte après 105°C qu'avant; cette différence due à la kaolinite ainsi que la valeur du rapport silice/alumine permettent d'évaluer à 7 pour 1 en molécules la proportion de bravaisite par rapport à celle de kaolinite.

L'analyse de V_1 , effectuée sur une prise aussi homogène que possible confirme la présence simultanée de B_3 et d'argile verte.

H_2O^-	4,51
H_2O^+	7,12
SiO_4	50,73
Al_2O_3	26,03
TiO_2	0,40
Fe_2O_3	9,87
CaO	1,20
MgO	traces
Alcal.	0,42

Analyse thermogravimétrique (planchette II).

Elle ne nous apprend pas grand chose; A_1 et C_5 don-

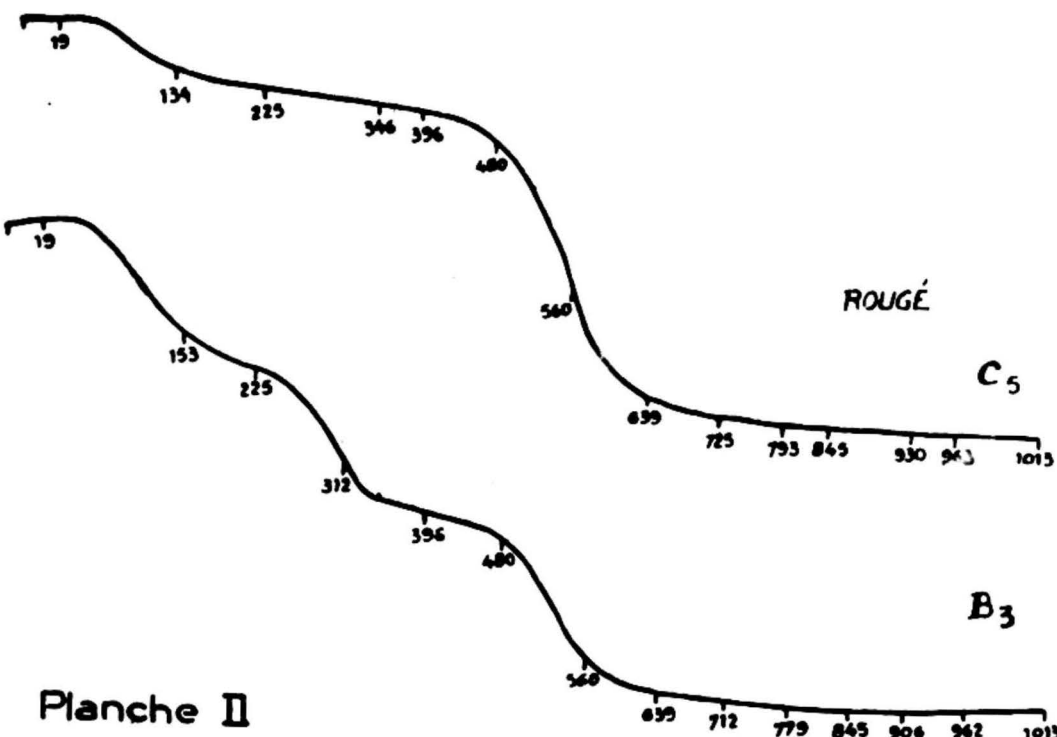


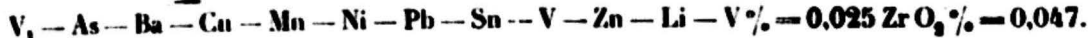
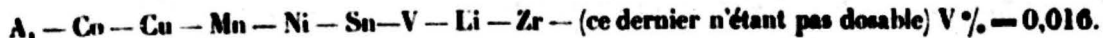
Planche II

uent une courbe identique à celle de la kaolinite de BUNNEY SAINT-AUSTELL (p. 17) sans que la pyrite se manifeste sur C_6 par une anomalie.

La goethite-limonite se manifeste dans B_2 par un crochet débutant vers $200^\circ C$ et terminé vers 350° ;

remarquons que cette courbe pourrait être confondue avec celle d'une attapulgite qui présente les deux mêmes crochets ce qui montre l'insécurité de la thermobalance vis-à-vis de l'analyse thermique, qui, elle, différencie les deux parfaitement.

Analyse spectrographique.



TROISIÈME PARTIE : REMARQUES GÉNÉRALES.

RÉACTION À LA BENZIDINE.

Presque tous les échantillons d'argiles ou de marnes étudiées contiennent des quantités plus ou moins grandes de vanadium et presque tous donnent une coloration au contact d'une solution aqueuse de benzidine, colorations vertes, bleues ou indigo. Ces colorations ne sont pas spécifiques de familles d'argiles; la sépiolite et les polygorskites de Cormeilles donnent une coloration verte, obtenue elle aussi par la glaise à Cyrènes qui se rapproche très nettement d'une bravaisite pure; certaines de ces bravaisites donnent une coloration bleu foncé qui se rapproche fortement de l'indigo obtenu avec les montmorillonites.

Or, la benzidine est oxydée par l'anion vanadique en une combinaison mériquinoidique bleue, qui peut devenir verte aux fortes concentrations. Est-ce que là n'était pas l'explication de toutes ces dissemblances? pour répondre à cette question, le tableau suivant a été dressé :

Échantillon.	Teneur en V.	Coloration.
Argile de Dahra	0,063	indigo.
Montmorillonite du Maroc		indigo.
Argile verte de l'argile de Rougé	0,025	indigo.
242	0,058	bleue.
223 - 207	0,071	bleue.
217	0,051	bleue.
151	0,025	vert foncé.
108	0,0	verte.
102	0,0	pas de coloration.
101	0,0	verte.
A ₁ (Rougé)	0,016	vert pâle.
B ₁	0,023	pas de coloration.
C ₅	0,016	pas de coloration.
V ₁	0,025	vert sombre, indigo par endroits.

Il montre qu'il ne faut pas attribuer à une teneur élevée en vanadium la coloration verte que donnent par exemple des échantillons qui n'en contiennent pas du tout, pas plus que la coloration indigo présentée par l'argile verte de Rougé par exemple qui en contient beaucoup moins que 217 qui ne se colore qu'en bleu. Une chose est certaine : c'est que la coloration est d'autant plus forte que l'échantillon présente un état plus pâtreux, permettant les phénomènes d'absorption :

La couleur est beaucoup plus marquée pour les échantillons de Cormeilles décarbonatés que pour les échantillons bruts quoique la concentration en vanadium reste à peu près la même étant donné la faible teneur en carbonate de certains échantillons. 242 par exemple.

Les échantillons 102 C₅ et V₁ ne donnent pas de coloration; probablement parce que tous les grains argileux sont enrobés de pyrite dans le cas des deux premiers, d'oxyde de fer dans l'autre qui empêche toute fixation.

En ajoutant du métavanadate d'ammonium à une suspension de 108 dans la benzidine on obtient une coloration bleu foncé à la place d'une coloration verte, beaucoup moins forte que celle de 151 à qui on a ajouté la même quantité de vanadium mais qui est moins plastique.

Cette dernière expérience contient probablement la solution du problème: c'est le vanadium soluble dans l'eau qui fournit avec la benzidine une coloration indigo qui est ensuite absorbée par l'argile en donnant une sorte de laque. On a vu que la montmorillonite de Dahra traitée par l'eau donnait une solution qui contenait beaucoup de cet élément, beaucoup plus que les marnes de Cormeilles à qui on fait subir le même traitement; le même fait a été constaté pour une montmorillonite type du Maroc. Les colorations indigo obtenues sont presque les mêmes que celle que l'on obtient

en ajoutant un peu de métavanadate d'ammonium à une suspension de 242 : la différence d'intensité pouvant encore s'expliquer par une moins forte plasticité de la bravaisite.

Il est donc probable que le test coloré de la montmorillonite repose sur la présence d'une assez forte quantité de vanadium présent à l'état de combinaison soluble dans l'eau, capable de réagir sur la benzidine en donnant une matière colorante fixée rapidement à la surface des feuillets argileux. Une expérience permettrait de confirmer cette assertion; vérifier que les montmorillonites qui ne donnent pas la réaction colorée ne contiennent pas de vanadium soluble dans l'eau mais qu'elles la donnent immédiatement par addition d'un peu de vanadate de NH₄.

FLOCULATION SIMULTANÉE DE SOLUTIONS PURES COLLOÏDALES D'ALUMINE ET DE SILICE.

Les roches lentement attaquées par les eaux, un peu plus rapidement par celles-ci chargées de gaz carbonique, fournissent des solutions colloïdales d'alumine et de silice; on y a vu depuis longtemps le mécanisme de formation des argiles qui résulteraient de la flocculation de ces deux solutions en un gel cristallisant ensuite, soit lentement à la température ordinaire, soit rapidement à température élevée et sous pression de vapeur d'eau. Cette synthèse des argiles a tenté de nombreux chercheurs.

SCHWARZ et BRENNER (35) mélangeant des solutions de silicate de sodium et de chlorure d'aluminium et trouvent que la teneur en silice du précipité est d'autant plus élevée que sa concentration est plus forte dans les solutions précipitantes; en opérant en solution diluée, en milieu neutre et laissant le précipité longtemps au contact du liquide, ils constatèrent que ce précipité s'enrichissait en silice et qu'après un temps suffisant, il atteint la composition de la kaolinite; séché à 110° C, ce corps présente un spectre de rayons X semblable à celui de la kaolinite mais il est facilement décomposé par HCl et n'a pas la même courbe de déshydratation que celle donnée par une kaolinite naturelle. Le précipité atteint rapidement la composition de la kaolinite si le rapport SiO₂/Al₂O₃ est égal à 6 dans les solutions ce qui laisserait supposer que celle-ci provient de la décomposition des feldspaths.

Retenant ces recherches avec R. WALCKER (36), SCHWARZ montra que la précipitation ne peut être rapide et totale que dans un domaine assez étroit de pH de 4,8 à 5,0 zone dans laquelle le rapport SiO₂/Al₂O₃ reste à peu près égal à 2 quel que soit le temps de contact et il en conclut que les feldspaths ne peuvent conduire à la kaolinite qu'après décomposition

en silice, alumine et potasse et attaque par l'acide carbonique ou un acide minéral.

VAN NIEUWENBURG (37) émet des doutes sur la nature kaolinique du précipité de Schwarz et prépare un mélange de gels par addition de soude à des solutions d'AlCl₃ et SiO₃Na₂ en proportions telles que le rapport SiO₂/Al₂O₃ soit égal à 2 : en traitant ce mélange à l'autoclave à 200-260 atm pendant 288 heures, il obtint un produit qu'il identifie avec la kaolinite par comparaison de la densité et de l'indice de réfraction.

DITTLER (38) critique les travaux de ses prédécesseurs auxquels il reproche d'opérer en présence d'électrolytes, mais lui-même prépare un sol d'alumine par action d'amalgame d'aluminium sur une solution de chlorure d'aluminium et contenant par conséquent des ions Cl⁻; il le fait flocculer avec des solutions de silice et constate que pour un rapport 1/2 des sels précipitants, le précipité séché à 110° C a la formule Al₂O₃. 1,93 SiO₂. 2,72 H₂O mais se montre amorphe aux rayons X.

W. NOLL (39) mélange des solutions d'AlCl₃ et SiO₃Na₂ dans le rapport 1/2; le précipité reste amorphe même au bout de deux ans. Chauffé à 300° C et 90 atmosphères ce précipité se transforme en cinq jours en kaolinite qu'il identifie par sa courbe de déshydratation, son diagramme de rayons X, son indice de réfraction et sa résistance à l'acide chlorhydrique. Dans des travaux ultérieurs, il montre que la synthèse de la montmorillonite est également possible mais en milieu alcalin. Il prépare (40) également séparément des gels purs de silice et d'alumine qu'il mélange ensuite et traite à l'autoclave; suivant les rapports des constituants et les pressions de vapeur d'eau il obtient de la boehmite, de la bavérite de la pyrophillite ou du kaolin.

En opérant à froid ni RAYCHAUDHURI et DURRY (41), ni M^{me} CAILLÈRE et M. HÉNIN (42) n'obtiennent de résultats; ces derniers ont pourtant obtenu par électrolyse de solutions de silicate de sodium en d'une solution mixte de silicate et d'aluminat sur électrodes d'aluminium ou de magnésium des produits que l'on peut rattacher aux argiles.

Nous voulions voir quels étaient les résultats que l'on pouvait obtenir en précipitant des sels de silice et d'alumine rigoureusement purs, très dilués et additionnés l'un par rapport à l'autre dans des conditions telles que le rapport SiO₂/Al₂O₃ soit constamment égal à 2.

Préparation de silice colloïdale. Il suffit de neutraliser une solution diluée de silicate de sodium par de l'acide chlorhydrique dilué et de dialysier le sel obtenu en renouvelant l'eau jusqu'à atteindre la conductibilité de l'eau pure.

Préparation d'alumine colloïdale. Cette préparation est beaucoup plus délicate; en utilisant la méthode de Graham (précipitation par l'ammoniaque diluée d'une solution aqueuse de AlCl_3 et redissolution de l'alumine dans un excès de AlCl_3) toute l'alumine passait à travers le parchemin par dialyse ultérieure. La méthode de MÜLLER (43), peptisation de l'alumine par l'acide chlorhydrique, ne nous a pas donné de meilleurs résultats; le chlorure d'aluminium est très difficile à éliminer et l'alumine passe en partie au travers du parchemin. Finalement la méthode de KUTZELNIGG-WAGNER (44), MILLER (45) a été adoptée; une plaque d'aluminium de très haute pureté est plongée dans une solution à 2 % de chlorure cuivreux dans l'alcool éthylique à 95 %; la plaque se recouvre immédiatement de cuivre et au bout de quelques jours on débarrasse la plaque de l'aleoogel qui remplit tout le récipient, la lave à l'alcool et la plonge dans l'eau distillée. Peu de temps après, il se forme un couple et le récipient se remplit d'hydro-sol d'alumine d'un blanc laiteux; la plaque est retirée et agitée mécaniquement dans un bêcher dont on renouvelle l'eau fréquemment; quand on a constaté par mesure de la conductibilité, qu'elle ne cédait pas d'ions Cl^- au liquide, on remplace celui-ci par de l'eau pure et maintient l'agitation jusqu'à concentration maxima.

On obtient de bons résultats en se servant de la plaque comme pale d'agitateur, meilleurs que ceux que l'on obtient en agitant le liquide et laissant la plaque immobile; en maintenant cette agitation pendant 15 jours on atteint une concentration de 0,385 g Al_2O_3 l que nous n'avons pu dépasser. (On vérifie la pureté de l'alumine en précipitant le sel et constatant par analyse spectrographique qu'il ne contient pas de Cu^{+} .)

Remarque. L'aleoogel d'alumine se dissout très rapidement dans l'eau en donnant un sel parfaitement limpide et très riche en alumine; malheureusement, l'élimination du chlorure par dialyse s'avère impossible. (Nous avons essayé également d'obtenir un aleoogel pur en mettant une plaque d'aluminium recouverte de cuivre dans l'alcool à 95 % mais sans résultat.)

Precipitation. — On mélange au moyen du mélangeur de M. JOLIBOIS (46) 5 litres de silice et 5 litres d'alumine colloïdale de concentrations telles que le rapport $\text{SiO}_2/\text{Al}_2\text{O}_3$ dans ces solutions très diluées soit égal à 2 : cette manière de procéder équivaut à verser dans un troisième récipient les deux solutions goutte à goutte.

Il se forme immédiatement un précipité blanc floconneux très divisé; on le laisse trois semaines au contact de la solution dont le pH est 4,7 puis l'essore et le séche à l'étuve à 110° C.

Son diagramme de rayons X présente les raies de l'alumine et sa courbe de déshydratation est celle de l'oxyde d'aluminium pur, obtenu par électrolyse.

L'analyse révèle la composition : Al_2O_3 , 1,57 SiO_2 3,30 H_2O ; le rapport silice/alumine inférieur à celui des solutions montre qu'il n'y a peut être pas qu'un simple phénomène physique dans cette flocculation.

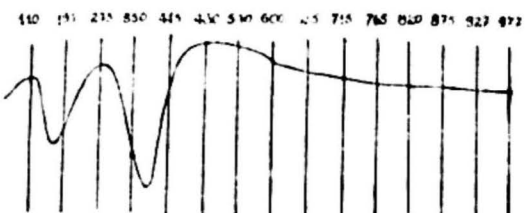


Fig. 4.

En reprenant cette expérience et laissant quatre mois le précipité au contact de la solution, on obtenait des résultats identiques; l'analyse thermique différentielle de ce dernier produit (courbe) donne deux crochets importants, l'un correspondant à la déshydratation du gel de silice, le second à celle de l'hydrargillite. S. CAILLÈRE et S. HÉNIN (8) obtinrent une courbe analogue en étudiant un mélange obtenu par précipitation à chaud en présence de HCl et de NH_4OH d'une solution d'aluminat de sodium et de silicate de potassium, avec l'apparition cependant d'un léger phénomène exothermique vers 650°.

Peut-être en laissant les précipités vieillir beaucoup plus longtemps obtiendrait-on à froid des produits s'apparentant à la kaolinite ?

CONCLUSION.

Nous résumons ici le résultat de ces recherches :

1^o Les argiles micacées dont sont constituées les marnes calcaires bleues supra-gypseuses et blanches d'Entre-deux-masses de Cormeilles-en-Parisis, s'apparentent à la fois à celle du gros banc de glaise verte et à celles des « marnes à Lucines » dolomitiques;

c'est ce que montrent les analyses thermiques différentes, les courbes de thermobalance et les diagrammes de rayons X.

Les caractéristiques de la première sont nettes et permettent de l'identifier avec la bravaisite.

$4\text{SiO}_2 \cdot \text{Al}_2\text{O}_3 \cdot 2(\text{FeO}, \text{MgO}, \text{K}_2\text{O}, \text{Na}_2\text{O}) \cdot 2\text{H}_2\text{O} \cdot 2\text{H}_2\text{O}$.

la déshydratation de cette argile s'effectuant en deux temps et présentant une grande analogie avec celle de l'halloysite.

Les propriétés des seconde sont pas moins bien définies et les classent dans la famille des palygorskites dont elles constituent de purs échantillons.

La plupart des autres marnes étudiées, quelles soient d'origine marine ou lacustre présentent aussi les caractères de ces deux groupes et on peut en ranger la phyllite constitutive dans la vaste catégorie des bravaisites; leur altérabilité aux agents chimiques trahit la structure complexe de ces argiles, parfois considérée comme une structure mixte illite-montmorillonite et même kaolinite illite-montmorillonite et laisse supposer que le pH a dû jouer un rôle prépondérant lors de leur formation.

Ceci confirme les résultats des recherches aux rayons X de M. RIVIÈRE en montrant que ces sédiments argileux doivent être rattachés aux bravaisites et palygorskites mais ne sont pas des mélanges des deux.

La présence de sépiolite dans un échantillon des marnes d'Entre-deux-masses constitue une exception et porte à trois le nombre d'argiles définies constituant le gisement.

2^e Les courbes publiées de déshydratation de kaolinite, halloysite et montmorillonite, bravaisite et attapulgite, montrent que la thermobalance fournit des mesures quantitatives précises et complète ainsi les données de l'analyse thermique différentielle dont elle n'a pas toutefois la sensibilité.

La thermobalance permet également de distinguer la calcite de la dolomie et appliquée à l'étude du gypse

montre très nettement l'existence du semi-hydrate et de l'anhydrite soluble.

Elle constitue également un moyen rapide et sûr de dosage des gypses calcaires.

3^e Grâce à une méthode de fractionnement qui a été mise au point, l'analyse spectrographique permet de déceler bon nombre d'éléments dans les argiles. Parmi ceux qui s'y trouvent le plus fréquemment on peut citer le cuivre, le glucinium, le manganèse, le molybdène, le nickel, le plomb, le vanadium, le zirconium, et le lithium, l'argent, l'arsenic, le baryum, le cobalt, le chrome, l'étain et le strontium y retrouvent fréquemment et plus rarement, l'or, le cadmium, le gallium et le zinc. Ceci explique en partie la présence d'oligo-éléments dans les sols.

4^e Les quantités de ces éléments accessoires sont faibles, de l'ordre de 0,03 % pour MnO; 0,05 % pour ZrO₂; 0,01 à 0,08 % pour V.

La coloration bleue des argiles est souvent due à un peu de pyrite que l'on peut nettement identifier par un crochet exothermique vers 650° C à l'analyse thermique différentielle.

5^e Le produit obtenu par flocculation simultanée à froid de sols très purs de silice et d'alumine, dont nous indiquons les préparations, ne présente aucun caractère de la kaolinite.

6^e Le vanadium contenu dans les montmorillonites sous une forme rapidement soluble dans l'eau serait responsable de la coloration bleue non spécifique qu'elles donnent avec la benzidine: il donnerait une matière colorante fixée immédiatement par l'argile à l'état d'une sorte de laque.

Bibliographie.

- (1) R. SOYER. — *Bull. Soc. géol. Fr.*, 5^e série, t. IX, 1939, n^o 8-9, p. 653.
- (2) L. DUPARC. — *Bull. Soc. franç. Minér.*, t. XLII-152, 1919.
- (3) CHEMIKER. — *Zeitung*, 31, 263, 1907.
- (4) J. ENDELL, D. HOFMANN. — *Z. angew. Chem.*, 54, 376, 1941.
- (5) A. ESMÉ. — *Ann. Chim. anal.*, 28, 31, 1946.
- (6) MM. MATIGNON et FRÉJACQUES. — *C. R.*, 175, 33, 1922.
- (7) S. HÉNIN et J. DUPUIS. — *Ann. agron. Fr.*, 17, 658, sept.-oct. 1947.
- (8) S. CAILLÉRE et J. HÉNIN. — *Application de l'analyse thermique différentielle à l'étude des argiles des sols*. Paris, Dunod, 1947.
- (9) H. LONGCHAMON. — *C. R.*, 203, 672, 1936.
- (10) H. LONGCHAMON. — *C. R.*, 200, 1331, 1935.
- (11) J. M. ORCEL. — *Bull. Soc. franç. Minér.*, 50, 75, 1927.
- (12) G. URBAIN. — *Introduction à l'étude pétrographique et géochimique des roches argileuses*. Paris 1937. Hermann et C^{ie}.
- (13) J. RIVIÈRE. — *Bull. Soc. géol. Fr.*, 16, 43, 1946.
- J. RIVIÈRE. — *Bull. Soc. géol. Fr.*, 16, 463, 1946.
- J. RIZIERE. — *Vitre silice industrielle Belg.*, 13-47, janv. 1948.
- (14) S. HÉNIN. — *C. R.*, 223, 683, 1946.
- (15) MALLARD. — *Bull. Soc. franç. Minér.*, 1, 5, 1878.
- (16) H. LONGCHAMON. — *Les constituants minéralogiques des argiles*. *Les Arts du feu*, n^o 5, 1938.
- (17) J. L. THIEBAUT. — *Contribution à l'étude des sédiments argilo-calcaires du bassin de Paris*, thèse Nancy, 1925.
- (18) M. DREYFUSS. — *Étude sur les sédiments argileux et argilo-calcaires du bassin de Paris. Les marnes du Liass de Franche-Comté*. Besançon, 1935.
- (19) M^{me} G. MARCHAL. — *Bull. Soc. chim.*, 39, 401, 1926.
- (20) R. FAIVRE et G. CHAUDRON. — *C. R.*, 219, 29, 1944.
- (21) M^{me} S. PELTIER et CL. DEVAL. — *Hell. chim. Acta*, vol. I (1947), p. 341.
- (22) L. CHASSEVENT. — *C. R.*, 194, 786, 1932.
- (23) A. BOUILLET. — *C. R.*, 226, 1617, 1948.
- (24) A. E. AUSTIN et L. B. BASSETTE. — *J. Amer. ceram. Soc.*, 26, 185, 1943.
- (25) BOSAZZA. — *Nature Lond.*, 146, 746, 1940.
- (26) A. de GRAMONT. — *Bull. Soc. franç. Minér.*, 21, 94, 1898.
- (27) E. PREUSS. — *Z. angew. Mineral.*, 3-8-20, 20 juill. 1940.
- (28) CL. HÉBERT. — *Contribution à l'étude de la chimie des phosphates de calcium*, thèse, Paris, 1946.

- (29) A. de LAPPARENT. — *Traité de géologie*, 4^e édit., 1900, p. 1479.
 (30) M. ORLIAC. — *C. R.*, 221, 622, 1945.
 (31) D. E. GREEN. — *Analyt. Chem.*, 20, 370, 1948.
 (32) I. P. ALIMARIN. — *J. appl. Chem.*, Moscou (1944), 17, n° 1-2, 83 à 93.
 (33) S. CAILLÈRE et J. HÉNIN. — *C. R.*, 219, 458, 1944.
 (34) Ch. DOSOGNE. — *Bull. Soc. belge Géol. Pal. Hydr.*, 31, 54, 1 et 2, 1945.
 (35) SCHWARTZ et BRENNER. — *Ber.*, t. 56, p. 1433.
 (36) SCHWARZ et WALCKER. — *Z. anorg. Chem.*, 145, 304, 1925.
 (37) C. J. VAN NIEUWENBURG et H. A. J. PIETERS. — *Rec. Trav. chim.*, Pays-Bas, 48, 27, 1929.
 (38) DITTLER. — *Z. anorg. Chem.*, 211, 33, 1933.
 (39) W. NOLL. — *Miner. petrogr. Mitt.*, 45, 175, 1934.
 (40) W. NOLL. — *N. Jb. Min. Geol. Paläont.*, Abt. A-70, 65, 115, 1936.
 (41) S. P. RAYCHAUDHURI et N. B. DATTA. — *J. phys. Chem.*, 49, 21, 1945.
 (42) S. CAILLÈRE et J. HÉNIN. — *Verre silice industr. Belg.*, 13, 63, mars 1948.
 (43) MÜLLER. — *Z. anorg. Chem.*, 57, 312, 1908.
 (44) A. KUTZELNIGG et W. WAGNER. — *Kolloidzsch.*, 64, 209, 1933.
 (45) M. A. MILLER. — *J. phys. Chem.*, 42, 419, 1938.
 (46) P. JOLIBOIS. — *C. R.*, 169, 1095, 1919.

CHRONIQUE DES LIVRES.

Le soutènement permanent.

Le livre du docteur DOHMEN est intitulé : le soutènement des grandes cavités souterraines, ce qui fait songer à des ouvrages tels que les accrochages de puits et les chambres de pompes, garages de locomotives, emplacements de transformateurs, etc. En réalité, l'auteur est amené constamment à parler en outre des galeries au rocher. Le problème traité est donc plutôt celui d'un soutènement à établir d'une façon aussi durable que possible avec, pour certaines installations, la complication des grandes dimensions de l'excavation. Une difficulté pratique supplémentaire se présente dans ce dernier cas. Par le fait même que ce sont des aménagements d'étage, et que l'exploitation d'un étage peut durer des dizaines d'années, il n'en est construit de nouvelles qu'à de longs intervalles, une seule fois, pourrait-on presque dire, dans la vie d'un technicien. Celui-ci ne peut donc disposer pour eux d'une abondante expérience comme il peut le faire pour les galeries.

Le docteur DOHMEN, déjà connu par ses publications sur divers sujets de technique et d'économie minière, a voulu exprimer dans un volume le suc d'innombrables communications fragmentaires dispersées dans les périodiques, en les combinant avec les connaissances qu'il a acquises par lui-même au cours de longues années de pratique minière. Et ce livre, il le destine expressément à être un outil de travail pour le praticien, un guide et un aide-mémoire. L'entreprise est louable, car il n'est pas besoin de beaucoup de rayons pour ranger l'un à côté de l'autre les livres consacrés au métier de la mine proprement dit et, à ce point de vue, le technicien de cette industrie se trouve réellement défavorisé par rapport à ses collègues des autres branches : métallurgiste ou chimiste, par exemple.

Le livre se compose de 3 sections.

La première débute par des indications générales sur les profils des cavités en relations avec les tensions existant dans le massif. Mais la plus grande partie de cette section, c'est-à-dire les deux tiers du volume, est consacré à un examen minutieux des divers matériaux susceptibles d'être employés : bois, acier, maçonnerie de pierres ou d'agglomérés, béton. Les différentes formes et modalités d'application de chacun d'eux sont exposées en détail avec la façon de les employer dans chaque cas. Le béton, par exemple, se voit consacrer les pages 147 à 232. On y passe en revue les constituants, la préparation du béton, ses propriétés et caractéristiques, son

mode d'emploi, armé ou non, monolithique, articulé, comme blocs de forme.

La deuxième section est intitulée : exemples de travaux. Ce sont des descriptions détaillées d'accrochages et de leurs éléments : galeries de manœuvres, voies d'accès et éventuellement chambres de machines, bifurcations de galeries, dépôts de matériel.

Suivent pour terminer 50 pages de renseignements chiffrés destinés à être utilisés pour les calculs de prix de revient. Certains se rapportent aux caractéristiques du matériel et à la quantité de main-d'œuvre nécessaire dans les diverses opérations, et ont un certain caractère de permanence. Les autres présentent une plus grande incertitude, car ce sont des prix, relevés à diverses époques plus ou moins anciennes, mais dont chacun, dans le monde mouvant où nous vivons, ne peut être pris en considération qu'après une sérieuse mise à jour. L'auteur l'a d'ailleurs si bien senti qu'il a laissé, en de nombreux endroits, des espaces blancs pour notes complémentaires manuscrites du lecteur. Néanmoins, cette section conserve son rôle d'aide mémoire et a l'avantage d'attirer l'attention sur nombre de points importants et de donner des indications intéressantes bien que non définitives.

La forme de l'ouvrage est fortement systématisée et cette impression est encore accrue par la mise en œuvre d'une numérotation décimale des chapitres, fractions de chapitre et paragraphes. C'est, en somme, une codification privée formant subdivisions du symbole international 622.286 qui est inscrit en tête du livre. Pour nous qui intéressent surtout dans la CDU les possibilités de compréhension nationale et internationale plus que les finesse de classification proprement dites, nous ressentons une certaine gêne à lire ces nouveaux symboles qui se heurtent dans notre esprit à ceux de la CDU. Par ailleurs, la division est tellement poussée qu'il en résulte une impression d'éparpillement et qu'on a tendance à chercher, avant les 17 pages de la table codifiée des matières, un sommaire à la manière ancienne qui en condenserait les titres.

Mais, après tout, une présentation à ce point systématique et cette articulation dans le détail sont en accord avec le caractère d'aide-mémoire que l'auteur a voulu donner à son œuvre et la personne qui aura pris l'habitude de la consulter ne sera pas en peine pour s'orienter parmi la masse de renseignements qu'il contient.

J. F.